

Alessandra Finardi de Souza

**Caracterização de Metaloproteinases PIII a partir do DNA genômico de
*Bothrops jararaca***

Dissertação apresentada ao
Programa de Pós-Graduação
Interunidades em
Biotecnologia USP/ Instituto
Butantan/ IPT, do Instituto de
Ciências Biomédicas da
Universidade de São Paulo,
para a obtenção do Título de
Mestre em Biotecnologia.

São Paulo
2011

Alessandra Finardi de Souza

**Caracterização de Metaloproteinases
PIII a partir do DNA genômico de
*Bothrops jararaca***

Dissertação apresentada ao
Programa de Pós-Graduação
Interunidades em Biotecnologia
USP/ Instituto Butantan/ IPT, do
Instituto de Ciências Biomédicas
da Universidade de São Paulo,
para a obtenção do Título de
Mestre em Biotecnologia.

Área de Concentração: Biotecnologia

Orientadora: Prof. Dra. Itamar
Romano Garcia Ruiz

São Paulo
2011

DADOS DE CATALOGAÇÃO NA PUBLICAÇÃO (CIP)
Serviço de Biblioteca e Informação Biomédica do
Instituto de Ciências Biomédicas da Universidade de São Paulo

© reprodução total

Souza, Alessandra Finardi.

Caracterização de metaloproteinase PIII a partir do DNA genômico
de *Bothrops jararaca* / Alessandra Finardi Souza. -- São Paulo, 2011.

Orientador: Itamar Romano Garcia Ruiz.

Dissertação (Mestrado) – Universidade de São Paulo. Instituto de
Ciências Biomédicas. Programa de Pós-Graduação Interunidades em
Biotecnologia USP/IPT/Instituto Butantan. Área de concentração:
Biotecnologia. Linha de pesquisa: Biologia molecular.

Versão do título para o inglês: Characterization of Metalloproteinases
PIII from genomic DNA of *Bothrops jararaca*.

Descritores: 1. Veneno 2. Genes de metaloproteinases 3. Exon 4.
Intron 5. *Bothrops jararaca* I. Ruiz, Itamar Romano Garcia II.
Universidade de São Paulo. Instituto de Ciências Biomédicas.
Programa de Pós-Graduação em Biotecnologia USP/IPT/Instituto
Butantan III. Título.

ICB/SBIB085/2011

UNIVERSIDADE DE SÃO PAULO
Programa de Pós-Graduação Interunidades em Biotecnologia
Universidade de São Paulo, Instituto Butantan, Instituto de Pesquisas Tecnológicas

Candidato(a): Alessandra Finardi Souza.

Título da Dissertação: Caracterização de metaloproteinase PIII a partir do DNA genômico de *Bothrops jararaca*.

Orientador(a): Itamar Romano Garcia Ruiz.

A Comissão Julgadora dos trabalhos de Defesa da **Dissertação de Mestrado**,
em sessão pública realizada a/...../.....,

Aprovado(a) Reprovado(a)

Examinador(a): Assinatura:
Nome:
Instituição:

Examinador(a): Assinatura:
Nome:
Instituição:

Presidente: Assinatura:
Nome:
Instituição:

*Dedico este trabalho as minhas três mães: minha
mãe Cecília, minha tia Vera, minha avó Adélia,
que sempre me deram incentivo para continuar
meus estudos. E ao meu namorado Gregorio pelas
horas de paciência durante a elaboração deste
trabalho.*

Agradecimento

A Prof. Dra. Itamar Romano Garcia Ruiz do laboratório de Genética do Instituto Butantan, pela orientação, os ricos ensinamentos passados durante os anos que estive no laboratório.

Aos funcionários da Genética: Dona Maria, Nair, Diva e Zenaide.

Aos companheiros “das antigas”: Losanges, Juliana, Luciana, Anne e Gabriela.

Aos companheiros “das novas”: Daniel, Marcel, e principalmente a Flávia e a Cristiane que deram uma grande força no final deste trabalho.

Ao pessoal do Laboratório de Genética da Dra. Irina Kerkis: Dr. Carlos Maranduba, Babilá, Lislei e Rui por disponibilizar o uso de equipamentos.

Ao pessoal do Laboratório de Biotecnologia: Prof. Dr. Paulo Lee Ho e Leonardo Kobashi, pelos sequenciamentos.

Ao Dr. Durvanei Augusto Maria, do Laboratório de Bioquímica pelo contato com o pessoal da Applied pelos meus últimos seqüenciamentos.

Ao meu atual chefe Dr. Eduardo Finger e minha amiga de trabalho Thaissa pela paciência e compreensão para finalizar minha Dissertação.

E a todos os meus familiares.

A Capes pelo apoio financeiro.

E todas as pessoas que de maneira direta ou indireta contribuíram para o andamento desse trabalho.

Muito Obrigada!!!

O “sábio não é o homem que fornece as respostas verdadeiras; é o que formula as perguntas verdadeiras”.

Lévi-Strauss

Resumo

Souza AF. Caracterização de Metaloproteinases PIII a partir do DNA genômico de *Bothrops jararaca* [Dissertação (Mestrado em Biotecnologia)]. São Paulo: Instituto de Ciências Biomédicas da Universidade de São Paulo; 2011.

O veneno de *Bothrops jararaca* contém uma série de componentes, entre eles as metaloproteinases hemorrágicas jararagina e bothropasina. Os cDNAs dessas toxinas mostram 97% de identidade. As diferenças, distribuídas ao longo de seus cDNAs, sugerem que estes mRNAs não resultam de *splicing* alternativo. O objetivo deste trabalho foi caracterizar os genes codificadores da jararagina e bothropasina pela identificação de exons e introns no DNA genômico. DNA foi extraído do sangue de um exemplar de *B. jararaca*; os primers para PCR foram baseados nos cDNAs publicados. Os produtos de amplificação foram克lonados e seqüenciados revelando a sequência dos genes TOX1 com 12535 pb e TOX2 com 12268 pb. Quatorze exons e treze introns foram identificados em ambos os genes. Comparação entre as sequências mostrou pontos de mutação, inserções e deleções nos exons, e principalmente nos introns dos dois genes. Este constitui o primeiro relato na literatura sobre a identificação de exons e introns nos genes codificadores de jararagina e bothropasina.

Palavras chaves: Veneno. Genes de metaloproteinases. Introns. Exons. *Bothrops jararaca*.

Abstract

Souza AF. Characterization of Metalloproteinases PIII from genomic DNA of *Bothrops jararaca* [Master Thesis (Biochemistry)]. São Paulo: Instituto de Ciências Biomédicas da Universidade de São Paulo; 2011.

The *Bothrops jararaca* venom contains a number of components, including hemorrhagic metalloproteinases as jararhagin and bothropasin. The cDNA of these toxins show 97% identity. The differences distributed along the cDNAs length suggest that these mRNAs do not result from alternative splicing. This study aimed to characterize the genes that encode for jararhagin and bothropasin through the identification of exons and introns in genomic DNA. DNA was extracted from the blood of a *B. jararaca* specimen; PCR primers were based on published cDNA sequences. Amplification products were cloned and sequenced revealing the TOX1 gene is about 12,535 bp long, and TOX2 is 12,268 bp. Fourteen exons and thirteen introns were identified in both genes. Comparison of the sequences showed point mutations, insertions and deletions in exons, and particularly in introns. This is the first report in the literature on the identification of exons and introns in genes encoding for jararhagin and bothropasin.

Keywords: Venom. Metalloproteinases genes. Introns. Exons. *Bothrops jararaca*.

Lista de Ilustrações

Figura 1. Família das zinco-metaloproteinases	16
Figura 2. Estrutura dos multi-domínios das metaloproteinases	19
Figura 3. Representação esquemática do precursor da bothropasina	20
Figura 4. Estrutura da integrina	26
Figura 5. Alinhamento dos aminoácidos da jararagina e bothropasina	29
Figura 6. Estrutura tridimensional da bothropasina	30
Figura 7. Organização genômica de íntrons de serpentes	32
Figura 8. Mecanismo de <i>splicing</i> nuclear	33
Figura 9. Construção de um vetor utilizando íntrons	35
Figura 10. Sequência de clonagem <i>pGEM-T easy Vector</i>	41
Figura 11. Esquema do <i>pGEM-T easy Vector</i>	41
Figura 12. PCR Pbd-Pbr	45
Figura 13. Minipreps Pbd-Pbr	46
Figura 14. Digestão <i>EcoRI</i> Pbd-Pbr	46
Figura 15. Sequenciamento 5' UTR e Peptídeo Senal	49
Figura 16. PCR Pb1rD-Pair	50
Figura 17. Minipreps Pb1rD-Pair	50
Figura 18. PCR das minipreps Pb1rD-Pair	51
Figura 19. Sequenciamento Pb1rD-Pair	53
Figura 20. PCR Paid-Par	53
Figura 21. Minipreps Paid-Par	53
Figura 22. PCR das minipreps Paid-Par	54
Figura 23. Sequenciamento Pair-Par	54
Figura 24. Minipreps P1d-P1r	55
Figura 25. PCR das minipreps P1d-P1r	56
Figura 26. Digestão <i>EcoRI</i> P1d-P1rr	56
Figura 27. Sequenciamento P1d-P1r	58
Figura 28. PCR P1d-P1rr	58
Figura 29. Minipreps P1d-P1rr	58
Figura 30. PCR das minipreps P1d-P1rr	59
Figura 31. Digestão <i>EcoRI</i> P1d-P1rr	59
Figura 32. Sequenciamento P1d-P1rr	60
Figura 33. Sequenciamento P0d-P0rr	61
Figura 34. PCR P0dd-P0rr	63
Figura 35. Minipreps P0dd-P0rr	63
Figura 36. PCR das minipreps P0dd-P0rr	64
Figura 37. Digestão <i>EcoRI</i> P0dd-P0rr	64
Figura 38. Sequenciamento P0dd-P0rr	66
Figura 39. Sequenciamento P0dd-P0r	68
Figura 40. PCR P0dr-P2r	68
Figura 41. Minipreps P0dr-P2r	69
Figura 42. PCR das minipreps P0dr-P2r	69
Figura 43. Digestão <i>Eco RI</i> P0dr-P2r	69
Figura 44. Sequenciamento P0dr-P2r	71
Figura 45. PCR P4d-P4ir	71
Figura 46. Minipreps P4d-P4ir	71
Figura 47. PCR das minipreps P4d-P4ir	72
Figura 48. Sequenciamento P4d-P4ir	72

Figura 49. PCR P11d-P11r.....	73
Figura 50. Minipreps P11d-P11r.....	73
Figura 51. Digestão <i>EcoRI</i> P11d-P11r.....	74
Figura 52. Sequenciamento P11d-P11r.....	77
Figura 53. PCR P9d-P9r.....	77
Figura 54. Minipreps P9d-P9r.....	77
Figura 55. PCR das minipreps P9d-P9r.....	78
Figura 56. Sequenciamento P9d-P9r.....	78
Figura 57. PCR P6d-P6r.....	80
Figura 58. Minipreps P6d-P6r.....	80
Figura 59. PCR das minipreps P6d-P6r.....	80
Figura 60. Digestão <i>EcoRI</i> P6d-P6r.....	81
Figura 61. Sequenciamento P6d-P6r.....	82
Figura 62. PCR P7d-P7r.....	83
Figura 63. Minipreps P7d-P7r.....	83
Figura 64. PCR das minipreps P7d-P7r.....	83
Figura 65. Sequenciamento P7d-P7r.....	84
Figura 66. PCR P12d-P12r.....	85
Figura 67. Minipreps P12d-P12r.....	85
Figura 68. PCR das minipreps P12d-P12r.....	86
Figura 69. Sequenciamento P12d-P12r.....	86
Figura 70. PCR P12d-P10r.....	87
Figura 71. Minipreps P12d-P10r.....	88
Figura 72. Sequenciamento P12d-P10r.....	90
Figura 73. PCR P8id-P8r.....	90
Figura 74. Minipreps P8id-P8r.....	90
Figura 75. PCR das minipreps P8id-P8r.....	91
Figura 76. Sequenciamento P8id-P8r.....	91
Figura 77. PCR P5d-P5r.....	92
Figura 78. Minipreps P5d-P5r.....	92
Figura 79. PCR das minipreps P5d-P5r.....	93
Figura 80. Sequenciamento P5d-P5r.....	94
Figura 81. PCR P3d-P3r.....	95
Figura 82. Minipreps P3d-P3r.....	96
Figura 83. PCR das minipreps P3d-P3r.....	96
Figura 84. Sequenciamento P3d-P3r.....	97
Figura 85. Esquema exons e introns TOX1 (S) e TOX2 (I).....	98

Lista de Quadro

Quadro 1 - <i>Primers</i> para amplificação	39
Quadro 2 - Clones P1d-P1r	55
Quadro 3 - Alterações exon 3	100
Quadro 4 - Alterações exon 4	101
Quadro 5 - Alterações exon 5	102
Quadro 6 - Alterações exon 7	102
Quadro 7 - Alterações exon X	103
Quadro 8 - Alterações exon Y	103
Quadro 9 - Alterações exon Z	104
Quadro 10 - Alterações exon K	104
Quadro 11 - Alterações na região 3' UTR	105
Quadro 12 - Alterações nos introns	107

Sumário

1 INTRODUÇÃO	14
1.1 Composição do veneno	14
1.2 Metaloproteinase de veneno (SVMPs)	15
1.3 A Disintegrin And Metalloproteinases (ADAMs)	20
1.4 Variabilidade do veneno ofídico	21
1.4.1 Evolução das Fosfolipases A2	22
1.4.2 Evolução das Lectinas Tipo-C	23
1.4.3 Evolução das Desintegrinas	23
1.4.4 Evolução das Metaloproteinases	24
1.5 Integrinas e Toxinas	25
1.6 Atividade das metaloproteinases sobre tumores	26
1.7 Jararagina e Bothropasina	28
1.8 Estrutura genômica de genes referentes a outros tipos de toxinas	31
1.9 Introns	33
1.9.1. Origem e função dos introns	34
2 OBJETIVO	36
3 JUSTIFICATIVA	37
4 MATERIAIS E MÉTODOS	38
4.1 Extração de sangue de <i>Bothrops jararaca</i>	38
4.2 Técnica de extração do DNA genômico	38
4.3 Estratégia de amplificação	39
4.4 Eletroforese e eluição	40
4.5 Clonagem molécula	40
4.5.1 Preparação de bactérias competentes	41
4.5.2 Transformação de bactérias competentes	42
4.5.3 Plaqueamento	42
4.5.4 Obtenção de DNA de plasmídeo recombinante (miniprep)	42
4.5.5 Análise do DNA recombinante	43
4.6 PCR dos clones para sequenciamento	43
4.7 Sequenciamento do DNA	43
4.8 Análise das sequências	44
5 RESULTADOS	45
5.1 Região 5' não traduzida (UTR) e Peptídeo Sinal	45
5.2 Pró-domínio	49
5.3 Domínio catalítico	63
5.4 Domínio desintegrina	78
5.5 Domínio rico em cisteína	86
5.6 Região 3' não traduzida	95
6 DISCUSSÃO	99
6.1 Análise dos exons	99
6.1.1 Peptídeo sinal	99
6.1.2 Pró domínio	100
6.1.3 Domínio catalítico	101
6.1.4 Domínio desintegrina	103
6.1.5 Domínio rico em cisteína	103
6.1.6 Região 3' UTR	104
6.2 Análise dos introns	106
7 CONCLUSÃO	108

REFERÊNCIAS	109
APÊNDICE - Reagentes	118
ANEXO A – Alinhamento dos cDNAs da Jararagina e Bothropasina	121
ANEXO B – Alinhamento da TOX1 e TOX2	125
ANEXO C – Alinhamento de aminoácidos de metaloproteinases	143
ANEXO D – Aminoácidos	145
ANEXO E – Sequências no GenBank	146

1 INTRODUÇÃO

1.1 Composição do veneno

O veneno é produzido por um par de glândulas especializadas localizadas no maxilar das serpentes. Seus componentes parecem ser bastante comuns e similares uns aos outros dentro da mesma família. Toxinas neurotóxicas são geralmente encontradas nos venenos de Hydrophidae e Elapidae, causando morte por bloqueio da transmissão neuromuscular. Já as serpentes das outras famílias, Viperidae e Crotalidae, causam choque, coagulação intravascular, hemorragia local e sistêmica, edema e necrose tecidual, devido à ação de toxinas hemorrágicas e mionecróticas (Bjarnason e Fox, 1995; Fox e Serrano, 2005).

Os constituintes inorgânicos dos venenos incluem: cálcio, cobre, ferro, potássio, magnésio, manganês, sódio, fósforo, cobalto e zinco. A presença e quantidades destes metais nos venenos variam de acordo com a espécie. Acredita-se que a função de alguns destes componentes, tais como cálcio, magnésio e manganês, seja contribuir para a estabilização de proteínas do veneno, enquanto outros, como zinco, cobre, ferro e cobalto, participam de mecanismos catalíticos de determinados componentes enzimáticos presentes no veneno, tais como as metaloproteinases (Bjarnason e Fox, 1995).

Os principais componentes encontrados no veneno de *Bothrops jararaca* são: fosfolipases, lectinas, serinoproteases, desintegrinas, peptídeos potenciadores da bradicinina e metaloproteinases (Russel et al., 1981; Tu, 1988).

As fosfolipases A2 (PLA2) são enzimas lipolíticas, que produzem lisofosfatídeos, ácidos graxos livres (principalmente o ácido aracônico) e mediadores pró-inflamatórios como PAF (Fator Ativador de Plaquetas) (Ohno et al; 2003). O veneno de *B. jararaca* apresenta uma baixa atividade fosfolipásica quando comparada ao veneno de outras espécies do gênero *Bothrops* (Moura-da-Silva et al., 1991).

As Lectinas tipo-C são proteínas não-enzimáticas que se ligam a mono e oligossacarídeos, encontradas em diversos animais. São geralmente proteínas de domínios múltiplos que contêm uma ou mais cópias de uma sequência de

aproximadamente 120 aminoácidos, altamente conservada, denominada domínio reconhecedor de carboidrato (CRD). Na presença de Ca^{2+} , as lectinas tipo-C iniciam uma gama de processos biológicos como adesão, endocitose e neutralização de patógenos. As lectinas tipo-C do veneno de serpentes, contêm os CRDs, portanto ligam-se somente a açúcares (Weis et al., 1998).

As serinoproteases presentes no veneno botrópico são caracterizadas principalmente por atuarem sobre o fibrinogênio, e são chamadas de tipo-trombina. Hidrolisam somente a região N-terminal da cadeia A α do fibrinogênio, liberando apenas o fibrinopeptídeo A, diferentemente do que ocorre com a trombina endógena que atua também na cadeia B β do fibrinogênio, liberando o fibrinopeptídeo B (Kamiguti e Sano-Martins, 1995).

Os Peptídeos Potenciadores da Bradicinina (BPPs) são uma classe de inibidores naturais da enzima conversora da angiotensina (ACE), que apresentam efeito anti-hipertensivo. A ACE é uma peptidase presente na membrana citoplasmática de células endoteliais responsável pela conversão de angiotensina I em angiotensina II e pela degradação da bradicinina (Orning et al., 1991).

1.2 Metaloproteinases de venenos (SVMPs)

As SVMPs (*Snake Venom Metalloproteinases*) são membros da superfamília das proteases dependentes de zinco, as chamadas zinco-metaloproteinases, dividida conforme a estrutura primária de seus sítios catalíticos em (Hopper, 1994):

- Zincinas: possuem a sequência HEXXH como motivo de ligação ao zinco.
- Inverzincinas: possuem um motivo invertido da ligação ao zinco, HXXEH.
- Carboxipeptidase: com motivo de ligação ao zinco HXXE.
- DD-carboxipeptidases: com motivo de ligação ao zinco HXH.

As SVMPs pertencem ao subgrupo das reprodilinas, caracterizadas por possuírem um resíduo de ácido aspártico após a terceira histidina ligante de zinco (Fig. 1).

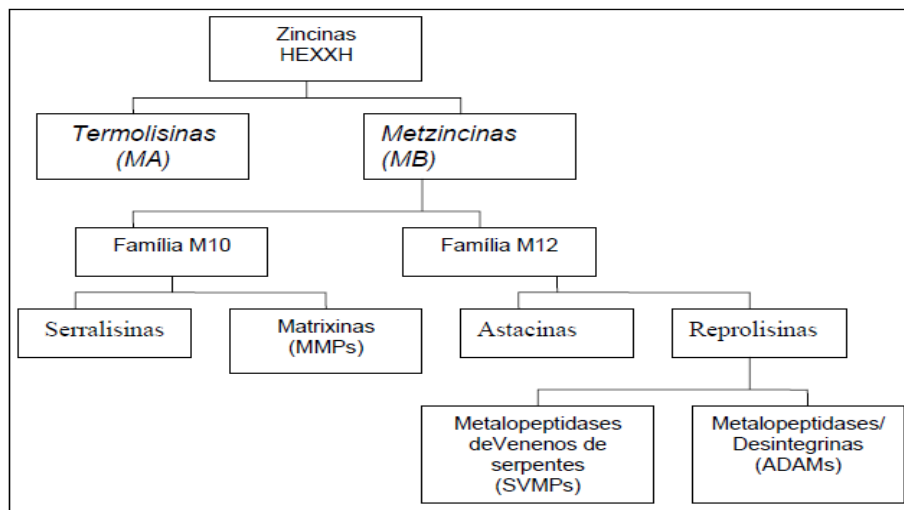


Figura 1. Família das zinco-metaloproteínases

Fonte: Hooper, 1994.

As SVMPs têm sido associadas às atividades hemorrágicas, fibrinolíticas e inibidoras da agregação plaquetária, decorrentes do envenenamento (Bjarnason e Fox, 1995). A hemorragia é causada pela ação das metaloproteínases que degradam o colágeno e outros componentes da lâmina basal dos vasos capilares. Como consequência os capilares são rompidos, promovendo equimose e sangramento. O veneno possui uma ação sobre os fatores de coagulação, alterando o tempo de coagulação. Os venenos do gênero *Bothrops* diminuem o tempo de coagulação, por atuarem sobre os fatores da cascata de coagulação e sobre a trombina (Queiroz e Petto, 1984; Baramova et al., 1990).

O edema local é outra típica manifestação de envenenamento bothrópico, independente da via de inoculação. O edema é acompanhado de dor, que pode variar de discreta a intensa. Isto é causado, provavelmente, pela combinação de elementos tais como: efeito direto do veneno sobre os vasos e liberação de mediadores endógenos como histaminas, cininas e prostaglandinas devido à ação dos componentes dos venenos sobre os mastócitos, cininogênios e fosfolipídios, respectivamente. Em alguns casos, o edema é responsável pela elevação da pressão intersticial hidrostática nos compartimentos musculares. Além da sua ação sobre células musculares e microvasculatura, o veneno bothrópico também afeta artérias, causando trombose e lesão das paredes arteriais. Lesão arterial causa isquemia e futura necrose, também afetando os nervos intramusculares (Barravieira, 1994).

As metaloproteinases fibrinolíticas não hemorrágicas também foram descritas em muitos venenos, como a Proteinase J, que está presente no veneno botrópico, e é um exemplo de metaloproteinase dependente de zinco que não apresenta atividade hemorrágica (Hite et al., 1994; Tanizaki et al., 1989).

A análise comparativa da estrutura primária das metaloproteinases hemorrágicas e não hemorrágicas de venenos de serpentes evidencia um alto grau de similaridade e não fornece nenhum indício para elucidação de características que justifiquem a especificidade por um determinado substrato ou a presença/ausência de atividade hemorrágica (Terada et al., 1999). Em vista disso, os efeitos hemorrágicos podem estar associados não somente com a estrutura protéica da SVMPs, mas podem estar relacionados com algumas modificações pós-traducionais (Bjarnason e Fox, 1995).

As hemorraginas podem ser divididas em dois grupos baseados em seu tamanho: pequenas (~25 KDa) e grandes (~90 KDa). As duas hemorraginas principais do veneno de *B. jararaca* são a jararagina e a bothropasina, descritas por Paine et al. (1992) e Mandelbaum et al. (1982), respectivamente.

Recentemente uma nova classificação das SVMP foi proposta baseando-se nas características dos precursores das metaloproteinases de venenos, bem como nos produtos gerados a partir desses precursores após modificações pós-traducionais durante o processo de síntese (Fox e Serrano, 2008) (Fig. 2).

A biossíntese dos venenos de serpentes ocorre em glândulas especializadas, onde a maioria das proteínas é sintetizada no citoplasma das células secretoras. Estas proteínas vão para o retículo endoplasmático rugoso, onde perdem o peptídeo sinal e assumem sua forma proteíca através da formação de pontes de dissulfeto, glicosilação e multimerização, como a dimerização de desintegrina (P-II^d/P-II^e) e adição de domínios tipo-lectina (P-III^d). No complexo de Golgi estas proteínas são transportadas em vesículas até o lúmen da glândula secretora, onde a acidificação do meio e de um tripeptídeo de pyrol-glutamato, provavelmente inibem a atividade proteolítica destas enzimas no lúmen da glândula mantendo a integridade celular das proteínas do veneno (Fox e Serrano, 2008; Marques-Porto et al., 2008).

Podemos encontrar no veneno proteinases maduras resultantes da biossíntese de precursores da classe P-Ia, formada pelo domínio catalítico contendo a sequência estendida para a ligação do átomo de zinco com massa molecular entre 20 e 25 KDa. Estas proteínases apresentam um número variável de cisteínas na sua

sequência (4 a 7 resíduos), formando de 2 a 3 pontes dissulfeto. Algumas metaloproteinases pertencentes a este grupo são: atrolisina-C e BaP1, e etc (Fox e Serrano, 2008).

A classe P-II possui o peptídeo sinal, pró-domínio, domínio desintegrina na porção carboxil do domínio catalítico. Estes precursores podem gerar proteínas maduras formadas somente pelo domínio catalítico ou somente o domínio tipo-desintegrina (P-IIa), como a Atrolisina-E, e também proteínas que conservam o domínio desintegrina na proteína madura como as metaloproteinases jerdonitina (monomérica classe P-IIIb) e bilitoxina-1 (dimérica classe P-IIc). Estes precursores podem gerar desintegrinas verdadeiras, contendo a sequência RGD (Arg-Gly-Asp), como na Controstatina e a Acostatina, desintegrinas homodímeras e heterodímeras, das classes P-IIId e P-IIle, respectivamente (Fox e Serrano, 2008) (Fig. 2).

As proteinases classe P-III têm massa molecular entre 50 e 110 KDa que apresentam na sua forma madura os domínios: catalítico, tipo-desintegrina e rico em cisteína na região C-terminal (Bjarnason e Fox, 1995). Podem apresentar-se na forma monomérica (P-IIIa) como a jararagina, bothropasina e HF3 e também na forma dimérica (P-IIIc), como VAP1 (Fox e Serrano, 2008).

Ainda podemos encontrar no veneno uma proteína madura composta somente pelos domínios tipo-desintegrina e rico em cisteína, formada pelo processamento proteolítico de precursores da Jararagina da classe P-IIIa, como a Jararagina-C (Moura-da-Silva et al., 2003; Fox e Serrano, 2008).

A antiga classe P-IV, hoje denominada de classe P-IIId, é composta por enzimas que apresentam uma cadeia contendo os domínios encontrados nas proteinases da classe P-III, e mais duas cadeias de lectinas ligadas ao domínio rico em cisteína por pontes de dissulfeto. São representantes destas classes as proteinases: RVV-X (*Russell's viper venom factor X*) e VLFXA (*Vipera lebetina venom factor X activator*), ambas com atividade de ativação do fator X da coagulação (Fox e Serrano, 2008) (Fig. 2).

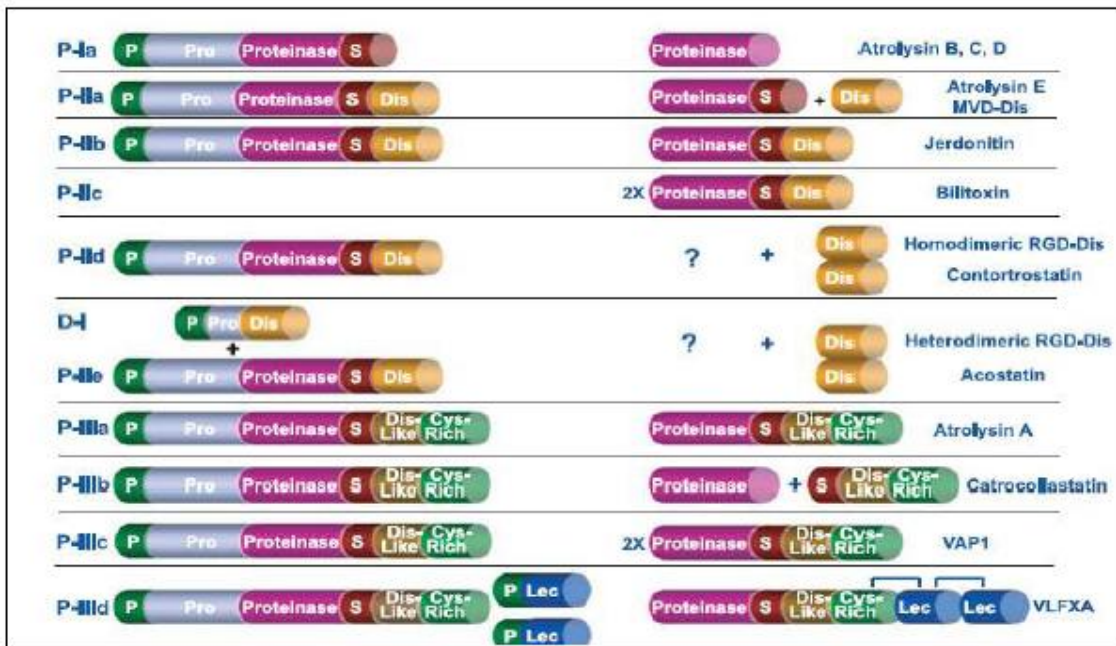


Figura 2. Estrutura dos multi-domínios das metaloproteinases. À esquerda, SVMP na forma inativa, à direita na forma madura. Verde escuro: peptídeo sinal, cinza: pró-domínio, lilás: domínio metaloproteinase, vermelho: espaçador, marrom: tipo-desintegrina, verde claro: rico em cisteína, azul: lectina.

Fonte: Fox e Serrano, 2008.

A estrutura molecular das metaloproteinases classe P-III pode ser composta pelos domínios: peptídeo sinal, pró-domínio (ambos presentes somente no precursor), catalítico (enzimático), desintegrina e rico em cisteína (Kini e Evans, 1992) (Fig. 3).

- Peptídeo sinal: tem como função garantir a correta localização subcelular ou secreção da proteína.
- Pró-domínio: mantém a molécula em estado inativo até ser secretada no lúmen da glândula de veneno. Esta região contém resíduos de aminoácidos altamente conservados, localizado cerca de 20 posições antes do resíduo N-terminal da proteína madura. Estes regulam a atividade enzimática através da interação entre a sulfidrina do resíduo Cys do motivo PKM_nCGVTQ, com o zinco presente no sítio ativo. Esta interação resulta na inativação do domínio catalítico, um mecanismo chamado *cysteine-switch*, dando origem à proteína madura (Botos et al., 1995)
- Domínio catalítico (Metaloprotease): é o domínio de ligação de íons metálicos. No caso da jararagina, o íon Zn²⁺ apresenta a sequência de aminoácidos HExxHxxGxxHD, altamente conservada nessa família de enzimas responsável pela coordenação do metal próximo à região CIMxP da volta da metionina ou *met-turn*,

característica das metazincinas. Neste domínio são encontrados 7 resíduos de cisteínas (Fox e Serrano, 2008).

- Domínio desintegrina: as desintegrinas verdadeiras contêm um *loop* com o motivo RGD (Arg-Gly-Asp), em conformação apropriada mantida por pontes dissulfetos. Na jararagina e bothropasina, o motivo RGD é substituído por ECD (Glu-Cys-Asp); *ApIVMP-II* de *Agkistrodon* o motivo é KGD (Lys-Gly-Asp). Devido a esta mudança são chamadas de “tipo desintegrina”. Neste domínio são encontradas 15 cisteínas (Jia e Perez, 2010; Fox e Serrano, 2008).
- Domínio rico em cisteína: possui uma grande quantidade de resíduos de cisteínas, que estão interligados por pontes dissulfeto. Este domínio é observado em toxinas hemorrágicas e não hemorrágicas e sua função parece estar relacionada ao direcionamento dessas proteínas aos seus alvos celulares e plasmáticos (Serrano et al., 2007; Jia et al., 2000).

A atividade enzimática da jararagina e bothropasina é dependente da manutenção de suas pontes dissulfetos e da presença do átomo de zinco no seu centro ativo (Assakura, 2000).

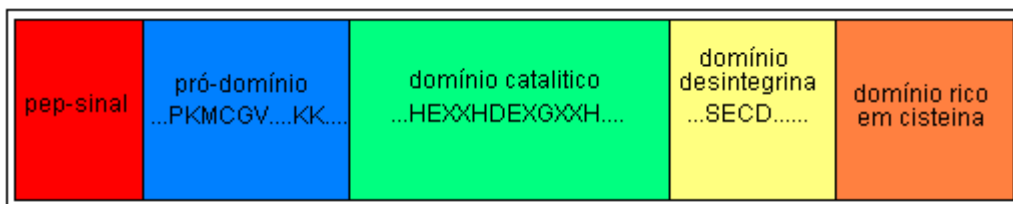


Figura 3. Representação esquemática do precursor da bothropasina.
Fonte: Assakura, 2000.

1.3 A Disintegrin And Metalloproteases (ADAMs)

As desintegrinas apresentam homologia com proteínas expressas em vários tecidos de mamíferos, denominadas ADAMs, para designar a presença, em sua estrutura, dos domínios desintegrinas e metaloproteinases. As ADAMs são uma família de proteínas de superfície celular as quais combinam características de moléculas de adesão e de proteases (Wolfsberg et al., 1995). As ADAMs são, portanto, proteínas homólogas às SVMPs da classe P-III encontradas em mamíferos e outros animais e estão relacionadas a diversos processos fisiológicos como fertilização e diferenciação celular. A diferença mais importante entre as ADAMs e as SVMPs reside no fato de que as primeiras são proteínas transmembrana, enquanto que as últimas são secretadas, apesar de formas solúveis das ADAMs já terem sido

descritas. Outra diferença importante entre as ADAMs e SVMPs é que estas últimas são proteases ativas, enquanto que cerca da metade das ADAMs possui alterações nas suas sequências relacionadas ao zinco, o que resulta na ausência de atividade proteolítica. As ADAMs 1, 8, 9 e 10 contêm resíduos do sítio de Zn para encaixe entre os subdomínios (Kamiguti et al., 1998; Stone et al., 1999).

A estrutura básica das ADAMs está filogeneticamente bem conservada e as mudanças estruturais são produtos da adaptação necessária à sua respectiva função (Yamamoto et al., 1999). Assim, por exemplo, as ADAMs designadas de 1 a 7 se expressam de maneira principal nos órgãos reprodutores, e seu papel durante a espermatogênese é a fusão esperma-óvulo (Blobel, 2005). Cada ADAM é expressa em distintas etapas da espermatogênese. A ADAM 9, ou MDC9 (*Metalloprotease-like, Disintegrin-like and Cysteine rich*) tem sido encontrada em vários órgãos, entre os quais, pulmão e as glândulas mamárias. A ADAM 11 é encontrada em células de órgãos reprodutores e não reprodutores, enquanto as ADAMs 12 e 19, também conhecidas como Meltrinas α e β respectivamente, estão localizadas na musculatura embrionária (estágio neonatal) e tecido ósseo de embriões e adultos. A ADAM 17, chamada de TACE (*Tumor necrosis factor Alfa Converting Enzyme*), e ADAM 10, conhecida por MADAM (*bovine Mammalian A Desintegrin And Metalloprotease*), que cumprem funções importantes no processamento da forma acoplada à superfície celular do precursor do fator de necrose tumoral α (TNF-α), na liberação da forma madura da citocina (Yamamoto et al., 1999).

1.4 Variabilidade dos venenos ofídicos

A maior parte dos venenos, porém, é composta por proteínas e peptídeos com uma variada atividade biológica, compreendendo cerca de 90 a 95 % de peso seco do veneno, é responsável pela totalidade dos efeitos biológicos gerados (Markland, 1998). O fato de existirem transcritos variados é esperado, já que numerosos estudos propõem a ocorrência de processos acelerados de evolução em venenos de muitas espécies de Viperidae (Fry et al., 2003).

A diversidade de proteínas relacionadas é, em geral, resultado de genes parálogos que se duplicam e passam por um processo acelerado de evolução. Genes paralógos são presentes em um mesmo organismo, geralmente famílias multigênicas, que evoluíram para novas funções dentro de um mesmo genoma,

antes ou depois da especiação. Os genomas contêm porções significativas (20 – 80 %) de genes que pertencem à família de paralógos. Genes ortólogos estão presentes em diferentes organismos que se originam de um ancestral comum antes da especiação; eles retêm a mesma função ancestral, tornando a transferência funcional possível (Koonin, 2005; Deshimaru et al., 1996). Isto é comparável com o modelo de nascimento e morte de multigenes dentro das famílias protéicas, que inclui três tipos de eventos: duplicação de genes ou domínios (nascimento), eliminação de genes ou domínios (morte) e inovação, ou seja, novos genes que surgem de sequências não codificantes. Surpreendentemente muitos elementos de transposição, do tipo *retrotransponson*, foram encontrados nas sequências que codificam as toxinas, que estariam contribuindo para um grande número de eventos de nascimentos por duplicação gerando novas atividades tóxicas e diversificação estrutural dentro das famílias de proteínas (Fry e Wuster, 2004; Kordis e Gubensek, 1997).

O aparecimento no mesmo veneno de uma diversidade de proteínas pertencentes à mesma família, porém diferindoumas das outras em seus efeitos farmacológicos, provavelmente resultou da duplicação de um gene ancestral seguida de mutações que levaram ao acúmulo de substituições nucleotídicas não-sinônimas nos exons conferindo novas funções que foram selecionadas durante a evolução. Esta hipótese sugere um papel importante da seleção no que diz respeito à manutenção de alta variação funcional das proteínas de venenos dentro das populações (Richman, 2000). Entretanto, apesar de compartilhar efeitos gerais dentro de uma mesma família de serpentes, os venenos apresentam diferenças de composição dependendo de cada espécie. Datry et al. (1996) demonstraram que os componentes de veneno apresentam uma variação geográfica considerável mesmo dentro de cada espécie de serpente, associada à sua dieta.

1.4.1 Evolução das fosfolipases A2

As isoformas das fosfolipases A2 (PLA2) constituem a maioria dos componentes tóxicos encontrados nos venenos *Trimemeresurus flavoviridis* (Ohno et al., 2003).

O veneno de *Trimemeresurus flavoviridis* contém isoenzimas (PLA2) com uma variedade de atividades fisiológicas. Comparando o cDNA e os genes, verificou-se

que os exons são muito mais diversificados do que os introns, e que o número de substituições não-sinônimas é maior que as sinônimas. Estas características indicam que as isoenzimas PLA2 da glândula de veneno da *T. flavoviridis* evoluíram através de uma evolução acelerada, resultando na diversidade de funções (Fukagawa et al., 1993; Deshimaru et al., 1996).

1.4.2 Evolução de Lectinas tipo-C

A grande variedade de lectinas tipo-C encontrada nos venenos de serpentes pode ser agrupada em três grupos principais, lectinas tipo C, cadeia A, e cadeia B, de proteínas similares a lectina tipo-C, com base na sequência de nucleotídeos dos exons (Ogawa, 2005)

Dados de substituições de nucleotídeos em ítrons comparados aos exons de lectinas revelaram uma maior substituição nos exons que nos introns. Assim, pode-se considerar que esses genes também evoluíram de maneira acelerada, e as serpentes adquiriram em seus venenos uma diversidade de proteínas com atividades biológicas diversas para garantir sua sobrevivência em meio a presas de diversas espécies e características biológicas (Tani et al., 2002).

1.4.3 Evolução das desintegринas

As desintegrininas fazem parte de uma família de pequenos polipeptídeos (40-100 aminoácidos) ricos em cisteína, descritas inicialmente como potentes inibidoras do receptor plaquetário de fibrinogênio, integrina $\alpha_{IIb}\beta_3$ (Barczyk et al., 2010). Segundo o comprimento e o número de pontes dissulfeto do polipeptídico dividem-se em quatro grupos: curtas, médias, longas e diméricas (Calvete et al., 2007).

As desintegrininas de classe PII são inibidores de integrinas que evoluíram pela neofuncionalização dos domínios desintegrina de genes PIII-SVMP duplicados. As PIII-SVMPs são amplamente distribuídas nas cinco famílias das Colubroidae, Viperidae, Elapidae, Atractaspididae e Colubridae, enquanto que as desintegrininas da classe PII são encontradas apenas nos venenos das serpentes da família Viperidae. Este fato sugere que as desintegrininas emergiram após a separação das famílias Viperidae e Elapidae, porém, antes da separação das subfamílias das Viperidae

(Viperinae e Crotalinae), a cerca de 10 a 20 milhões de anos atrás (Junqueira-de-Azevedo et al., 2006; Cidade et al., 2006).

A minimização de genes pela perda de introns e regiões codificantes, e da estrutura de proteínas pela perda de pontes de dissulfeto sustentam a hipótese da divergência das desintegrinas. Esses autores utilizaram abordagens como Inferência Filogenética e Máxima Probabilidade baseadas na substituição de códons para analisar a evolução da família das desintegrinas. Vários resíduos estão localizados dentro do *loop* de ligação na integrina, e na cauda C-terminal há duas regiões que formam o epítopo de conformação funcional. Um motivo ancestral de reconhecimento de integrinas RDECD poderia ter dado origem, por exemplo, aos módulos RGD e ECD (Juárez et al., 2008).

Ainda no mesmo trabalho, Juárez et al., (2008) compararam a taxa de substituições sinônimas e não sinônimas em genes duplicados. O excesso de substituições não sinônimas sobre as sinônimas indica uma adaptação evolutiva que cria uma grande diversidade de proteínas.

1.4.4 Evolução das metaloproteinases

A evolução molecular das SVMPs foi inicialmente considerada quando as primeiras sequências de cDNAs estavam disponíveis no início da década de 90. As sequências de cDNAs mostraram claramente a relação entre as SVMPs e as ADAMs e que deu origem ao grupo das Reprolisinas para descrever este grupo de proteínas. O aumento do número de sequências, originadas de bibliotecas de cDNAs depositadas em bancos de dados, foi revelando que os venenos de serpente são misturas complexas, contendo vários tipos de SVMP codificadas pelas classes P-I, P-II e P-III de precursores relacionados com as ADAMs; estes geram proteomas complexos no veneno, resultado do processamento e oligomerização de cadeias polipeptídicas. Precursores de sequências SVMPs também foram comparados com as matrizes de metaloproteinases de mamíferos (MMP), gerando uma árvore filogenética que sugere a existência de um ancestral comum entre as SVMPs e MMPs de mamíferos (Fox e Serrano, 2009). A árvore evolutiva das metaloproteinases/desintegrinas ricas em cisteína (MDCs), MMPs de mamíferos e venenos de serpentes, pelo alinhamento das sequências completas de proteínas precursoras, origina diversos grupos. No caso das serpentes, foi gerado um grupo

que representa as desintegrinas com o *motif* RGD, as toxinas hemorrágicas de cadeia longa, como a jararagina e bothropasina, e as hemorraginas de baixo peso molecular, como, Atrolisina E, B e C. A análise sugere que essas proteínas são formadas por “módulos” relativamente conservados. Este estudo também sugere que as metaloproteinases de veneno derivam de um gene ancestral comum após a divergência entre Répteis e Mamíferos (Moura-da-Silva et al., 1996).

De acordo com Calvete et al. (2005) a distribuição monofilética proteínas de mamíferos e proteínas de veneno de serpentes indica que as SVMPs evoluíram relativamente tarde durante a evolução de um gene ancestral comum por especiação (duplicação de genes, seguida por divergência de cópias através da seleção Darwiniana Positiva).

1.5 Integrinas e toxinas

As integrinas estão relacionadas com a integridade das células e tecidos. Constituem uma família de glicoproteínas de superfície. Como consequência da união do ligante às integrinas formam-se complexos de adesão focal no citoplasma, sob a membrana. Funcionam como uma conexão entre a MEC e o cistoesqueleto, constituindo-se em regiões transdutoras de sinais que regulam a migração e a proliferação. As funções das integrinas como mediadoras de adesão e fusão celular (célula-célula e célula-matriz), pela ativação e inibição de sinais, se resumem em dois tipos de sistemas: (1) sinalização *inside-out*, originado no interior da própria célula, (2) sinalização *outside in*, proveniente do meio externo para a célula, modulando assim sua função (Coppolino e Dedhar, 2000).

Os receptores integrina são heterodímeros formados pelas subunidades α e β localizadas na membrana (Fig. 4).

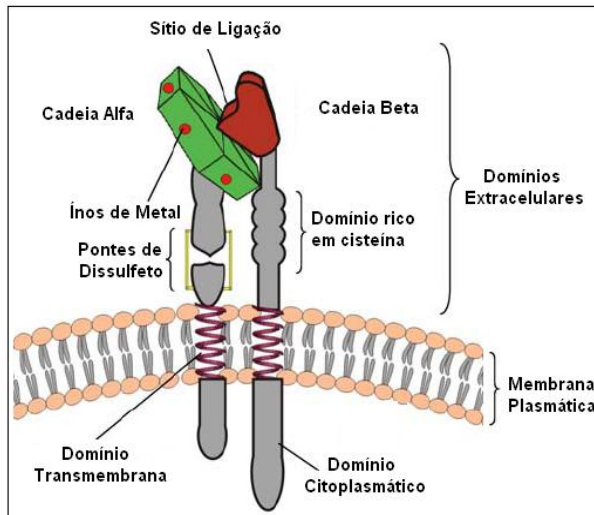


Figura 4. Estrutura da integrina.

Fonte: Kuphal et al., 2005.

As desintegrinas podem interromper uma ligação reversível célula-matriz extracelular, mediada por integrinas. Inibem a agregação plaquetária por se ligarem especificamente ao receptor de fibrinogênio, e são capazes de inibir a adesão de células tumorais à matriz extracelular por competição específica pelos receptores de integrinas (Trikha et al., 1994; Chiang et al., 1994; Sheu et al., 1997).

O domínio desintegrina do veneno de serpente liga-se nas integrinas, podendo promover transdução de sinal, induzir reorganização do cistoesqueleto e alterações do complexo de adesão focal. Estes eventos podem causar diminuição da habilidade de migração, invasão e formação de metástase e angiogênese (Marcinkiewicz et al., 2003).

1.6 Atividade das metaloproteinases sobre tumores

Existem vários estudos que demonstram a ação das desintegrinas sobre os tumores, através da ligação do domínio desintegrina com as integrinas. Com isso, as células tumorais não podem migrar através das proteínas da Matriz Extracelular nem constituir novos focos distantes (metástases). A adesão mediada por integrinas é crucial para a disseminação metastática. Este processo segue as seguintes etapas: 1) disseminação das células tumorais a partir do tumor primário; 2) interação destas células às integrinas das plaquetas; 3) adesão das células tumorais ao endotélio vascular e/ou membrana basal sub-endotelial; 4) proliferação e supressão da apoptose; 5) angiogênese (Akiyama et al., 1995).

A salmosina (*Agkistrodon halys brevicaudus*), uma desintegrina-RGD, reduziu *in vitro* a proliferação de células B16F10 com o colágeno de forma dose dependente; *in vivo* inibiu a colonização de tumores no pulmão (Kang et al., 2000). A desintegrina eristostatina que contém a sequência RGD é capaz de inibir em 87 % a formação de metástases pulmonares em camundongo (Danen et al., 1998). A desintegrina-RGD rhodostomina (*Calloselasma rhodostoma*), que se liga à integrina $\alpha_2\beta_1$ em células endoteliais, inibiu de maneira dose-dependente a resposta angiogênica induzida por bFGF (*basic fibroblast growth factor*), um dos principais fatores de indução de angiogênese, incluindo proliferação, migração, invasão e diferenciação em HUVECs (*human umbilical vein endothelial cells*) *in vivo* e *in vitro* (Yeh et al., 2002).

A catrocollastatina-C, halysetina-C e jararagina-C inibem a agregação plaquetária induzida por colágeno, sendo que a jararagina-C também inibe a agregação induzida por ADP e, ainda, a adesão de células transfectadas com a integrina $\alpha_2\beta_1$, e das células ECV-304 e HUVEC ao colágeno tipo I (Moura-da-Silva et al., 2001). Alternagina-C (*Bothrops alternatus*) inibe a adesão mediada pelo colágeno tipo I em células transfectadas (K562- $\alpha_2\beta_1$), de forma dose dependente (Souza et al., 2000), e também de fibroblastos humanos, e de células tumorais das linhagens ECV-304, HeLa e MDA-MB-231 a este mesmo ligante (Cominetti et al., 2004).

Corrêa Jr. et al. (2002), em nosso grupo no Laboratório de Genética, no Instituto Butantan, verificaram o efeito da jararagina na forma nativa e na forma com o domínio catalítico inativado por orto-fenantrolina (remoção do átomo de zinco), em linhagens de células de melanoma humano. Foram observadas alterações *in vitro* na morfologia, adesão, migração e invasão das células pré-tratadas, bem como a diminuição significativa do número de metástases no pulmão dos camundongos, injetados com células malignas pré-tratadas com a toxina. Maria et al. (2003) observaram que a injeção semanal em camundongos com doses sub-letais de jararagina (12 ng) provoca significativa leucopenia, aumento do número de mastócitos e eritrócitos na fase inicial, mas não causa hemorragia nem inflamação.

Camundongos inoculados com as linhagens de carcinoma de cólon SW613-B3 (não tumorigênica) e SW613-12A1 (tumorigênica) tratadas com bothropasina apresentaram lesões cutâneas com alopecia e deposição de pigmentos escurecidos. A bothropasina nativa também se mostrou eficaz na inibição da adesão celular nessas linhagens SW613-B3 e SW613-12A1 (Ribeiro, 2003).

1.7 Jararagina e Bothropasina

A análise do transcriptoma da *Bothrops jararaca* identificou que das toxinas encontradas no veneno 52,6 % correspondem às metaloproteinases, 28,5 % às serino proteases, 8,3 % às lectinas tipo-C e aos peptídeos potenciadores de bradicininas 6,2 % (Cidade et al., 2006).

Conforme já mencionado, a jararagina e a bothropasina são SVMPs da classe P-IIIa isoladas do veneno de *Bothrops jararaca*, subfamília Reprolisina, com atividade catalítica hidrolase do tipo endopeptidase, dependentes de zinco (Bjarnason e Fox, 1995). Possuem ação hemorrágica e capacidade de inibir a agregação plaquetária, ao bloquear a ligação do colágeno à integrina $\alpha 2\beta 1$ presente na membrana de plaquetas. A jararagina se liga ao domínio I da cadeia $\alpha 2$ e/ou cliva a cadeia $\beta 1$ desta integrina. A jararagina interfere na função plaquetária de duas maneiras distintas: (1) por degradação dos diferentes receptores plaquetários e proteínas adesivas na hemostasia; e (2) interferência não enzimática (mediada pelo domínio desintegrina) com função de receptores da adesão plaquetária (Muniz et al., 2008).

A jararagina foi isolada por Paine et al. (1992) e caracterizada como uma metaloproteinase/desintegrina de alto peso molecular, 52 KDa, com 421 aminoácidos na proteína madura. Esta análise foi feita a partir de pool de cDNAs de glândulas de veneno, de aproximadamente 100 serpentes.

A bothropasina é uma metaloprotease hemorrágica de 48 kDa, isolada pela primeira vez em 1982 (Mandelbaum et al., 1982). Assim como a jararagina, a bothropasina também é constituída por 421 resíduos de aminoácidos e apresenta atividade hemorrágica. Assakura et al. (2003), analisaram a sequência de aminoácidos a partir de pool do tecido glandular de 5 espécimes de *Bothrops jararaca*.

A jararagina e a bothropasina apresentam alto grau de identidade de sequência em relação aos seus cDNAs, sendo 95,2% na região pró-domínio, 91,2% no domínio catalítico, 98,9% no domínio desintegrina e 100% na região rica em cisteína (ANEXO A). As diferenças de sequência entre a bothropasina e a jararagina estão distribuídas ao longo de seus cDNAs. Alguns autores levantaram a hipótese de que as diferenças entre os seus cDNAs, assim como os que codificam outras

metaloproteinases semelhantes, são decorrentes de um processo evolutivo acelerado (Assakura, 2000).

Assakura et al. (2003) tentaram a expressão da pró-bothropasina recombinante no vetor *pPIC9* em sistema eucariótico utilizando levedura *P. pastoris*. O precursor da bothropasina recombinante compreende os domínios: pró, catalítico, tipo desintegrina e rico em cisteína. Não houve a expressão da proteína recombinante, o que foi atribuído à ação da enzima proteolítica da própria *P. pastoris*. Em seguida tentou-se a expressão da pró-bothropasina recombinante em *E. coli*, e o vetor escolhido foi *pGEX-4T*. O *Western Blot* indicou ausência da expressão. Foi testada a expressão de domínios isolados da bothropasina. Somente com o Pró-domínio foram obtidos 5 mg/L em cultura do. Apenas o domínio catalítico teve uma acentuada queda no nível de expressão de 25-20 µg/L. Não foi experimentada a expressão dos domínios tipo-desintegrina e rico em cisteína.

Moura-da-Silva et al. (1999) expressaram em *E. coli* o domínio tipo desintegrina e rico em cisteína da jararagina mostrando que a proteína recombinante inibe a agregação plaquetária induzida por colágeno de forma dose dependente.

A análise da sequência de aminoácidos mostrou 19 resíduos não idênticos entre as toxinas jararagina e bothropasina (Fig. 5), o que para alguns autores seria evidência de serem isoformas, codificadas por um mesmo gene. Além disso, apenas os cDNAs foram descritos, não havendo até a realização deste trabalho, nenhum conhecimento sobre o DNA genômico, com a caracterização dos exons e introns.

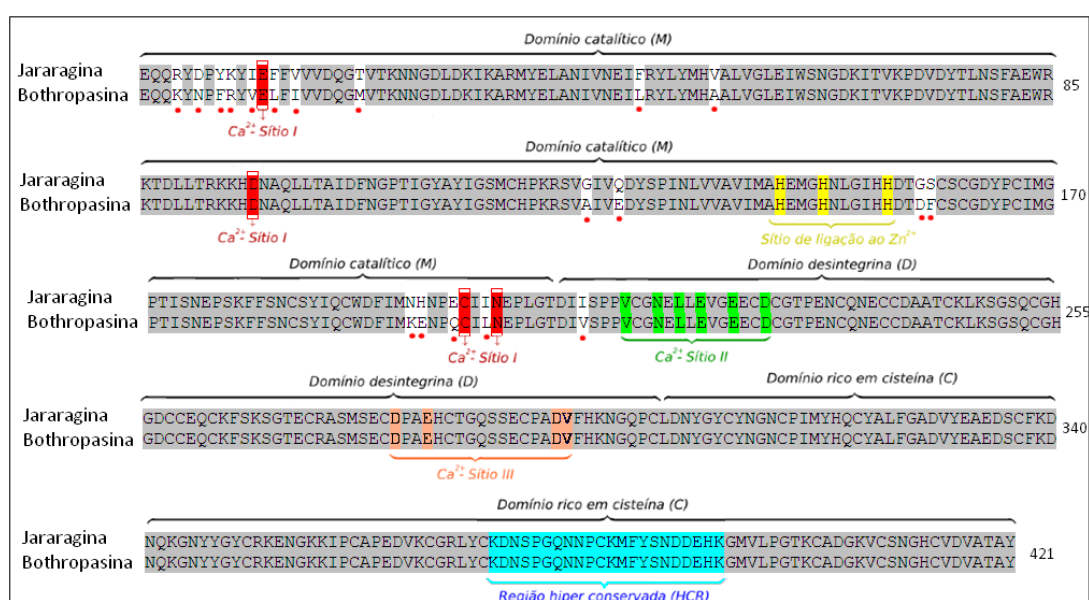


Figura 5. Alinhamento dos aminoácidos da jararagina e bothropasina. São encontrados 19 resíduos não idênticos.

Fonte: Muniz, 2007.

A análise da estrutura tridimensional do domínio catalítico da bothropasina mostra um esqueleto de dois subdomínios organizados de forma semelhante a outras SVMP, incluindo os sítios de ligação de cálcio e zinco (Fig. 6). O domínio metaloproteinase é formado 6 folhas β , 5 fitas paralelas (S1, 2, 3, 4 e 6) e uma anti-paralela (S5), e 5 hélices α (H1, 2, 3, 4 e 5). O domínio desintegrina é composto principalmente pelo *loop* estabilizado por 7 pontes dissulfeto e dois íons de cálcio. A região ECD está no *loop*, estruturalmente relacionada com a região RGD das desintegrinas, derivada das SVMP PII. O motivo ECD é estabilizado por pontes de dissulfeto Cys²⁷⁷-Cys³¹⁰ (entre os domínios desintegrina e rico em cisteína) e por um íon de cálcio. As diferenças entre os domínios desintegrina, e tipo-desintegrina, podem estar envolvidas na seleção de ligação ao alvo, o que pode gerar diversidade de substratos ou especificidade para o domínio catalítico (Muniz et al., 2008).

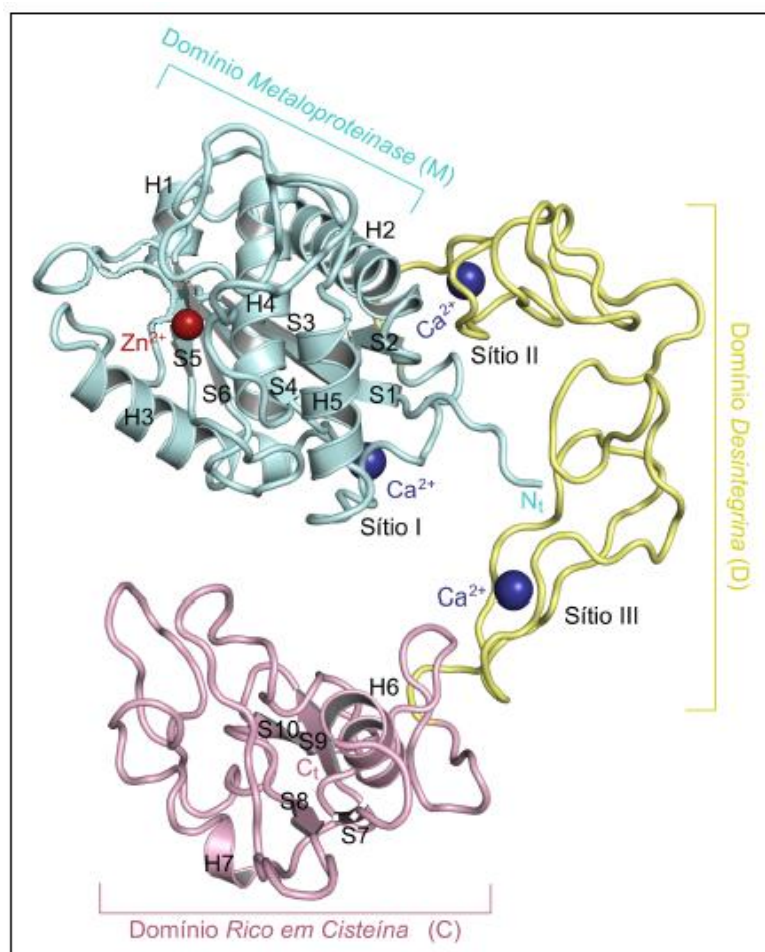


Figura 6 Estrutura tridimensional da bothropasina. Domínio Metaloproteinase apresenta 6 folhas β e 5 hélices α e o domínio rico em cisteína 4 folhas β e 2 hélices α .
Fonte: Muniz et al., 2008.

1.8 Estrutura genômica de genes referentes a outros tipos de toxinas

Muitas toxinas hemorrágicas e neurotóxicas de várias espécies de serpentes já foram isoladas e parcialmente caracterizadas através do sequenciamento de nucleotídeos dos cDNAs que as codificam, ou totalmente caracterizadas a partir do DNA genômico.

A crotamina é um polipeptídio pequeno, encontrado no veneno da *Crotalus durissus terrificus*. O gene que codifica essa toxina tem 1.8 Kb, constituído por 3 exons (50 pb, 124 pb e 13 pb) e 2 introns (898 pb e 145 pb). A identificação dos exons e introns foi feita com base no cDNA que possui ~340 nucleotídeos incluindo a sequência do peptídeo sinal (Rádis-Baptista et al., 2003).

As neurotoxinas BM10-1 e BM10-1-*like*, isoladas do veneno da *Bungarus multicinctus*, foram caracterizadas a partir do produto de PCR de DNA genômico. A análise completa mostrou que ambas têm a mesma estrutura: 3 exons separados por 2 introns. O 1º intron tem 1233/1178 pb e o segundo 547/539 pb, em BM10-1 e BM10-1-*like*, com 98,8% e 95% de identidade de sequência, respectivamente. Quanto aos exons, o 1º (84 pb) e o 2º (114 pb) de ambas as neurotoxinas são essencialmente idênticos, mas a sequência do 3º exon apresenta vários pontos de mutação e tamanhos diferentes: o exon da BM10-1 apresenta 93 pb enquanto que a BM10-1L tem 84 pb (Chang et al., 2003).

Fujimi et al. (2003) estudaram onze genes codificadores de toxinas em várias espécies de serpentes (gêneros *Laticauda*, *Bungarus* e *Naja*). Mostraram que o 1º intron era dividido em sub-regiões ou módulos, comuns aos diferentes genes em diferentes combinações. Sugeriu a existência de um ítron hipoteticamente presente em um ancestral comum. A estrutura *three-finger* dessas neurotoxinas diverge de um ancestral comum através de dois tipos de precursor (longas e curtas). Em uma etapa posterior da evolução cada gene teria sofrido um acúmulo de mutações nos exons, especialmente no exon 2 que pode ter causado aumento na diversidade e funções (Fig. 7).

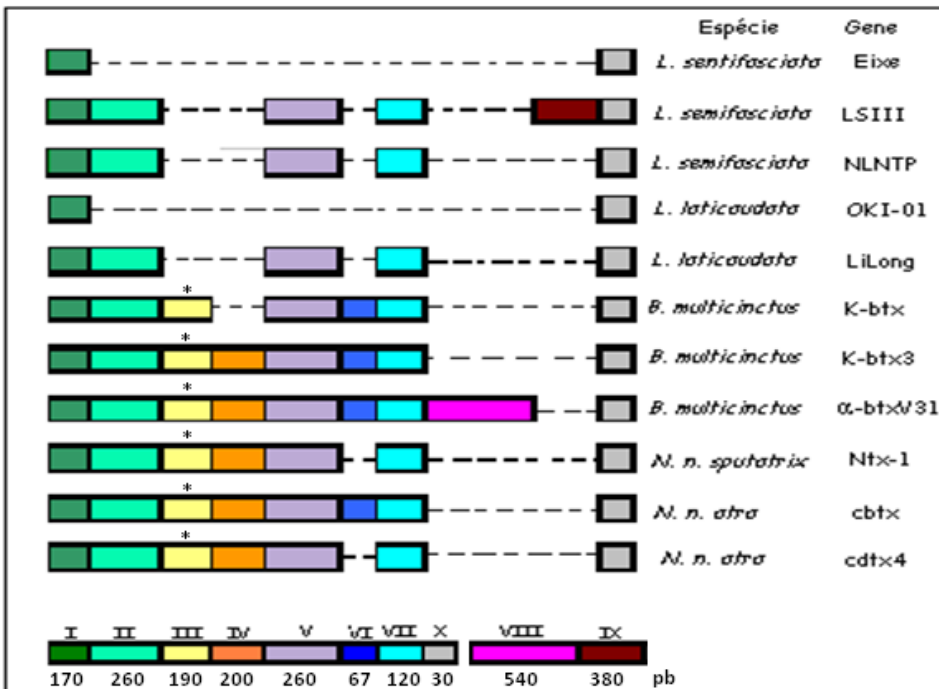


Figura 7. Organização genômica do 1º intron de diferentes genes codificadores de toxina de cinco espécies de serpentes de gênero *Laticauda*, três do gênero *Bungarus* e três do gênero *Naja*. A análise desses introns revelou a possibilidade da existência de 10 sub-regiões (I a X); 8 sub-regiões estariam num intron ancestral comum, as demais (VIII e IX) teriam sido adicionadas em duas espécies. As espécies de serpentes citadas possuem números variados dessas sub-regiões. As regiões I e X são as únicas conservadas em todas as espécies citadas. Os asteriscos indicam regiões que contêm sequências que codificam snoRNA.

Fonte: Fujimi et al., 2003.

Proteínas *three-finger* são estruturalmente relacionadas e exibem várias funções. A análise filogenética da toxina-1 da truta arco-íris (*Oncorhynchus mykiss*) é classificada como neurotoxina de cadeia de curta (60-65 resíduos), contém 3 exons e 2 introns, como outros membros da família *three-finger*. Este é o primeiro relato de um gene tipo-toxina descrito em teleósteos (Georgaka et al., 2007).

Serpentes elapides australianas, como a *Tropidechis carinatus*, têm dois genes parecidos, mas que desempenham papéis diferentes. A trocarin-D existe no veneno e atua como toxina, enquanto o fator de coagulação FX existe no plasma e desempenha um papel na homeostasia. Os genes que codificam essas proteínas, expressos de forma altamente específica, têm oito exons idênticos. Os introns têm 92-99 % de identidade de seqüência. O primeiro intron do gene trocarin-D é quase idêntico ao do gene FX, com exceção de duas deleções (nas posições 255 e 1406) e três inserções (nas posições 214, 1975 e 2174). Quanto ao promotor gênico, observa-se que no caso do FX humano, FX murino, e FX de *Tropidechis*, existem vários elementos comuns, principalmente considerando FX humano e de

Tropidechis. Esses elementos também aparecem no promotor do gene trocarin-D que, além disso, apresenta uma inserção de 264 bp. Esta inserção poderia ser responsável pela especificidade de expressão do gene trocarin-D na glândula de veneno (Reza et al., 2007).

1.9 Introns

Genes eucarióticos apresentam-se divididos em exons e introns. Aproximadamente 97 % do genoma humano compreendem DNA que não codifica proteínas conhecidas até agora, incluindo os introns. Após a transcrição do gene em pré-mRNA ocorre o processo de remoção dos introns e emenda dos exons em uma molécula única de RNA maduro. O processo, denominado *splicing* dá-se graças ao *spliceossomo*, formado de pequenos RNAs nucleares (snRNAs) e proteínas, encontrado no núcleo das células eucarióticas. Os introns são removidos dos pré-mRNAs através de duas quebras e duas reparações fosfodiéster entre nucleotídeos dos exons e do intron, ou seja, duas transesterificações (Fig. 8). O intron em forma de laço é removido (Lewin, 2000). A molécula resultante é composta somente por exons incluindo regiões não traduzidas em 5' e 3'.

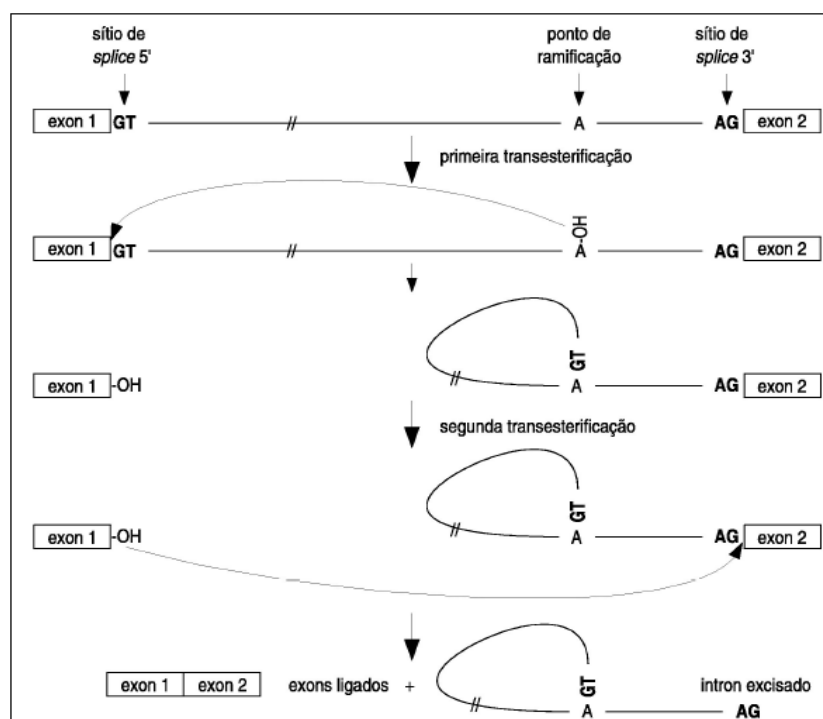


Figura 8. Mecanismo de *Splicing* nuclear
Fonte: Lewin, 2000.

São conhecidos três tipos de introns: os introns de *splicing* nuclear, e os introns auto-catalíticos, grupos I (encontrados em genes mitocondriais de fungos, genes mitocondriais e de cloroplastos de vegetais superiores e genes de eubactérias) e o grupo II (encontrados em genes que codificam rRNA no núcleo de eucariotos inferiores, em genes mitocondriais de fungos, em genes do fago T4 e em eubactérias) (Daí e Zimmerly, 2003; Haugen et al., 2005; Rogers et al., 1989).

A maioria dos genes é editada da mesma forma, indicando que a célula reconhece precisamente a borda entre exons e introns. Vários organismos têm a borda exon/intron marcada pela presença de nucleotídeos conservados: *gt* na extremidade 5' do intron e *ag* na extremidade 3' (~ 99,6% das bordas exon/intron de mamíferos tem esta marcação). Em mamíferos o sítio de ramificação (*branch site*) que abriga a adenina pode ser bastante degenerado e sua posição pode ser bem variável em relação à distância dos sítios de *splice* em 5' e 3' (Sheth et al., 2006).

1.9.1 Origem e funções dos introns

Desde a descoberta dos introns em 1977, questiona-se qual sua função, quando e como eles surgiram e porque introns de *splicing* nuclear existem em eucariotos e não em procariotos. Basicamente, existem duas hipóteses para explicar a origem dos introns: introns-*early* e introns-*late*. A primeira hipótese assume que os introns já estavam presentes nos genes do progenitor (ancestral comum de procariotos e eucariotos). Os introns teriam sido perdidos nos procariotos por um processo de redução de tamanho do genoma, resultado da pressão seletiva em favor da replicação rápida do DNA. Já os introns-*late* teriam sido adicionados posteriormente durante a evolução, após a divergência entre eucariotos e procariotos (Mattick, 1994).

Em relação às suas funções, recentemente estão sendo encontradas inúmeras sequências intrônicas que codificam microRNAs, que são responsáveis por mediar o silenciamento gênico através de interferência (RNAi) (Lin e Ying, 2006). Os miRNAs foram primeiramente descobertos em *Caenorhabditis elegans* (Hannon, 2002) como fragmentos nativos de RNA que modulam uma grande variedade de vias de regulação gênica de vários organismos, demonstrando a manutenção evolutiva do silenciamento gênico (Ying e Lin, 2006). Muitos snRNAs (*small nuclear*

RNAs) inclusive os que participam do *splicing* são codificados por introns (Lewin, 2000)

Nott et al. (2003) verificaram em eucariotos superiores que a remoção dos introns pelos spliceossomos pode afetar a expressão gênica em diferentes níveis, incluindo poliadenilação, exportação do mRNA, eficiência de tradução e a taxa de decaimento do mRNA. Foi construído um sistema repórter baseado na luciferase para monitorar os efeitos de introns individuais e suas posições dentro do gene, analisando a expressão dessa proteína em células HeLa. Foi feita a análise quantitativa da expressão de um vetor contendo parte (exon 6 + intron 6 + exon 7) do gene TPI (*triose phosphate isomerase*) humana posicionado em duas regiões diferentes (5' e 3'). O resultado revelou que a presença do intron promove o aumento da atividade do gene reporter dependendo de sua posição na sequência. Após 42 h de transfecção o vetor com o intron na posição 5' foi expresso 29 vezes mais do que na posição 3', um aumento de 8 vezes, comparado com o controle (sem intron) (Fig. 9). Este experimento demonstra a importância dos introns na expressão gênica.

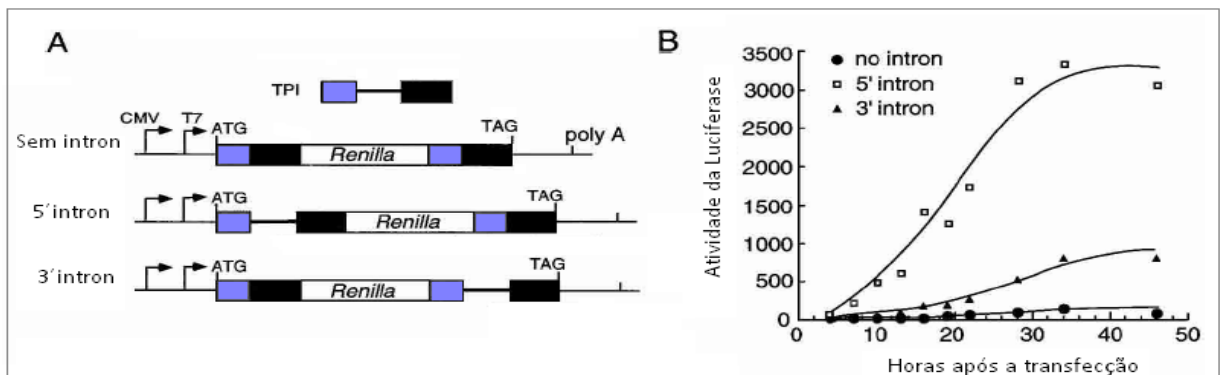


Figura 9. Construção de um vetor utilizando introns. Foi feita uma construção colocando os exons 6 e 7 da *triose fosfato isomerase* (TPI) em ambas extremidades do sistema reporter *Renilla*/luciferase. a) sem o intron 6; b) com intron 6 em 5'; c) com intron 6 em 3'. B. Monitoramento da atividade da luciferase de 4 a 46 h após a transfecção, indicando que o vetor com o intron em posição 5' tem uma maior atividade da luciferase.

Fonte: Nott et al., 2003.

2 OBJETIVO

Clonagem, sequenciamento e caracterização dos genes de mataloproteinase da classe P-IIIa, a partir do DNA genômico de *Bothrops jararaca*, utilizando como referência os cDNAs da bothropasina e jararagina.

3 JUSTIFICATIVA

A obtenção da sequência completa dos genes codificadores da jararagina e bothropasina a partir do DNA genômico, portanto incluindo os introns, visa esclarecer se ambas são codificadas pelo mesmo gene, ou por genes oriundos de duplicação, contribuindo para a compreensão da evolução desta família gênica.

4 MATERIAIS e MÉTODOS

4.1 Extração de sangue de *Bothrops jararaca*

Sangue (2,5 ml) proveniente de um exemplar de *Bothrops jararaca* foi extraído previamente por técnicos especializados conforme normas do setor de Herpetologia do Instituto Butantan. Este sangue foi estocado no gelo em tubo cônico com EDTA até o momento de uso.

4.2 Técnica para extração do DNA genômico

O sangue de *Bothrops jararaca* foi centrifugado a 1000 rpm (centrífuga Sorvall RC5B, rotor AS 600) durante 10 minutos, 4 °C. O soro foi desprezado. Ao *pellet* foram adicionados 10 ml de solução digestiva (NaCl 0,4 M; EDTA 0,1 M pH 8,0; proteinase K 100 µg/ml e SDS 1%), e a suspensão foi incubada a 50 °C por 3 h; em seguida a concentração de NaCl foi corrigida para 1 M. Esta solução foi transferida para um tubo Corex e extraída com igual volume da solução fenol/clorofórmio/álcool isoamílico (50:48:2). Em seguida, a solução ficou sob suave agitação por 30 min e foi centrifugada a 10.000 rpm, 4 °C. O sobrenadante foi transferido para um novo tubo Corex e precipitado durante 12 horas a –20 °C com dois volumes de etanol 100%. Após este período, a solução foi novamente centrifugada a 10.000 rpm a 4 °C por 15 min. O sobrenadante foi desprezado e o *pellet* lavado com 10 ml de etanol 70%, centrifugado a 10.000 rpm a 4 °C por 15 min e seco em um sistema a vácuo. O *pellet* foi ressuspêndido em 2 ml de TE (Tris 10 mM, EDTA 1 mM), 1 µl de RNase 10 mg/ml e incubado a 37 °C por 1 h. Em seguida foi adicionado NaCl para concentração final 1 M. A solução foi novamente extraída com igual volume de fenol/clorofórmio/álcool isoamílico, e submetida a suave agitação manual por 30 min. Após isto, foi centrifugada a 10.000 rpm durante 15 min a 4 °C. O sobrenadante foi transferido para um novo tubo Corex, precipitado com 2 volumes de etanol 100% e mantido a –20 °C *overnight*, centrifugado a 10.000 rpm por 15 min a 4 °C, e desprezado o sobrenadante. O *pellet* foi finalmente lavado em etanol 70%, centrifugado, seco nas mesmas condições acima, ressuspêndido em TE, quantificado em espectrofotômetro e gel de agarose 1%, aliquotado e mantido a 4 °C.

4.3 Estratégia de amplificação

Partes contíguas dos genes em questão foram amplificadas pela técnica de PCR a partir de DNA genômico, utilizando *primers* desenhados conforme as regiões que codificam os respectivos domínios, tendo por base as sequências publicadas dos cDNAs de jararagina e bothropasina (Quadro 1). Os *primers* foram determinados a partir de sequências comuns a ambos os cDNAs para garantir o anelamento dos dois supostos genes, jararagina e bothropasina. As condições de PCR foram estabelecidas inicialmente conforme o número de (G+C) e (A+T) presentes nos *primers* e depois foram otimizadas. Foram utilizados os termocicladores *Gene* e *PCR Sprint Thermal Cycler* (*Thermo Eletronic Corporation*). Condições do PCR: 94 °C 1 min; 54 °C 1 min; 72 °C 2 min (35 ciclos); 72 °C 5 min (extensão, 1 ciclo). Reação: buffer 10x, 50 mM MgCl₂, 10 mM dNTPmix, 50-100 ng DNA, 5 U *Taq DNA Polymerase* (qsp 30 µl). A concentração estoque dos *primers* foi 100 µM, e a utilizada no PCR foi 10 µM.

Quadro 1- Sequências dos primers.

Primers	Seqüências 5'-3'	T °C anelamento	Região
Pbd	GCACGAGAGAACTCAGATTGG	64 °C	Exon/ pep-sinal
Pbr	ATTCACGTTCCCAGATTCCA	58 °C	Exon/ pep-sinal
Pbdd	GCATGTTAAAGTGGGAGAG	56 °C	Intron/ pep-sinal
Pbrr	GGACGTACAATCACAACTG	56 °C	Intron/ pep-sinal
PbirD	GGAATCTGGAACGTGAATG	60 °C	Exon/pró-domínio
Pad	GAGCAGTTCAGCCAAAGTA	60 °C	Exon/pró-domínio
Pair	GGTGAAGGACCCTGGCT	62 °C	Exon/pró-domínio
Paid	GCCAGTGGCCTTCACCT	57 °C	Exon/pró-domínio
Par	GTCAGCATCATTCTCGATG	60 °C	Exon/ pró-domínio
P1d	CATGGACGCATCGAGAATGA	60 °C	Exon/ pró-domínio
P1r	ACCCATAAAAAGGCCTCTC	60 °C	Exon/ pró-domínio
P1rr	CTCAGAGCTGAGTTCAATT	58 °C	Intron/pró-domínio
P0d	GTAGAAAAGGAGGATGAGGC	60 °C	Exon/ pró-domínio
P0dd	GTAGTTGGAGATTGAA	48 °C	Intron/pró-domínio
P0rr	CATTTGTTCTCCTGCTTAC	56 °C	Intron/pró-domínio
P0r	GAATGTATGAACCTGCCAAC	56 °C	Exon/ catalítico
P0dr	GAATGTATGAACCTGCCAAC	56 °C	Exon/ catalítico
P2r	GAGATAAGATTACCGTGAAG	56 °C	Exon/ catalítico
P2dx	CACTGATATCTCTTCTCTC	58 °C	Intron/catalítico
P4d	GAGATAAGATTACCGTGAAG	56 °C	Exon/ catalítico
P4ir	GTCAATTGCTGTGAGTAAC	58 °C	Exon/ catalítico
P4irD	GTTACTCACAGCAATTGA	52 °C	Exon/ catalítico
P4r	CAATAAATCTTGTGGTTGC	52 °C	Exon/ catalítico
P11d	GCATTCATCATGACACAG	52 °C	Exon/ catalítico
P11Dr	CTGTGTCATGATGAATGC	56 °C	Exon/ catalítico
P11r	GGATATAACTACAATTGCTG	54 °C	Exon/ catalítico

P11dd	CTTGGGGTTTCCTGCCT	56 °C	Intron/ catalítico
P11rr	CTGGTGGCCATTAAATAGAC	58 °C	Intron/ catalítico
P9d	CAGCAATTGTAGTTATATCC	54 °C	Exon/ catalítico
P9r	AGTGCCACAGTCACATTC	54 °C	Exon/ desintegrina
P6d	GAATGTGACTGTGGCACT	54 °C	Exon/ desintegrina
P6r	GCTCACAAACAGTCTCCATG	56 °C	Exon/ desintegrina
P7d	CATGGAGACTGTTGTGAGC	58 °C	Exon/ desintegrina
P7r	CCAGTGCAGTGTTCAGCC	58 °C	Exon/ desintegrina
P12d	GGCTGAACACTGCACTGG	58 °C	Exon/ desintegrina
P12r	GTAACCGTAGTTATGTAGG	54 °C	Exon/ desintegrina
P10d	CTCTCTTGGTGCAGATGTT	58 °C	Exon/ cys-rich
Pydd	CTTACATTGACACTCGTC	52 °C	Intron/ cys-rich
Pyrr	GATGGTTATCTTCAAGCTG	54 °C	Intron/ cys-rich
P10r	CTTCTGGTGCACATGGAATC	60 °C	Exon/ cys-rich
P8d	GATTCCATGTGCACCAGAAG	60 °C	Exon/ cys-rich
P8id	GCAAAGATAATTCACCTGG	58 °C	Exon/ cys-rich
P8idR	CCAGGTGAATTATCTTGC	54 °C	Exon/ cys-rich
P8r	GCACATTTGTTCCAGGAAG	58 °C	Exon/ cys-rich
P5d	TCCTGGAACAAAATGTGCAG	58 °C	Exon/ cys-rich
P5r	TCCAAGAGATCCATCTGCC	60 °C	Exon/ não traduzida
P3d	CCATCTGCCTGCATCTTACT	60 °C	Exon/ não traduzida
P3r	GCTGCTTCCATCAATAAACT	56 °C	Exon/ não traduzida

4.4 Eletroforese e eluição

A técnica de eletroforese foi usada tanto para quantificação de DNA quanto para resolver os fragmentos amplificados por PCR. O gel de agarose 1,5% em tampão TEB (Tris 0,9 M; EDTA 0,02 M; ácido bórico 0,9 M) foi utilizado para a migração dos produtos sob tensão 10 V/cm, corado com brometo de etídeo (EtBr) e fotografado utilizando câmara fotográfica Kodak *EI Logic 100 Imaging System* sob luz UV. Os fragmentos amplificados foram eluídos do gel conforme instruções do *Kit Biotools Bioclean* (*Biotools* do Brasil) e utilizados para clonagem e sequenciamento.

4.5 Clonagem molecular

A fim de obter clones para sequenciamento, estoque, e para futuros estudos, os fragmentos amplificados foram clonados em vetor *pGEM T-easy* (*Promega*) em *E. coli* XL1-Blue e DH-5α conforme instruções do fabricante. Os insertos foram ligados aos plasmídeos abertos em presença de ligase e usados para transformação das bactérias competentes. Os clones recombinantes selecionados em placas contendo ampicilina foram submetidos à mini-preparação (miniprep) a fim de extrair os plasmídeos recombinantes. Estes foram analisados pela digestão com a enzima

de restrição *Eco RI*, para avaliar a presença do inserto, e também submetidos à PCR, usando *primers* universais (*T7* e *SP6*) que anelam nos plasmídeos a fim de confirmar a presença e tamanho do inserto para posterior sequenciamento (Fig. 10 e 11).

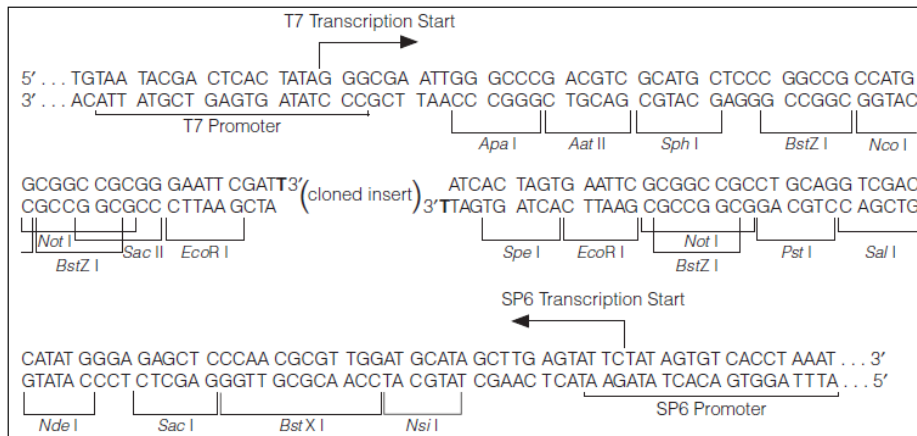


Figura 10. Sequência dos sítios de clonagem do plasmídeo *pGEM T-easy Vector* (Promega).

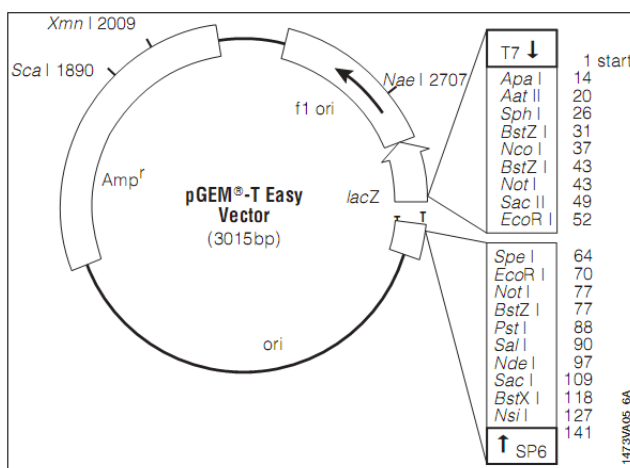


Figura 11. Esquema do *pGEM T-Easy Vector*.

4.5.1 Preparação de bactérias competentes

Um pré-inóculo de *E. coli* (uma colônia) foi feito em 5 ml de meio LB (triptona 1%, extrato de levedura 0,5% , NaCl 170 mM). A cultura foi mantida em shaker a 37 °C overnight. A seguir 1,0 ml desta cultura foi inoculado em 50 ml de meio LB e a cultura foi mantida sob agitação até atingir D.O.=0,3 a 600 nm. As bactérias foram centrifugadas a 5.000 rpm por 5 min (rotor Sorvall AS 600). O pellet contendo bactérias foi ressuspandido em 50 ml CaCl₂ 50 mM. As bactérias foram incubadas no gelo por 30 min, centrifugadas a 5.000 rpm por 5 min, ressuspandidas em 1,25 ml de CaCl₂ 50 mM, e mantidas na geladeira até o uso, no máximo uma semana.

4.5.2 Transformação de bactérias competentes

Os plasmídeos recombinantes (5 μ l) mais 95 μ l de TE foram adicionados a 100 μ l de bactérias competentes. A mistura foi mantida por 20 min a 0 °C, e depois submetida a choque térmico por 5 min a 42 °C. Em seguida, foram adicionados 800 μ l de meio LB (pré-aquecido a 37 °C), e a cultura foi mantida a 37 °C por 45 min.

4.5.3 Plaqueamento

Foram utilizadas para o plaqueamento placas de petri com meio LB-agar 1,5% contendo ampicilina (100 μ g/ml). Foram aplicados sobre as placas LB/amp 100 μ l de bactérias transformadas pelos plasmídeos recombinantes. Após o plaqueamento, as placas foram mantidas em estufa a 37 °C *overnight*. Como controles foram usadas bactérias transformadas com plasmídeos íntegros (controle da transformação), plasmídeos não ligados (controle da ligação), e apenas bactérias (controle da ampicilina).

4.5.4 Obtenção de DNA de plasmídeo recombinante (miniprep)

Uma colônia de bactérias selecionada em placa com ampicilina foi inoculada em 3 ml de meio LB contendo 50 μ g/ml de ampicilina e mantida *overnight* sob agitação. Desta cultura, foram coletados 1,5 ml, centrifugados por 1 min, e desprezado o sobrenadante. O *pellet* foi ressuspendido em 300 μ l de solução de lise (Triton X-100 2,5%, sucrose 4%, Tris-HCl 25 mM pH 8, EDTA 25 mM, 4 μ g lisozima 10 ml/ml). Após fazer um orifício na tampa do tubo *eppendorf* para evitar perda de material, a solução foi fervida a 100 °C por 1 min, e centrifugada 10 min a 10.000 rpm. O DNA bacteriano foi retirado com um palito. Ao sobrenadante foram acrescentados 10 μ l de DEP (dietil pirocarbonato) para eliminar as nucleases; a solução foi incubada por 15 min a 65 °C e centrifugada a 10.000 rpm por 10 min. O sobrenadante foi transferido para um novo tubo. Os plasmídeos foram precipitados com NaCl, concentração final 100 mM, e um volume de isopropanol. A seguir centrifugados por 15 min a 10.000 rpm. O sobrenadante foi descartado e adicionado álcool 70% ao *pellet* para retirar o excesso de NaCl, centrifugado por 10 min a 10.000 rpm e desprezado o sobrenadante. Após secagem o DNA plasmidial foi

ressuspendido com TE (Tris 10 mM, EDTA 1 mM) e 1 µl RNAase (concentração final 10 µg/ml). Os plasmídeos foram analisados em gel de agarose 1,2%.

4.5.5 Análise do DNA recombinante

Os DNAs recombinantes foram submetidos a digestões simples com enzima de restrição *Eco RI* (*New England Biolabs*) para verificar a presença do inserto no plasmídeo. Foram utilizados 100 ng de DNA plasmidial (produto da miniprep), 0,25 µl (5 U) de *Eco RI* (200 U/µl), 3 µl de tampão de digestão *EcoRI* (10x) para uma reação de volume final 30 µl, completando com água Milli-Q. Após 3 h no banho-maria a 37 °C, a reação foi interrompida deixando o tubo a 4 °C. O DNA digerido foi colocado para migrar em gel de agarose 1,2%.

4.6 PCR dos clones para sequenciamento

Os clones foram amplificados por PCR, utilizando os *primers* que fazem parte das sequências do plasmídeo que flanqueiam o inserto (SP6 e T7). Além disso, foram usados outros *primers* necessários para *walking* ao longo do cDNA.

SP6 direto: 5' - ATT TAG GTG ACA CTA TAG AAT - 3'

T7 reverso: 5' - TAA TAC GAC TCA CTA TAG GGC - 3'

Condições: 94 °C 1 min; 54 °C 1 min; 72 °C 1 min (35 ciclos); 72 °C 5 min (extensão).

4.7 Sequenciamento de DNA

O sequenciamento dos fragmentos eluídos de PCR e/ou das minipreps de clones selecionados foi feito utilizando individualmente os *primers* SP6 ou T7 presentes no plasmídeo e flanqueando o inserto, e *kit* para amplificação *Big Dye Terminator*, versão 3.1 (*Applied Biosystems*). Condições: 96 °C, 10 s; 52 °C, 20 s; 60 °C, 4 min (40 ciclos). O sequenciamento foi feito em sequenciador *ABI Prism 3100*.

4.8 Análise das sequências

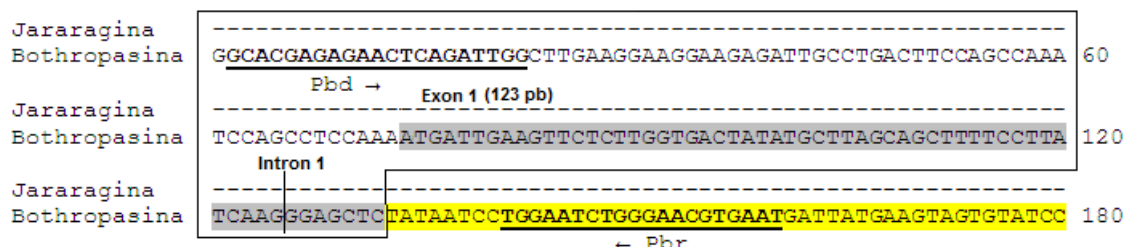
As seqüências obtidas foram comparadas entre si e com os cDNAs de referência utilizando programas como *BLAST* (*Basic Local Alignment Search Tool*), *Clustal W* e outros para pesquisa em banco de dados.

5 RESULTADOS

As sequências dos cDNAs da jararagina e bothropasina foram alinhadas utilizando o programa *Multiple Sequence Alignment by Clustal W* (<http://align.genome.jp/>), para analisar a identidade entre as sequências (ANEXO A).

5.1 Região 5' não traduzida (UTR) e Peptídeo Sinal

A região 5' UTR (bases sem cor) compreende do nucleotídeo 1 ao 72. O domínio Peptídeo Sinal (bases marcadas com a cor cinza) compreende do nucleotídeo 73 ao 131 (utilizando como base o cDNA da bothropasina). Apenas a sequência do peptídio sinal da bothropasina havia sido publicada. Os *primers* utilizados para sua amplificação encontram-se na região 5' UTR e no domínio catalítico. Foi identificado um intron no final do Peptídeo Sinal.



Para a amplificação dessa região foram utilizados os *primers* Pbd presente na região 5' não traduzida e Pbr no domínio catalítico. O PCR teve como amplificação uma banda de ~1.8 Kb o que indica a presença de um intron, pois o produto esperado era de 140 pb (Fig. 12).

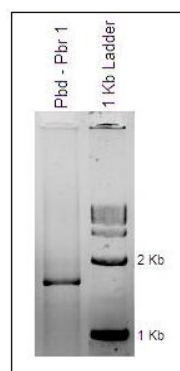


Figura 12. PCR Pbd-Pbr.

A banda foi recortada, purificada e ligada no plasmídeo *pGEM T-easy Vector*. Os plasmídeos recombinantes foram usados para transformar bactérias *E. coli*

DH5 α . Foram analisadas as minipreps de 3 colônias em gel de agarose 1,0%, comparando-se com o padrão de migração de um plasmídio íntegro (pUC19) sem inserto, que tem uma padrão de corrida mais rápido comparado com os plasmídeos recombinantes (Fig. 13).

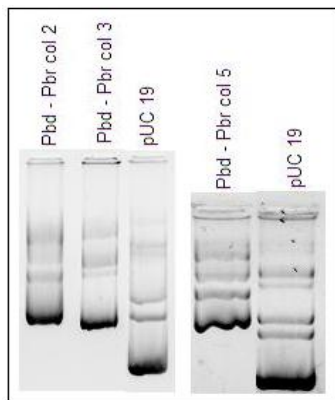


Figura 13. Minipreps Pbd-Pbr.

A confirmação da presença de inserto foi feita por digestão com *Eco RI* que faz parte do sítio múltiplo de clonagem. Não foi feito PCR para confirmar o tamanho da região devido a *Taq DNA polimerase* disponível não amplificar um fragmento de ~2 Kb. Para confirmar o tamanho do inserto, foi utilizado como controle o pUC 19 digerido (sem inserto), representado pela banda de 3 kb. A digestão das minipreps mostra o tamanho do inserto (~1.8 kb). Os clones 2, 3 e 5 mostram insertos do tamanho esperado (Fig. 14).

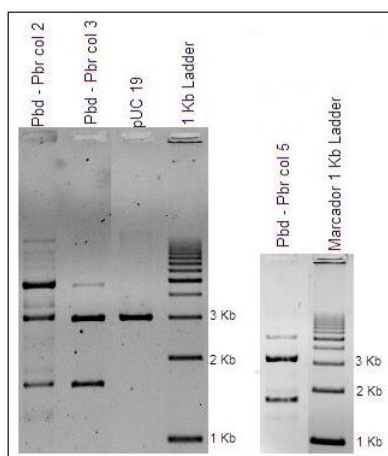


Figura 14. Digestão *EcoRI* Pbd-Pbr.

A partir dos clones Pbd-Pbr foram feitos *Nested PCRs* com os *primers* Pbdd-Pbrr, obtendo-se sub-clones que foram analisados em conjuntos.

Os sequenciamentos foram feitos a partir dos fragmentos obtidos das minipreps dos clones selecionados Pbd-Pbr col 2, 3 e 5 e seus sub-clones, utilizando os *primers* SP6 e T7. Os clones 2 e 5 mostraram completa identidade de

sequência, representados pela sequência superior (S). O clone 3 corresponde à sequência inferior (I). O Exon 1 tem 123 pb em ambas as bandas; o intron 1 na sequência S tem 1441 pb e na seqüência inferior 1440 pb. Foram identificados 22 pb divergentes entre as sequências. Notar a seqüência receptora universal *gt* em 5' e *ag* em 3' do intron 1 (sublinhado) (Fig. 15).

Pbd →	Exon 1
B GCACGAGAGA ACTCAGATTG GCTTGAAGGA AGGAAGAGAT TGCCTGTCTT CCAGCCAAAT	
C GCACGAGAGA ACTCAGATTG GCTTGAAGGA AGGAAGAGAT TGCCTGTCTT CCAGCCAAAT	
*****	*****
B AGCCTCCAAA AATGATTGAA GTTCTCTTGG TGACTATATG CTTAGCAGCT TTTCCTTATC	
C AGCCTCCAAA AATGATTCAA GTTCTCTTGG TGACTATATG CTTAGCAGCT TTTCCTTATC	
*****	*****
B AAG Intron 1	
S AAGgtaagat gttctcttgc ttctcttgt tcagattctt actgctaaaa gactattgca	
I AAgGtaagat gttctcttgc ttctcttgt tcagattctt actgctaaaa gactattgca	
*****	*****
S cccaaacagat tgctatgttg atgggttgat tttgggatt tattttgac aattaaccaa	
I cccaaacagat tgctacgttg atgggttttg tttgggatt tattttgac aattaaccaa	
*****	*****
S aatttgctcc atttcagttt ctacagattt agcaatagaa tggctcaag ggtcacattt	
I aatttgctcc atttcagttt ctacagattt agcaatagaa tggctcaag ggtcacattt	
*****	*****
S gttctaaatt gacataaatg gttcttggt attttcttaa attttgtcaa gccatgagca	
I gttctaaatt gacataaatg gttcttggt attttcttaa attttgtcaa gccatgagca	
*****	*****
Pbd →	
S gatcctaaga aaaaaagtcc taagatcttc agaagaaa <u>ag catgttaag tggagagaa</u>	
I gatcctaaga aaaaaagtcc taagatcttc agaagaaa <u>ag catgttaag tggagagaa</u>	
*****	*****
S cattttcag tgatgtgagt ttaaaaaaag gtttagagga ctgaagagga cagagagaca	
I cattttcag tgatgtgagt ttaaaaaaag gtttagagga ctgaagagga cagagagaca	
*****	*****
S gagtttgtgg caagaaaatt tcagaaagca aacaaaatgt taaagaaaaa taaagtgttt	
I gagtttgtgg caagaaaatt tcagaaagca aacaaaatgt taaagaaaaa taaagtgttt	
*****	*****
S ttggtttaa tttctttca ataggtaat tagccatcct gtaattaaac ttacataata	
I ttggtttaa tttctttca ataggtaat tagccatcct gtaattaaac ttacataata	
*****	*****
S ttcaagccaaa caaaagctat tgctattgct acagagaatc ttcaaactac agtcaagata	
I ttcaagccaaa caaaagctat tgctattgct acagagaatc ttcaaactac agtcaagata	
*****	*****

S atatgacatt aactttctc aatgcaagac tttgaattat cttaaattat ttcttcctt
I atatgacatt aactttctc aatgcaagat tttgaattat cttaaattat ttcttcctt

S gtttgattca attgatttag aagttgccaa acacaactaa gggttagaga cttatagtaa
I gtttgattca attgatttag aagttgccaa acacaactaa gggttagaga cttatagtaa

S acttgcttgc tagtaggtgg agttgaaccc ctcccatgat tctgggagca tcaggtagaa
I acttgcttgc tagtaggtgg agttgaaccc ctcccatgat tctgggagca tcaggtagaa

S atggtaggt acataaatag atgtgaggaa gatgtattct tctgtctcg gttgctcatc
I atggtaggt acataaatag atgtgaggaa gatgtattct tctgtctcg gttgctcatc

S agtctgagaa aacacatttc cagggcccaa cgctagttc tctcttctc agtctctc
I agtctgagaa aacacatttc cagggcccaa cgctagttc tctcttctc agtctctc

S tctgtctcaa ttcctataagg tggtggcta gcagtttctt tccgtaccc tgtggatt
I tctgtctcaa ttcctataagg tggtggcta gcagtttctt tccgtaccc tgtggatt

S gatacttgag tttattctt tgtttccact tgcaactata agcacaacct tacccctccc
I gatacttgag tttattctt tgtttccact tgcaactata agcacaacct tacccctccc
***** ← Pbr
S ttccattaat ctgctaacaa atcttggctc **cagttgtat tgcgttcc** agagaacgtg
I ttccattaat ctgctaacaa atcttggctc **cagttgtat tgcgttcc** agagaacttg

S cagtgtcagg ctgccatTTT cacaaaataa gttaaggaac aaatatcagg tgaccatcca
I cagtgtcaga ctgccatTTT cacaaaataa gctaaggaac aaatatcagg tgaccatcca

S atgtccatat ggggaccaggc tccaaattgt tcagctatta gtcaaattct gaaatcacta
I atgtccatat ggggaccac tccaaattgt tcagctatta gtcaaattct gaaatcacta

S cattatTTT atgttcttag gtgttccgggt gataattatg atgttgtgg ttgtccatag
I tattatTTT atgttcttag atgctccagt gataattatg atgcccgtggg ttgtccatag

S attctttga aaatggaaga aaggaaagtc agcaaaaacta ttaggatggc agtaaaatag
I attctttaa aaatggaaga aaggaaagtc agcaaaaacta ttaggatggc agtaaaatag

S cagttcagct gaaaggaatt actaatcagc tgcaacttgca ttcccagaga aaaggatttc
I cagttcagct gaaaggaatt actaatcagc tgcaacttgca ttcccagaga aaaggatttc

S tgtgctgtgt cccactagaa aaagattcca ttcttcactg atgaaccgaa taacaatttg
I tgtgctgtgt cccactagaa aacgtttcca ttcttcactg at-aaccgaa taacaatttg

S tgggtggat gtgaaaatgg tagaataaca tcccaaagta aaccaaacct tctttcttt
 I tgggtggat gtgaaaatgg tagaatcaca tcccaaagta aaccaaacct tctttcttt
 ***** * ***** *

Exon 2
 S ttagGGAGCT C
 I ttagGGAGCT C
 ***** *

Figura 15. Sequenciamento 5' UTR e Peptídeo Sinal. Os asteriscos mostram a identidade entre as sequências. Em negrito estão os *primers* utilizados para amplificar a região. (B) Bothropasina; (S) banda superior; (I) banda inferior. As denominações S e I são provisórias, até a obtenção das sequências definitivas.

5.2 Pró-domínio

O pró-domínio é mostrado no box amarelo, compreendendo do nucleotídeo 132 ao 638, usando como base a sequência dos cDNAs na bothropasina. Os asteriscos mostram identidade de sequências; a falta deles indica divergência.

	Exon 2 (91 pb)	PbirD →	
Jararagina			
Bothropasina	TCAAGGGAGCTC	TATAATCCTGAATCTGGGAAACGTGAATGATTATGAAGTAGTGTATCC	180
Jararagina			
Bothropasina	-----	GCAACGAGGCCAAAGGAGCAGTTCAAGCCAAAGTATGAAGACGCCATGCA	240
Jararagina		ACGAAAAGTCACTGCATTGCCCAAAGGAGCAGTTCAAGCCAAAGTATGAAGACGCCATGCA	
Bothropasina	*	*****	
Jararagina			
Bothropasina	ATATGAATTAAAGTGAATGGAGAGCCAGTGGTCTTCAACCTGGAAAAAAATAAAGGACT	Paid →	300
Jararagina	ATATGAATTAAAGTTAACGAGCCAGTGGTCTTCAACCTGGAAAAAAATAAAGGACT		
Bothropasina	*****	*****	
Jararagina			
Bothropasina	TTTTTCAAAAGATTACAGCGAGATTCAATTATTCCCTGATGGCAGAGAAATTACAACATA	← Pair	360
Jararagina	TTTTTCAAAAGATTACAGCGAGACTCATTATTCCCTGATGGCAGAGAAATTACAACATA		
Bothropasina	*****	*****	
Jararagina			
Bothropasina	CCCCCCCAGTTGAGGATCACTGTTATTATCATGGACGCATCGAGAATGATGCTGACTCAAC	P1d →	420
Jararagina	CCCTGCGGTTGAGGATCACTGCTATTATCATGGACGCATCGAGAATGATGCTGACTCAAC		
Bothropasina	*****	*****	
Jararagina			
Bothropasina	TGCAAGGCATCAGTGCATGCAACGGTTTGAAAGGATATTCAAGCTTCAAAGGGAGACGTA	Intron 3 Exon 4 (195 pb)	480
Jararagina	TGCAAGGCATCAGTGCATGCAACGGTTTGAAAGGACATTCAAGCTTCAAAGGGAGACATA		
Bothropasina	*****	← Par	
Jararagina			
Bothropasina	CTTTATTGAACCCCTTGAAGCTTCCGACAGTGAAGGCCATGCAGTCTTCAAATATGAAAA		540
Jararagina	CTTTATTGAACCCCTTGAAGCTTCCAACAGTGAAGGCCATGCAGTCTTCAAATATGAAAA		
Bothropasina	*****	*****	
Jararagina			
Bothropasina	TGTAGAAAAGGAGGATGAGGCCCAAAATGTGTGGGTAACCCAGAATTGGAAATCATA	P0d →	600
Jararagina	TGTAGAAAAGGAGGATGAGGCCCAAAATGTGTGGGTAACCCAGAATTGGAAATCATA		
Bothropasina	*****	*****	
Jararagina			
Bothropasina	+ P1r	TGAACCCATCAAAAGGCCCTCTCAGTTAGCTTTACTGC	660
Jararagina	TGAACCCATCAAAAGGCCCTCTCAGTTAGTTACTGC	TGAACCAACAAAGATATGACCC	
Bothropasina	*****	TGAACCAACAAAGATATGACCC	

O primeiro par de *primers* utilizados para amplificar este domínio foi o PbirD-Pair. O fragmento esperado era de 142 pb, mas foram encontradas três bandas: banda 1 (~550 pb), banda 2 (~850 pb), e banda 3 (~950 pb) (Fig. 16).



Figura 16. PCR PbirD-Pair.

As bandas estavam muito próximas para serem recortadas. A clonagem foi feita a partir do PCR contendo todas as três bandas. Para análise dos clones foram feitas minipreps (Fig. 17).

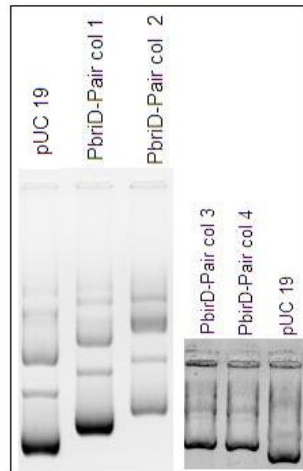


Figura 17. Minipreps PbirD-Pair.

Para confirmar a presença dos insertos do tamanho desejado foram feitos PCRs com os *primers* SP6 e T7 (Fig. 18).

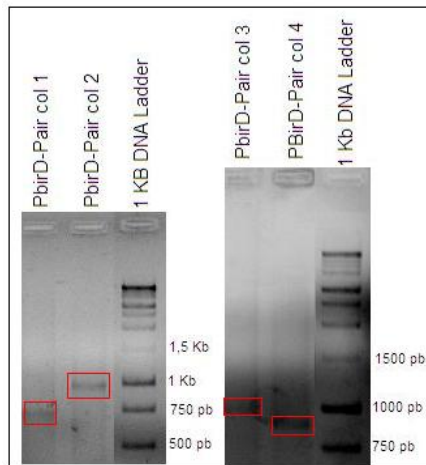


Figura 18. PCR das minipreps PbirD-Pair. Os PCRs confirmaram a presença do inserto da banda 1 (colônia ou clone 1), banda 2 (clone 4), e banda 3 (clones 2 e 3).

Foram sequenciados os clones das colônias 1, 4 e 3 que correspondem às bandas 1, 2 e 3, respectivamente. O consenso foi definido pelo PCR reverso e direto dos clones. O exon 2 tem 91 pb em todos os clones, o intron 2 das bandas 1, 2 e 3 (C1, C2, C3) contém 570 pb, 850 pb, e 974 pb, respectivamente. Notar a sequência doadora universal *gt* em 5', e receptora *ag* em 3' do intron 2 (sublinhado) (Fig. 19).

PBirD → Exon 2

B	GGAATCTGGG AACGTGAATG	ATTATGAAGT	AGTGTATCCA	CGAAAAGTCA	CTGCATTGCC	
J						G CAACGAGGCC
C1	GGAATCTGGG AACGTGAATG	ATTACGAAGT	AGTGTATCCA	CGAAAAATCA	CTGCATTGCC	
C2	GGAATCTGGG AACGTGAATG	ATTATGAAGT	AGTCTATCCA	CGAAAAATCA	CTGAATTGCC	
C3	GGAATCTGGG AACGTGAATG	ATTATGAAGT	AGTCTATCCA	CGAAAAGTCA	CTGCATTGCC	
	*****	*****	*****	*****	*****	*

B	CAAAGGAGCA	GTTCAGCCAA	AG			
J	CAAAGGAGCA	GTTCAGCCAA	AG	Intron 2		
C1	CAAAGGAGCA	GTTCAGCCAA	<u>AG</u> gttaagaaaa	aagatcttcc	tttcatcaac	aaattatt--
C2	CAAAGGAGCA	GTTCAGCCAA	<u>AG</u> gttaagaaaa	aagatcttcc	tttcatcaac	aatgatttc
C3	CAAAGGAGCA	GTTCAGCCAA	<u>AG</u> gttaaggaa	aagatcttcc	tttcatcaac	aaattatttc
	*****	*****	*****	*****	*****	*****

C1	-----	-----	-----	-----	-----	-----
C2	ttgtcagccc	acagaaatgt	tgttattcca	ttgctgccat	ctaattggta	tctggatttt
C3	ttgtcagccc	acagaaatgt	tgttattccct	ttgctgccat	ctaattggta	tctggatttt
	*****	*****	*****	*****	*****	*****

C1	-----	-----	-----	-----	-----	-----
C2	gcattacaat	ctatgttccct	gcttgaatta	tttatgttatt	aattaaagat	taattaatac
C3	gcattgcaat	ctatgttccct	gcttgaatta	tttatgttatt	aattaaaaaa	aattatatgg
	*****	*****	*****	*****	*****	**

C1	-----	-----	-----	-----	-----	-----
C2	ccaaatttgt	cccaattcac	acaaaattga	ggagattcct	ggcaatttac	aaatagaatt
C3	cc-----g	cccaattcac	acaaaactga	ggagattcct	ggcaatttac	aaatagaact
	**	*****	*****	*****	*****	*****

C1 -----
C2 tcctaatata tataggtag tataactcg aaagtgtgg gagacaccca gccgtaccgt
C3 tcctaatatg tataggtag tataactcat aaagtgtga gagacaccca ggtgtaccgt
***** * ***** * ***** * ***** * ***** * ***** * *****

C1 ----- ggaa attagccatg agtcattca tagctgcaac agatccagga
C2 gaggaggat cgagtgggaa attagccatg agtcattca tagctgcaac agatccagga
C3 gaggaggat caagtaggaa actagccatg agtcattca tagctgcaac agatccagaa
***** * ***** * ***** * ***** * ***** * ***** * *****

C1 ctgacatcct cccccactcc agggaaattcc attaaagttt atctatctgt tctgaagaga
C2 ctgacatcct cccccacttc agggaaattcc atgaaaagttt atctatatgt tctgaagaga
C3 ctgacatcct cccccactcc agggaaattcc attaaagttt atctatctgt tctgaagaga
***** * ***** * ***** * *** * ***** * ***** *** * *****

C1 agggagcag tctataggaa gattcctgca ttataggcag aatacagtaa atgatttaat
C2 agggagcag tctataggaa gattcctgca ttataggcag aatacagtaa agtgttaat
C3 agggagcag tctataggaa gattcctgca ttataggcag aatacagtaa agtacttaat
**** * **** * ***** * *** * ***** * ***** * ***** * ***** * ****

C1 ttAAactctg catgtctaca tgcatcaatt agaagtataa aagatgt---
C2 ttAAactctg catctctaca tgcatcaatt agaaatgtaa aagatgtgtt tctagggaa
C3 ttAgaaatctg catgtctacc tgcatca--- ---atataa aaggtgtgtt tctagggaa
*** * **** * ***** * *** * *** * *** * ***** * ***** * ***

C1 -----atag tggttacaac tcaagattag ttctgagaat gagattcaag tct-----
C2 gatggtataa tggttacaac tcaagattag ttctgagaat gagattcaag tct-----
C3 gatggtatag agttacaac gcaagattat ttctgagaat gagattcaag tctatcgctg
***** * ***** * ***** * ***** * ***** * ***** * ***** ***

C1 -----cttt gagtcagtct ctctctgtcc cagctcaacc tcattcacca agatgtcaa
C2 -----cttt gagtcagttt ctct--gtcc cagctcaacc tcattcaccc agatgtcaa
C3 gatgacttt gagtcagtct ctct--gtcc cagctcaccc tcattcacca agatgtcaa
***** * ***** * *** * *** * ***** * ***** * *****

C1 ttagagaatg aaatcttcaa cttatgaagg aa--t-gtta ttttaagatc ttacagttca
C2 ttagagaatg aaatcttcaa cttatgcaga a---t-gtta ttttaagatc gtacagttca
C3 ttagagaatg agatcttcaa cttatgcaga aagatcgta taagatctt cagttgacat
***** * ***** * ***** * * * * * * * * * *

C1 -----
C2 -----
C3 cactagatga aatactctaa atctaattgaa -taatttggc tatggcaaattattcattag

C1 -----
C2 -----
C3 attaaattt atacatgtgt agagttgtt agaggataca caacttagtt gcttaattct

Exon 3

B	TATGAA	GACGCCATGC	AATATGAATT
J	TATGAA	GACGCCATGC	AATATGAATT
C1	aagcact- -agcctgaat	tctttgcttt tcag	TATGAA GACGCCATGC AATATGAATT
C2	aagcacc- -agcctgaac	tctttgcttt tcag	TATGAA GACGCCATGC AATATGAATT
C3	ttaagaagta aagtctgaac	actttgcttt tcag	TATGAA GACACCATGC AATATGAATT
	*** *	** ****	*****

← Pair

B	TAAAGTTAAT	GGAG <u>AGCCAG</u>	TGGTCCTTCA	CC
J	TAAAGTGAAT	GGAG <u>AGCCAG</u>	TGGTCCTTCA	CC
C1	TAAGGTGAAT	GGAA <u>AGCCAG</u>	TGGTCCTTCA	CC
C2	TAAGGTGAAT	GGAG <u>AGCCAG</u>	TGGTCCTTCA	CC
C3	TAAAGTGAAT	GGAG <u>AGCCAG</u>	TGGTCCTTCA	CC
	*****	*****	*****	**

Figura 19. Sequenciamento PbirD-Pair. As denominações C1, 2 e 3 são provisórias, até a obtenção das sequências definitivas.

O produto de amplificação com os *primers* Paid-Par foi 150 pb indicando não haver intron nesta região (Fig. 20).

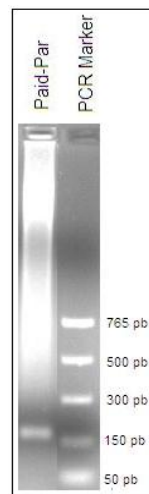


Figura 20. PCR Paid-Par.

A clonagem foi feita a partir do produto de PCR, tendo sido analisados seis clones pela técnica de miniprep. Os clones foram comparados com o pUC 19 íntegro. Devido o produto ligado ao plasmídeo ser muito pequeno, não aparece diferença entre os plasmídeos recombinantes e o pUC (Fig. 21).

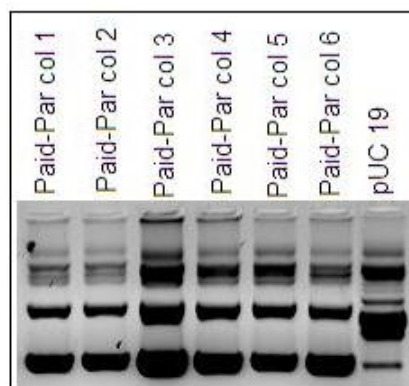


Figura 21. Minipreps Paid-Par.

Para confirmar o tamanho dos insertos foi feito um PCR com os *primers* SP6 e T7. Os clones Paid-Par col 2 e 6 não apresentam o inserto, os demais têm o inserto do tamanho esperado (Fig 22).

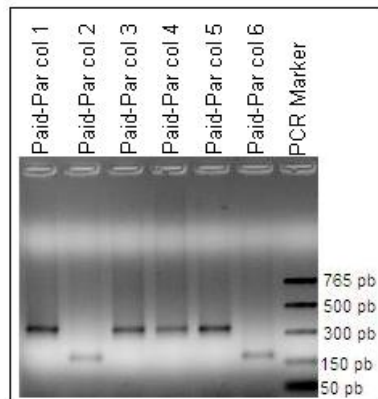


Figura 22. PCRs das minipreps Paid-Par.

Os clones Paid-Par col 1, 3, 4 e 5 foram sequenciados (Fig. 23). Os 4 clones apresentaram a mesma sequência. O tamanho total do exon 3 é 227 pb. Alguns pontos de mutação nas sequências obtidas dos clones diferem das sequências da jararagina e da bothropasina.

Exon 3 (cont.) Paid →

B	GCCAGTGGTC CTTCACCT GG	AAAAAAATAA	AGGACTTTTT	TCAAAAGATT	ACAGCGAGAC
J	GCCAGTGGTC CTTCACCT GG	AAAAAAATAA	AGGACTTTTT	TCAAAAGATT	ACAGCGAGAT
C	GCCAGTGGTC CTTCACCT GG	AAAAAAATAA	AGGACTTTTT	TCAGAAGATT	ACAGCGAGAT
	*****	*****	*****	*****	*****

B	TCATTATTCC CCTGATGGCA	GAGAAATTAC	AACATACCC	GCGGTTGAGG	ATCACTGCTA
J	TCATTATTCC CCTGATGGCA	GAGAAATTAC	AACATACCCC	CGGGTTGAGG	ATCACTGTTA
C	TCATTATTCC CCTGATGACA	GAGAAATTAC	AACAAACCC	CTGGTTGAGG	ATCACTGCTA
	*****	*****	**	*****	*****

	← Par
B	TTATCATGGA CG CATCGAGA ATGATGCTGA
J	TTATCATGGA CG CATCGAGA ATGATGCTGA
C	TTATCATGGA CA CATCGAGA ATGATGCTGA

Figura 23. Sequenciamento Paid-Par. B (bothropasina), J (jararagina), C (consenso dos clones).

Esta região foi inicialmente amplificada com os *primers* P1d-P1r e clonada (Quadro 2) pelo aluno de Mestrado Marcelo Moreira Tavares de Souza, e posteriormente confirmada neste trabalho.

Quadro 2 - Clones P1d-P1r. Nomeados pelo aluno Marcelo M. T. Souza. Alguns clones tiveram seu nome alterado e corrigido após a análise do PCR (alteração entre parênteses).

P1d - P1r
p1 inf 4
p1 inf 6 (sup)
p1 inf 7
p1 inf 8 (sup)
p1 inf 10
p1 mix 2
p1 mix 6
p1 inf C
p1 inf E (sup)
p1 inf F (sup)

Foram feitas minipreps a partir dos clones que estavam em estoque (*stabs*). Os plasmídeos recombinantes de sete colônias foram analisados após a miniprep e comparados com o plasmídeo integro ou marcador (Fig. 24).

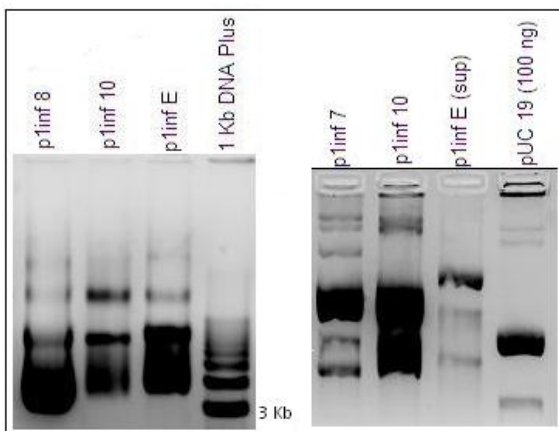


Figura 24. Minipreps P1d-P1r.

Os tamanhos dos insertos foram analisados e confirmados por PCR utilizando os *primers* SP6 e T7 (Fig. 25), e digestão *Eco RI* (Fig. 26).

O PCR indicou que os clones p1inf 10 e p1inf 7 têm um inserto de ~750 pb, os clones p1inf 8, p1inf E e p1inf 6 têm um inserto de ~1 Kb. Notar que a denominação original dos clones está incorreta, pois inf 8, inf E e inf 6 são na realidade sup8, sup E e sup 6 (inf = banda menor ou inferior; sup = banda maior ou superior no gel). Conferir com a Tabela 2. A digestão dos clones p1inf 7 e p1inf 10 confirmou a presença de inserto de ~600 pb. Os clones p1inf8 e p1inf E confirmaram a presença de um inserto de ~ 850 pb. O DNA do clone p1inf6 não foi digerido.

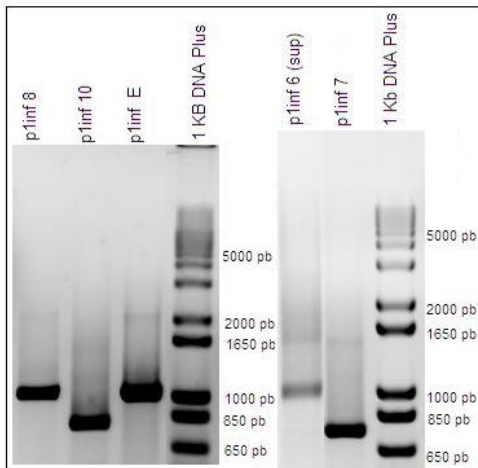


Figura 25. PCR das minipreps P1d-P1r

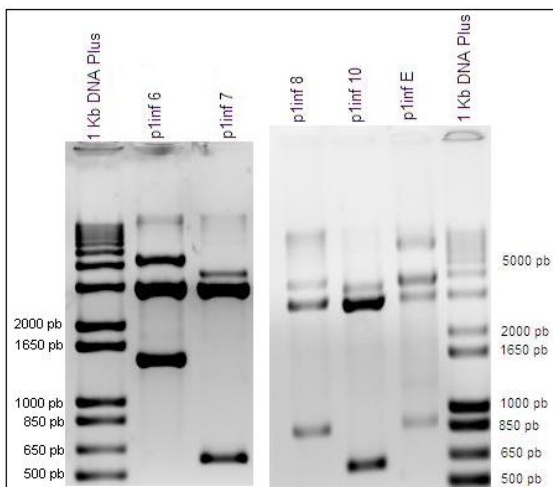


Figura 26. Digestão com Eco RI P1d-P1r.

Foram sequenciados e alinhados os clones p1inf 8, p1inf E, p1inf 6 que tinham o inserto de ~ 850 pb (S), e os clones p1inf 7 e p1inf 10 que tinham o inserto de ~ 600 pb (I), obtendo-se o consenso/diferenças entre as sequências. Foi encontrado um intron de 624 pb na sequência superior e de 614 pb na sequência inferior, evidenciando a existência de no mínimo dois genes. Notar a sequência doadora universal *gt* em 5' e receptora *ag* em 3' do intron 3 (sublinhado) (Fig. 27).

Exon 3	P1d →	
B <u>CATGGACGCA TCGAGAATGA</u>	TGCTGACTCA ACTGCAAGCA TCAGTGCATG CAACGGTTTG	
J <u>CATGGACGCA TCGAGAATGA</u>	TGCTGACTCA ACTGCAAGCA TCAGTGCATG CAACGGTTTG	
S <u>CATGGACGCA TCGAGAATGA</u>	TGCTGACTCA ACTGCAAGCA TCAGTGCATG CAACGGTTTG	
I <u>CATGGACGCA TCGAGAATGA</u>	TGCTGACTCA ACTGTAAGCA TCAGTGCATG CAATGGTTTG	

B AA		
J AA Intron 3		
S A <u>A</u> gtaagata gtttctaattc ttttatattat ttattaaaga ataatacact ggtcttggag		
I A <u>A</u> gtaagata gtttctaattc ttttatattat ttattaaaga ataatacact ggtcttggag		

S ttgtcacaga taaaatgagg gacatcagtt tttcaagact tctgcagaat taagaaagac
I ttgtcacaga taaaatgagg gacgtcagtt tttcaagact tctgcagaat taagaaagac

S tttgatagaa taccaagaag agtcctgcc agtcactaga gacaatagga agctaaatca
I tttgattgaa taccaagaag agtcgtcc agtcactaga gacaatagga agctaaataa

S gatctgtcta aaggagcttc caagccccctg ttcctttaat atataggaat tgatgctaca
I gatctgtcta a-ggagcttc caagccccctg ttcctttaat atataggagg tgatgctaca

S ggttagagaag ataaataggt ttcaaattgc ataccttgct agaaaggat tccatgc当地
I ggttagagaag ataaataggt ttcaaattgc ataccttgct agaaaggat tccatgc当地

S agtatctaaa atgaataactg tacaaatatt tcatggttgc actgagcgtg tgcaatctct
I agtatctaaa a----- tacaaatatt tcatggctgc attgagtgtg tgcaatctct

S tatactttc tgatcatagc tgtatcattt agaagtatga gaaagcgata tgagtgctga
I tatactttc tgatcatagc tgtatcttt agaggtatga gaaagtata tgagtgctga

S ggaaagaaaa taaaatgtc agtgagtgtt aagaaggaat taaaaaacac aggaaatgtt
I ggaaagaaaa taaaatgtc agtgagtgtt aagaaggat tgaaaaaacac aggaaatgtt

S tactggta gttaaaaatg ggtctcagag ctgagttca ttcccaacta gctaacatca
I gacttggta gttaaaaata ggtctcagag ctgagttca ttcccaacta gctaacatca

S tcagtgcaagg tgatctctga cctaacaata ttctcttctg ttgcttctcc atctctgatc
I ccagtgcaagg ttatctctga cctaacaata ttctcttctg ttgcttctcc atctctgatc

Exon 4

B		AGGA	CATTTCAAGC	TTCAAAGGGA	GACATACTT	
J		AGGA	TATTTCAAGC	TTCAAAGGGA	GACGTACTT	
S	taccctttc	cactattgtt	ttacgaAGGA	CATTTCAAGC	TTCAAAGGGA	GAC G TACTT
I	a-ccctttc	cac-attgtt	ttac <u>ag</u> AGGA	CATTTCAAGC	TTCAAAGGGA	GACGTACTT
	*****	***	*****	*****	*****	***

B	ATTGAACCCT	TGAAGCTTTC	CAACAGTGAA	GCCCATGCAG	TCTTCAAATA	TGAAAATGTA
J	ATTGAACCCT	TGAAGCTTCC	CGACAGTGAA	GCCCATGCAG	TCTTCAAATA	TGAAAATGTA
S	ATTGAACCCT	TGAAGCTT CC	CG ACAGTGAA	GCCCATGCAG	TCTTCAAATA	TGAAAATGTA
I	ATTGAACCCT	TGAAGCTTCC	CGACAGTGAA	GCCCATGCAG	TCTTCAAATA	TGAAAATGTA
*****	*****	*	*	*****	*****	*****

← P1r

B	CCCATCAAAA AGGCCTCTC
J	CCCATCAAAA AGGCCTCTC
S	CCCATCAAAA AGGCCTCTC
I	CCCATCAAAA AGGCCTCTC

Figura 27. Sequenciamento P1d-P1r. As denominações S e I são provisórias, até a obtenção das sequências definitivas.

O produto da amplificação do par de *primers* P1d – P1rr é ~600 pb (Fig. 28). A banda foi recortada do gel de agarose 1,5%, ligada no plasmídeo *pGEM T-easy Vector* e usado para transformar as bactérias competentes DH-5 α.

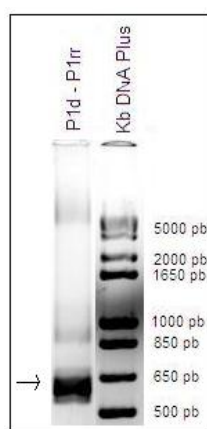


Figura 28. PCR P1d-P1rr. A banda mostrada pela flecha foi recortada, purificada e ligada no plasmídeo.

Os clones de 7 colônias foram analisados por miniprep. O produto das minipreps foi resolvido em gel de agarose 1,0 % e comparado com pUC 19 íntegro (sem inserto). O clone P1d – P1rr col 10 apresentou uma banda menor que os demais, indicando não ter o inserto (Fig. 29).

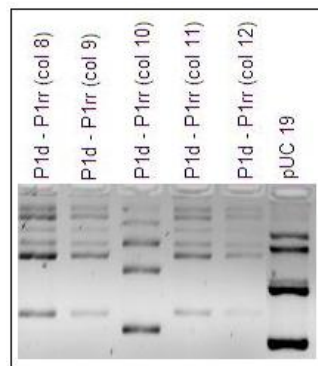


Figura 29. Minipreps P1d-P1rr.

Para confirmar o tamanho dos insertos foi feito um PCR com os *primers* SP6 e T7. A análise do padrão de migração do PCR permitiu identificar os plasmídeos com os insertos desejados (~ 800 pb), exceto o clone P1d - P1rr col 10 (Fig. 30). A

digestão com *Eco RI* confirmou os tamanhos dos insertos observados nos PCRs (Fig. 31).

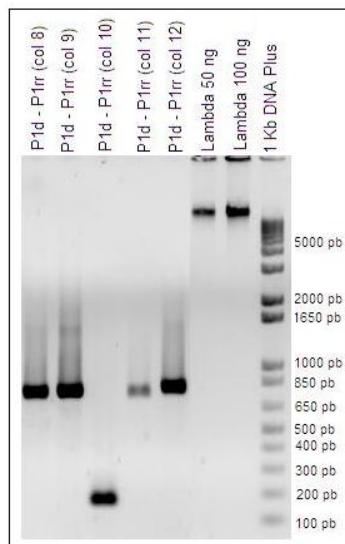


Figura 30. PCR das Minipreps P1d-P1rr.

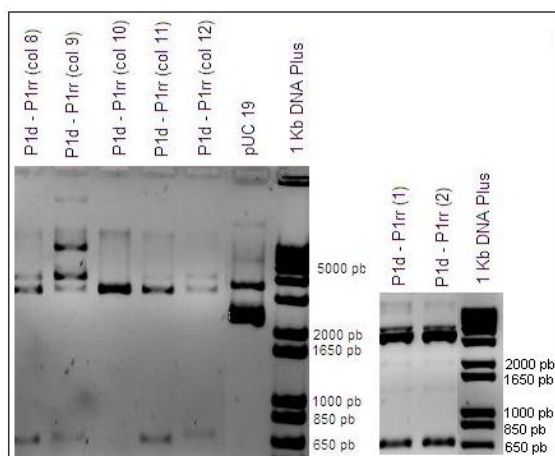


Figura 31. A digestão *Eco RI* P1d-P1rr.

O produto das minipreps dos clones 2, 8 e 9 da região P1d-P1rr foi sequenciado utilizando o primer T7 (direto). O alinhamento gerou o consenso (C) entre os três clones. Notar a sequência doadora universal *gt* em 5' do intron 3 (sublinhado) (Fig. 32).

Exon 3	P1d →	
B	CATGGACGCA TCGAGAATGA	TGCTGACTCA ACTGCAAGCA TCAGTGCATG CAACGGTTTG
J	CATGGACGCA TCGAGAATGA	TGCTGACTCA ACTGCAAGCA TCAGTGCATG CAACGGTTTG
C	CATGGACGCA TCGAGAATGA	TGCTGACTCA ACTGCAAGCA TCAGTGCATG CAACGGTTTG
***** * ***** * ***** * ***** * ***** * *****		
B AA		
J AA Intron 3		
C AAgtaagata gtctctaattc ttttatttat tttattaaga ataatacact ggtcttggag **		
C ttgtcacaga taaaatgagg gacatcagtt tttcaagact tctgcagaat taagaaagac		

Figura 32. Sequenciamento do P1d-P1rr. Confirmação do intron 3.

Os primers P0d localizados no exon 4 e P0rr (no intron) foram úteis para identificar o tamanho do exon presente no pré-domínio e início do catalítico. O exon 4 tem 193 pb. O intron 4 tem 523 pb e 521 pb nas bandas S e I, respectivamente. O exon 5 tem 61 pb. Notar a sequência doadora universal *gt* em 5' dos introns 4 e 5, e receptora *ag* em 3' do intron 4 (sublinhado).

Esta região foi amplificada, clonada e sequenciada pelo aluno de Mestrado Marcelo Moreira Tavares de Souza (Fig. 33).

Exon 4 P0d →

B **GTAGAAAAGG AGGATGAGGC** CCCCAAAATG TGTGGGGTAA CCCAGAATTG GAAATCATAT
J **GTAGAAAAGG AGGATGAGGC** CCCCAAAATG TGTGGGGTAA CCCAGAATTG GAAATCATAT
S **GTAGAAAAGG AGGATGAGGC** CCCCAAA-TG TGTGGGGTAA CCCAGAATTG GAAATCATAT
I **GTAGAAAAGG AGGATGAGGC** CCCCAAAATG TGTGGGGTAA CCCAGAATTG GAAATCATAT

B GAACCCATCA AAAAGGCCTC TCAGTTAGTT GTTACTGCTG AA
J GAACCCATCA AAAAGGCCTC TCAGTTAGCT TTTACTGCTG AA **Intron 4**
S GAACCCATCA AAAAGGCCTC TCAGTTAGTT GTTACTGCTG AAgtaagctc tcataattaaa
I GAACCCATCA AAAAGGCCTC TCAGTTAGTT CTTACTCCTG AAgtaagctc tcataattaaa

S cctgggttga gaacagggat tcataactt gtttctaaaa tataacgtaa gagagaaatt
I cctcggttga gaacagggat tcatttactt gtttctaaaa tataacgtaa gagagaaatt
*** *****
S ctgggtgggg gggtaattag ataatca-ca aagggggaca ccccccattt atatttttt
I ctgggtgggg gggtaattag atagaattca aaaggggagga ccccccattt ctatTTTTT
**** * ***
S attctagcca tggtataaaaa gaaataatgg aaatatgatg aatagaaaaat acatgttcca
I attctagcta tgggataaaaa gaaataatgg gaatatgatg aattgaaaaat ac-tg-tcca
***** * *** *****
S ggattatacg gttttctttg atcatgcaaa gtttagttgg agatttgaat caaaatggag
I ggattatcgc gttt-ctttg atcatgcaaa gtttagttgg agatttgaat caaaatggag
***** * *** *****

Figura 33. Sequenciamento P0dd-P0rr. Sequenciamento do final do Pró-Domínio e início do domínio catalítico. As denominações S e I são provisórias, até a obtenção das sequências definitivas.

5.3 Domínio Catalítico

O Domínio Catalítico é mostrado no box em verde; a sequência sem cor está em processo de sequenciamento. Tendo como base as sequências dos cDNAs, esse domínio é codificado pelos nucleotídeos 639 até 1307 (bothropasina). Os asteriscos mostram identidade de sequência; a falta deles indica divergência entre os cDNAs. Os traços verticais denotam a presença de introns identificados neste trabalho, conforme detalhado abaixo.

		Intron 4	Exon 5 (61 pb)	
Jararagina Bothropasina	← P1r	TGAACCCATCAAAAAGGCCTCTCAGTTAGCTTACTGCTGAA	ACAACAAAGATATGACCC	470
Jararagina Bothropasina		TGAACCCATCAAAAAGGCCTCTCAGTTAGTTGTTACTGCTGAA	ACAACAAAAATAAACCC	660
		*****	*****	
Jararagina Bothropasina		CTACAAATACATTGAGTTTCGCTAGTTGTGGACCAAGGAACCGTCACACAAAAAACATGG		530
Jararagina Bothropasina		CTTCAGATACGTTGAGCTTTCATAGTTGTGGACCAAGGAATGGTCACACAAAAAACATGG		720
		*****	*****	
Jararagina Bothropasina	← P0r P0dr →	CGATTTAGATAAGATAAAAGCAAGAATGTATGAACCTTGCCAACATTGTGAATGAGATTT	intron 6	590
Jararagina Bothropasina		CGATTTAGATAAGATAAAAGCAAGAATGTATGAACCTTGCCAACATTGTGAATGAGATTT		780
		*****	*****	
Jararagina Bothropasina	Exon 7 (parcial - 181 pb)	CAGATACCTGTATATGCATGTAGCACTGGTTGGCCTAGAAATTGGTCCAATGGAGATAA	← P2r	650
Jararagina Bothropasina		AAGATACCTGTATATGCATGCAGCACTGGTTGGCCTAGAAATTGGTCCAATGGAGATAA		840
		*****	*****	
Jararagina Bothropasina	P4d →	GATTACCGTGAAGCCGGACGTGGATTATACTTGAATTCAATTGCAAGAATGGAGAAAAAC		710
Jararagina Bothropasina		GATTACCGTGAAGCCGGACGTGGATTATACTTGAATTCAATTGCAAGAATGGAGAAAAAC		900
		*****	*****	
Jararagina Bothropasina	← P4ir P4irD →	AGATTGCTGACTCGAAAAAACATGATAATGCTCAGTTACTCACAGCAATTGACTTCAA		770
Jararagina Bothropasina		AGATTGCTGACTCGAAAAAACATGATAATGCTCAGTTACTCACAGCAATTGACTTCAA		960
		*****	*****	
Jararagina Bothropasina	P13d →	TGGACCAACTATAGGATATGCTTACATAGGCAGCATGTGCCACCCGAAGCGTTCTGTAGG		830
Jararagina Bothropasina		TGGACCAACTATAGGATATGCTTACATAGGCAGCATGTGCCACCCGAAGCGTTCTGTAGC		1020
		*****	*****	
Jararagina Bothropasina	← P4r	AATTGTTAGGATTATAGCCCATAAAATCTTGTGGTTGCTGTTATAATGGCCCATGAGAT		890
Jararagina Bothropasina		AATTGTTAGGATTATAGCCCATAAAATCTTGTGGTTGCTGTTATAATGGCCCATGAGAT		1080
		*****	*****	
Jararagina Bothropasina	+ P11dR P11d →	GGGTCTATAATTGGCGATTCCATGACACAGGTTCTGTTCTGTTGTTGATTACCCATG	Exon V (parcial - 67 pb)	950
Jararagina Bothropasina		GGGTCTATAATTCTGGCGATTCCATGACACAGGTTCTGTTCTGTTGTTGATTACCCATG		1140
		*****	*****	
Jararagina Bothropasina	intron V	CATTATGGTCCCACGATAAGCAATGAACCTTCGAAATTTCAGCAATTGTAGTTATAT	P9d → ← P11r	1010
Jararagina Bothropasina		CATTATGGTCCCACGATAAGCAATGAACCTTCGAAATTTCAGCAATTGTAGTTATAT		1200
		*****	*****	
Jararagina Bothropasina		CCAATGTTGGACTTTATTATGAATCACAAACCCAGAATGCATTATCAATGAACCTTGGG		1070
Jararagina Bothropasina		CCAATGTTGGACTTTATTATGAAGGAGAACCCACAATGCATTCTCAATGAACCTTGGG		1260
		*****	*****	
Jararagina Bothropasina		AACAGATATTATTTCACCTCCAGTTGTGGAAATGAACCTTTGGAGGTGGGAGAAGAATG	P6d →	1130
Jararagina Bothropasina		AACAGATATTGTGTTCACCTCCAGTTGTGGAAATGAACCTTTGGAGGTGGGAGAAGAATG		1320
		*****	*****	

Foi desenhado o par de *primers* P0dd – P0rr a partir do intron sequenciado na região catalítica. A análise do produto do PCR mostrou 3 bandas, nomeadas 1, 2 e 3, com tamanhos de ~680 pb, ~640 pb, e ~480 pb, respectivamente (Fig. 34).

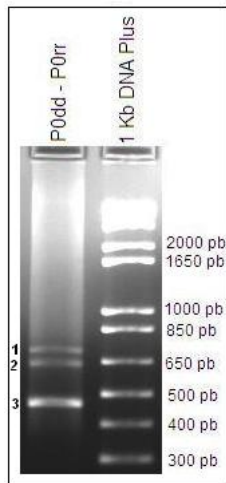


Figura 34. PCR P0dd-P0rr.

As 3 bandas foram recortadas, ligadas em plasmídeos e usadas para transformar as bactérias competentes. Foram analisados 7 clones P0dd – P0rr 1 (banda 1), 6 clones P0dd – P0rr 2 (banda 2) e 2 clones P0dd – P0rr 3 (banda 3) (Fig 35).

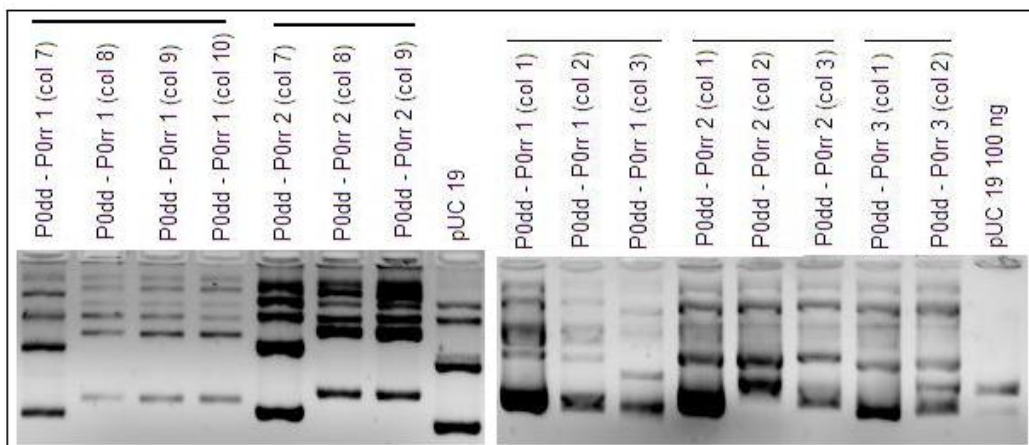


Figura 35. Minipreps P0dd-P0rr. As diferentes colônias foram comparadas com o pUC 19 íntegro.

A análise dos PCRs mostrou que no momento de recortar as bandas houve uma mistura de material entre as 3 bandas, sendo possível visualizar este resultado no PCR. Os clones P0dd – P0rr 1 col 7 e P0dd – P0rr 2 col 7 não tinham inserto (o plasmídeo fechado gera uma banda de 180 pb referente ao próprio plasmídio) (Fig. 36).

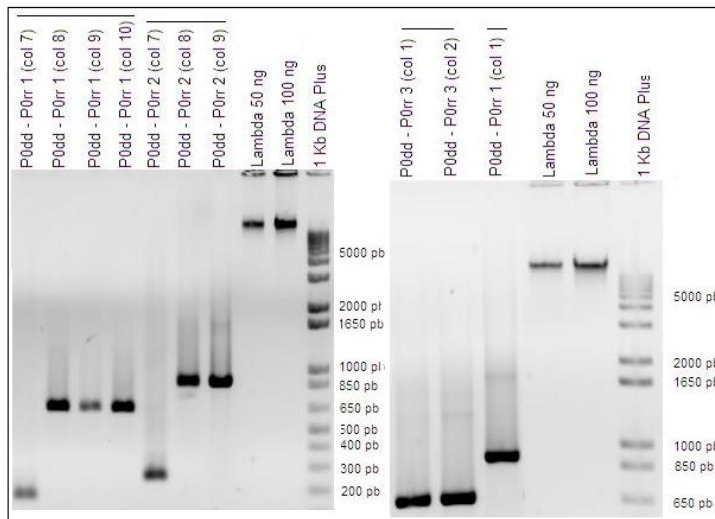


Figura 36. PCR das minipreps P0dd-P0rr.

A digestão com *EcoRI* permitiu separar as bandas pelo tamanho, conforme esperado. Os clones P0dd – Porr 3 col 1 e 2, P0dd – P0rr 1 col 8, 9 e 10 têm o inserto de ~480 pb (correspondente à banda 3). O clone P0dd – P0rr 1 col 2 tem o fragmento de ~640 pb (banda 2); os clones P0dd – P0rr 1 col 1, P0dd – P0rr 2 col 1, 2, 3, 8 e 9 têm a banda de ~680 pb (banda 1). Os clones P0dd – P0rr 1 col 3 e 7, P0dd – P0rr 2 col 7 não têm inserto (Fig. 37).

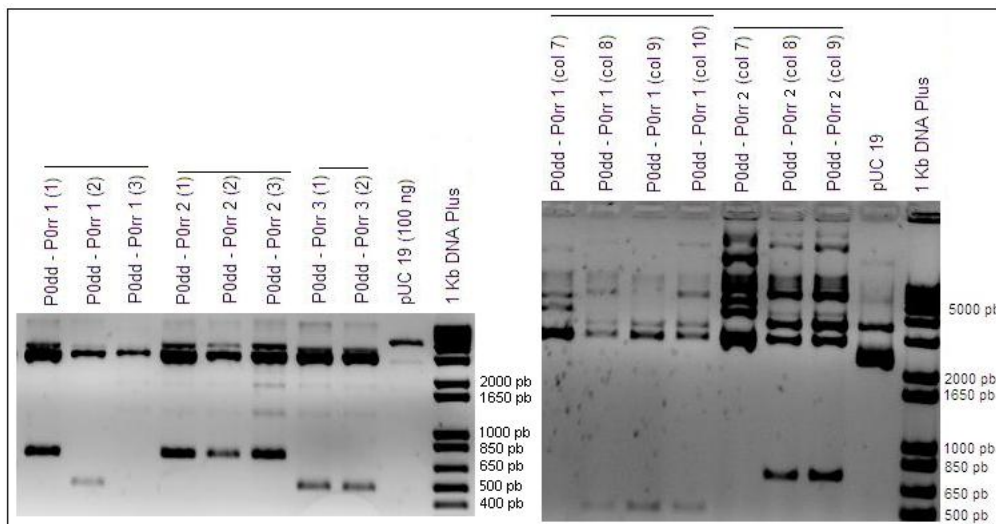


Figura 37. Digestão *EcoRI* P0dd-P0rr.

Foi feito o sequenciamento das 3 bandas obtendo-se os consensos (Cons). O exon 5 tem 61 pb. Para análise do consenso as sequências foram divididas em duas partes: a banda 3, e as bandas 1 e 2 que mostraram ter maior identidade entre si. Os asteriscos indicam a identidade entre as sequências. Notar a sequência receptora universal *ag* em 3' do intron 4, a sequência doadora universal *gt* em 5' do intron 5 (sublinhado) (Fig. 38).

P0dd → **Intron 4**

P0dd-P0rr3- COL1	<u>gtagtttgg agatttgaat</u>
P0dd-P0rr3- COL2	<u>gtagtttgg agatttgaat</u>
P0dd-P0rr3- COL5	<u>gtagtttgg agatttgaat</u>
Cons	*****
P0dd-P0rr2- COL8	<u>gtagtttgg agatttgaat</u>
P0dd-P0rr1- COL8	<u>gtagtttgg agatttgaat</u>
P0dd-P0rr1- COL10	<u>gtagtttgg agatttgaat</u>
Cons	*****
3-C1 caaaatggag ttaaatgaat ctccaaatca	tttcaacttt ctaaatcaat
3-C2 caaaatggag ttaaatgaat ctccaaatca	tttcaacttt ctaaatcaat
3-C5 caaaatggag ttaaatgaat ctccaaatca	tttcaacttt ctaaatcaat
Cons	*****
2-C8 caaaatggag attaaatgaa tctccaaatc	atgtcaactt cctaaatcaa
1-C8 caaaatggag attaaatgaa tctccaaatc	atgtcaactt caaaatcaa
1-C10 caaaatggag attaaatgaa tctccaaatc	atttcaactt tctaaatcaa
Cons	*****
3-C1 ttttaaaaat aatcaaatta tcaatttgg	tcaatttgca tccaaagtga
3-C2 ttttaaaaat aatcaaatta tcaatttgg	tcaatttgca tccaaagtga
3-C5 ttttaaaaat aatcaaatta tcaatttgg	tcaatttgca tccaaagtga
Cons	*****
2-C8 ttttaaaaaa taatcaaatt tcaatttgg	tcaatttgca tccaaagtga
1-C8 ttttaaaaaa taatcaaatt tcaatttgg	tcaatttgca tccaaagtga
1-C10 ttttaaaaaa taatcaaatt tcagtttgg	tcaatttgca tccaaagtga
Cons	*****
3-C1 gagttccttc cttccttcct tcctttgg	ggcaaaagat aaaactgcct
3-C2 gagttccttc cttccttcct ttctttgg	ggcaaaagat gaaactgcct
3-C5 gagttccttc cttccttcct tcctctagg	ggcaaaagat gaaactgcct
Cons	*****
2-C8 gagttccttc cttccttcct ttctttgg	ggcaaaagat gaaactgcct
1-C8 gagttccttc cttccttcct ttctttgg	ggcaaaagat gaaactgcct
1-C10 gagttccttc cttccttcct ttctttgg	ggcaaaagat gaaactgcct
Cons	*****
3-C1 aatacatatc tagaagttca aaatctcact	tttttattt aaatgttaaa
3-C2 aatacatatc tagaagttca aaatctcact	tttttattt aaatgttaaa
3-C5 aatacatatc tagaagttca aaatctcact	tttttattt aaatgttaaa
Cons	*****
2-C8 aatacatatc tagaagttca aaatctc-ct	tttttattt aaatgttaaa
1-C8 aatacatatc tagaagttca aaatctc-ct	tttttattt aaatgttaaa
1-C10 aatacatatc tagaagttca aaatctc-ct	tttttattt aaatgttaaa
Cons	*****
3-C1 attgacatga aacaacagtt tcaacattct	tgttggctgc tgggagcaaa
3-C2 attgacatga aacaacaatt tcaacattct	tgttggctgc tgggagcaaa
3-C5 attgacatga aacaacagtt tcaacattct	tgttggctgc tgggagcaaa
Cons	*****
2-C8 attgacatga aacaacaatt tcaacattct	tgttggctgc tgggagcaaa
1-C8 attgacatga aacaacaatt tcaacattct	tgttggctgc tgggagcaaa
1-C10 attgcacaga aacaacagtt tcaacattct	tgttggctgc tgggagcaaa
Cons	*****

Exon 5 (61 pb)

B	CAA CAAAAATATA ACCCCTTCAG
J	CAA CAAAGATATG ACCCCTACAA
3-C1	caggccttgc tttattgttc tg tttag CAA CAAAGATATA ACCCCGACAA
3-C2	cagccttgc tttattgttc tg tttag CAA CANAGATATA ACCCCTACAA
3-C5	cagccttgc tttattgttc tg tttag CAA CAAAGATATA ACCCCTACAA
Cons	***** *
2-C8	cagcccttgc tttattgttc tg tttag CAA CAAAGATATA ACCCCTACAA
1-C8	cagcccttgc tttattgttc tg tttag CAA CAAAGATATA ACCCCTACAA
1-C10	cagccttgc tttattgttc tg tttag CAA CAAAGATATA ACCCCTACAA
Cons	***** *
 B	ATACGTTGAG CTTTTCATAG TTGTGGACCA AGGAATGG
J	ATACATTGAG TTTTCGTAG TTGTGGACCA AGGAACCG Intron 5
3-C1	ATACGTTGAG TTTTCATAG TTGTGGACCA AGGAATGGta agtaacacctgg
3-C2	ATACGTTGAG TTTTCATAG TTGCAGGACCA AGGAATGGta agtaacacctgg
3-C5	ATACGTTGAG TTTTCATAG TTGTGGACCA AGGAATGGta agtaacacctgg
Cons	**** *
2-C8	ATACGTTGAG TTTTCATAG TTGTGGACCA AGGAATGGta agtaacacctgg
1-C8	ATACGTTGAG TTTTCATAG TTGTGGACCA AGGAATGGta agtaacacctgg
1-C10	ATACGTTGAG TTTTCATAG TTGTGGACCA AGGAATGGta ggtaacacctgg
cons	**** *
 3-C1	atatcttcc attttcttgc tgcatggag ccaaccaata tttacaaagt
3-C2	atatcttcc attttcttgc tgcatggac ccaaccaata tttacaaagt
3-C5	atatcttcc attttcttgc tgcatggag ccaaccaata tttacaaagt
Cons	***** *
2-C8	atatcttcc attttcttgc tgcatggac ccaaccaata tttacaaagt
1-C8	atatcttcc attttcttgc tgcatggac ccaaccaata tttacaaagt
1-C10	atatcttcc attttcttgc tgcatggag ccaaccaata tttacaaagt
Cons	***** *
	← P0rr
3-C1	taagagtcat ttgtaaatat accctaattt gca <u>catttgt tttccatgct</u>
3-C2	taagagtcat ttgtaaatat actctaattt gca <u>catttgt tttccatgct</u>
3-C5	taagagtcat ttgtaaatat actctaattt gca <u>catttgt tttccatgct</u>
Cons	***** *
2-C8	taagagtcat ttgtaaatat actctaattt gca <u>catttgt tttccatgct</u>
1-C8	taagagtcat ttgtaaatat actctaattt gca <u>catttgt tttccatgct</u>
1-C10	taagagtcat ttgtaaatat actctaattt gca <u>catttgt tttccatgct</u>
cons	***** *
 3-C1	tac
3-C2	tac
3-C5	tac
Cons	***
2-C8	tac
1-C8	tac
1-C10	tac
Cons	***

Figura 38. Sequenciamento P0dd-P0rr.

O par de *primers* P0dd, localizado no intron, e P0r, no exon, foi utilizado para definir o tamanho do intron. Esta região foi amplificada, clonada e sequenciada pelo

aluno de Mestrado Marcelo Moreira Tavares de Souza e confirmada neste trabalho. Exon 5 tem 61 pb, o intron 5 tem 546 pb e o exon 6 tem 71 pb. Notar a seqüência doadora universal *gt* em 5' do intron 5, e receptora *ag* em 3' dos introns 4 e 5 (sublinhado) (Fig. 39).

Intron 4 P0dd →

S	<u>gttagtttgg agatttgaat</u>	caaaatggag	ttaaatgaat	ctccaaatca	tttcaacttt
I	<u>ggttagtttgg agatttgaat</u>	caaaatggag	ttaaatgaat	ctccaaatca	tgtcaacttc
*	*****	*****	*****	*****	*****

S	ctaaatcaat	ttttaaaaat	aatcaaatta	tcaatttgga	tcaatttgca	tccaaagtga
I	ctaaatcaat	ttttaaaaat	aatcaaatta	tcaatttgga	tcaatttgca	tccaaagtga
*****	*****	*****	*****	*****	*****	*****

S	gagttccttc	cttccttcct	tcctttgggt	ggcaaaaagat	gaaactgcct	aatacatatc
I	gagttccttc	cttccttcct	ttctttgggt	ggcaaaaagat	gaaactgcct	aatacatatc
*****	***	*****	*	*****	*****	*****

S	tagaagttca	aaatctca	tttt-atta	aaatgttaaa	attgacatga	aacaacagt
I	tagaagttca	aaatctc-ct	tttttattta	aaatgttaaa	attgacatga	aacaacaatt
*****	*****	**	*****	*****	*****	*****

B CAA
J CAA
S tcaacattct tggtggctgc tgggagcaaa cagcctttc ttatgttc tgtagCAA
I tcaacattct tggtggctgc tgggagcaaa cagcccttgc ttatgttc tgtagCAA

Exon 5 (61 pb)

B	CAAAAATATA	ACCCCTTCAG	ATACGTTGAG	CTT	TTCATA	GTTGTGGACC	AGGAATGG
J	CAAAGATATG	ACCCCTACAA	ATACATTGAG	TTT	TTCGTA	GTTGTGGACC	AGGAACCG
S	CAAAAGATATA	ACCCCTACAA	ATACGTTGAG	TTTTTCATAG	TTGTGGACCA	AGGAATGGgt	
I	CAAAGATATA	ACCCCTACAA	ATACGTTGAG	TTTTTCATAG	TTGTGGACCA	AGGAATGGgt	
*****	*****	*****	*	*****	*****	*****	*****

Intron 5

```
S aagtaaacctg gatatcttgc attttcattt ctgcattggacccaaat atttacaaag  
I aagtaaacctg gatatcttgc attttcattt ctgcattggacccaaat atttacaaag  
*****  
*****
```

```
S ttaagagtca tttgtaaata tactctaatt gcacatttg tcttcctgct taccatctaa  
I ttaagagtca tttgtaaata tactctaatt gcacatttg tcttcctgct taccatctaa  
*****  
*****
```

```
S atttatTTTT atccccacacc ggttaaacag ttctgttaggt ttctttgaat cattcatgca  
I atttatTTTT atccccacacc ggttaaacag ttctgttaggt ttctttgaat cattcatgca  
*****  
*****
```

```
S ctctttgttt gtccaaattt tacaacacac gaagaaaaag atgtatagtg aagaatgctt  
I ctctttgttt gtccaaattt tacaacacac gaagaaaaag atgtatagtg aagaatgctt  
*****
```

S atctcacaca tctctgaaca tggaaatata gcatccaatt taggaaagca tttcagtagg
I atctcacaca tctctgaaca tggaaatata gcatccaatt taggaaagca tttcagtagg

Figura 39. Sequenciamento P0dd-P0rr. Sequenciamento parcial do domínio catalítico (continuação). As denominações S e I são provisórias, até a obtenção das sequências definitivas.

Os primers P0dr–P2r encontrados no exon tiveram como produto da amplificação do PCR uma banda de ~750 pb (Fig. 40), indicando a presença de um intron, pois o tamanho esperado era 110 pb.

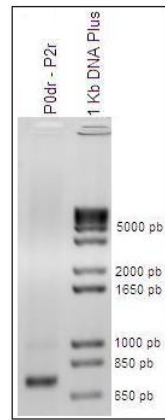


Figura 40. PCR P0dr-P2r.

A banda de interesse foi recortada, purificada e clonada. Os clones foram selecionados, 9 dos quais foram analisados por miniprep e comparados com pUC 19 (Fig. 41).

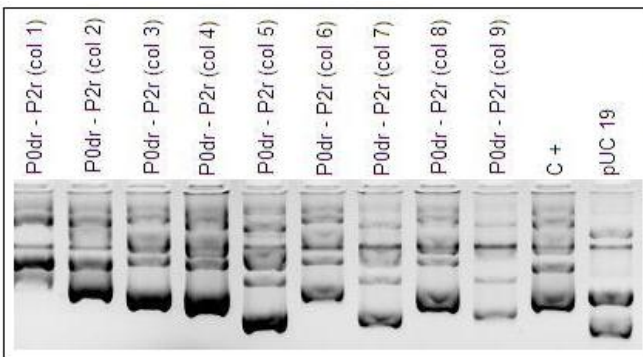


Figura 41. Minipreps P0dr-P2r.

Houve uma grande variação no tamanho dos produtos das minipreps. Para identificar a presença e o tamanho do inserto foi feita PCR. Os clones 4, 7 e 9 não têm inserto; os demais têm inserto do tamanho esperado (Fig. 42).

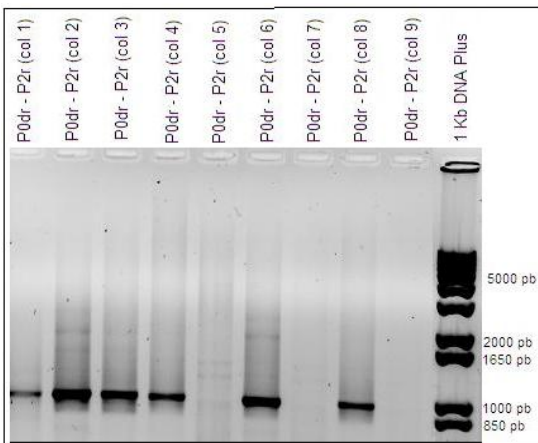


Figura 42. PCR das Minipreps P0dr-P2r.

A digestão com *EcoRI* mostrou duas bandas, de ~450 pb e ~350 pb, indicando existir um sítio *EcoRI* no meio da sequência, pois o tamanho esperado era ~800 pb (Fig. 43).

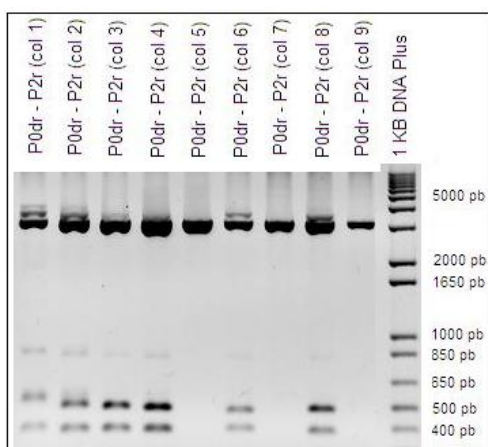


Figura 43. Digestão *EcoRI* P0dr-P2r.

O sequenciamento foi feito a partir do produto das minipreps (Fig. 44). O resultado do sequenciamento confirma o resultado da digestão, pois foi encontrado o sítio *EcoRI* na altura dos 400 pb. O exon 6 tem 69 pb e o intron 6 tem 645 pb na banda superior e de 644 na inferior. Notar a seqüência doadora universal *gt* em 5', e receptora *ag* em 3', do intron 6 (sublinhado).

P0dr → **Exon 6**

B	GAATGTAT GAACTTGCCA AC ATTGTGAA TG
J	GAATGTAT GAACTTGCCA AC ATTGTGAA TG Intron 6
S	GAATGTAT GAACTTGCCA AC ATTGTGAA TG gaggtaaga ggacatggta
I	GAATGTAT GAACTTGCCA AC ATTGTGAA TG gaggtaaga ggacatggta
	***** * ***** * ***** * ***** * ***** * ***** * *****

S aatatatttc agttgtggat tttaaacatc tctcagcccc agccagatt ctcacgtgtt
I aatatatttc agttgttgat tttaaacatc tctcagcccc agccagatt ttcacgtgtt
***** * ***** * ***** * ***** * ***** * ***** * ***** * *****

S cacacaacac acttgttttc ctgcctgagc aaggggttgg actagatgac tccaagg~~tcc~~
I cacacaacac acttgttttc ctgcctgagc aaggggttgg actagatgac tccaagg~~tcc~~
***** * ***** * ***** * ***** * ***** * ***** * *****

S cctctaactt attattatta ttattattat tattattatt attattatta ttattattaa
I cttctaactt attattatta ttattattat tattattatt attattatta ttattattaa
* ***** * ***** * ***** * ***** * ***** * ***** * *****

S gatggatttc tacaagaatg caatcttgc tggctttag agggcaaaa ctagatctt
I gatggatttc tacaagaatg caatcttgc tggctttag agggcaaaa ctagatctt
***** * ***** * ***** * ***** * ***** * ***** * *****

S ggtcagctgg tgatccagca tgtgaggcca tcccagaaaa tggtttattc agtaactagg
I ggtcagctgg tgatccagca tgtgaggcca tcccagaaaa tggtttattc agtaactagg
***** * ***** * ***** * ***** * ***** * ***** * *****

S ttaataagcc tcttatggga atgcagccac tgtgttggga gaacgcagat ccaaaagtga
I ttaataagcc tcttatggga atgcagccac tgtgttggga gaacgcagat ccaaaagtgc
***** * ***** * ***** * ***** * ***** * ***** * *****

Eco RI

S	tgcaagaatt caatcgaact atatctgttag ctggattctt tcaggtcatg gttgatgg t
I	tgcaagaatt caatcgaact atatctgttag ctggattctt tcaggtcatg gttgatgg t
	***** * ***** * ***** * ***** * ***** * ***** * *****

S ccgatcttgg agattagaaa gaggtggaca gagtcagcct attccaagct cagtagatta
I ctgatcttgg agattagaaa gagatggaca gagtcagcct attccaagct cagtagatta
* ***** * ***** * ***** * ***** * ***** * ***** * *****

S tgaaaactgat ctctgagaag aagcctgctt atagaagcca atgtcagttg ct~~ttttaatc~~
I tgaaaactgat ctctgagaag aagcctgctt atagaagcca atgtcagttg ct~~ttttaatc~~
***** * ***** * ***** * ***** * ***** * ***** * *****

S ttgaaatgtt tctcaa~~gtt~~ tacttgagtt tactttgagtt ttctgattga tgccattcc
I ttgaaatgtt tctcaa-gtt tacttgagtt tactttgagtt ttctgattga tgccattcc
***** * ***** * ***** * ***** * ***** * ***** * *****

Exon 7

B	AGA	TTTTCAGATA	CCTGTATATG	CATGCAGCAC	TGGTTGGCCT	AGAAATTGG
J	AGA	TTTTCAGATA	CCTGTATATG	CATGTAGCAC	TGGTTGGCCT	AGAAATTGG
S	acct <u>tagc</u> AGA	TTTTAAGATA	CCTGTATATG	CATGCAGCAC	TGGTTGGCCT	AGAAATTGG
I	acct <u>tagc</u> AGA	TTTTAAGATA	CCTGTATATG	CATGCAGCAC	TGGTTGGCCT	AGAAATTGG
	*****	*****	*****	*****	*****	*****
	← P2r					
B	TCCAATG	GAG ATAAGATTAC CGTGAAG				
J	TCCAATG	GAG ATAAGATTAC CGTGAAG				
S	TCCAATG	GAG ATAAGATTAC CGTGAAG				
I	TCCAATG	GAG ATAAGATTAC CGTGAAG				
	*****	*****	*****	*****	*****	*****

Figura 44. Sequenciamento P0dr-P2r. O sítio *EcoRI* está indicado no box em cinza. As denominações S e I são provisórias, até a obtenção das sequências definitivas.

Os primers P4d–P4ir localizados no exon 7 tiveram como produto da amplificação do PCR uma banda de ~ 130 pb (Fig. 45).

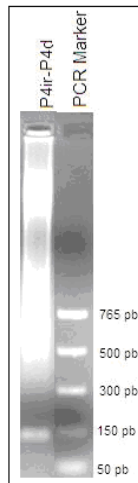


Figura 45. PCR P4d-P4ir.

A análise do PCR indicou não haver presença de intron. A banda foi recortada e clonada. Foram analisados 6 clones por miniprep (Fig. 46).

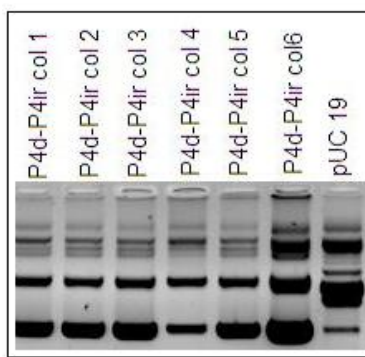


Figura 46. Minipreps P4d-P4ir.

Para identificar os clones com os tamanhos desejados foram feitos os PCRs a partir das minipreps com os *primers* SP6 e T7. Todos os clones apresentaram a banda do tamanho desejado exceto a colônia 10 (Fig. 47).

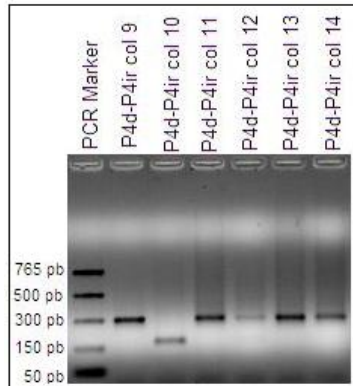


Figura 47. PCR das Minipreps P4d-P4ir.

O sequenciamento de quatro clones a partir de produto das minipreps (Fig. 48) indicou 100% de identidade.

	Exon 7	P4d →	
B	GAGATAAGAT TACCGTGAAG	CCGGACGTGG ATTATACTTT GAATTCA	TTCAGGAA
J	GAGATAAGAT TACCGTGAAG	CCGGACGTGG ATTATACTTT GAATTCA	TTCAGGAA
C	GAGATAAGAT TACCGTGAAG	CCGGACGTGG ATTATACTTT GAATTCA	TTCAGGAA
	*****	*****	*****
			← P4ir
B	GAAAAACAGA TTTGCTGACT CGCAAAAAC ATGATAATGC T	CAGTTACTC ACAGCAATTG	
J	GAAAAACAGA TTTGCTGACT CGCAAAAAC ATGATAATGC T	CAGTTACTC ACAGCAATTG	
C	GAAAAACAGA TTTGCTGACT CGCAAAAAC ATGATAATGC T	CAGTTACTC ACAGCAATTG	
	*****	*****	*****
B	AC		
J	AC		
C	AC		
	**		

Figura 48. Sequenciamento P4d-P4.

Para a amplificação dessa região foram utilizados os primers P11d presente na e P11r. O PCR gerou uma banda ~1.8 Kb indicando a presença de um intron, pois o produto esperado era 108 pb, como mostrado na Fig. 49.

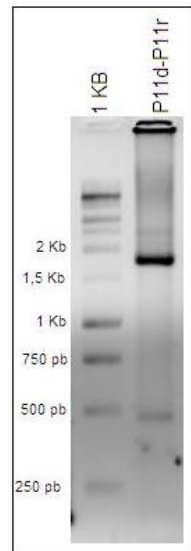


Figura 49. PCR P11d-P11r

A banda de ~1,8 Kb foi recortada do gel e clonada. Foram analisados 6 clones por miniprep. O clone P11d-P11r col 6 não tem inserto; os demais (exceto a col 7) têm inserto. Todos foram comparados ao pUC 19 (Fig. 50).

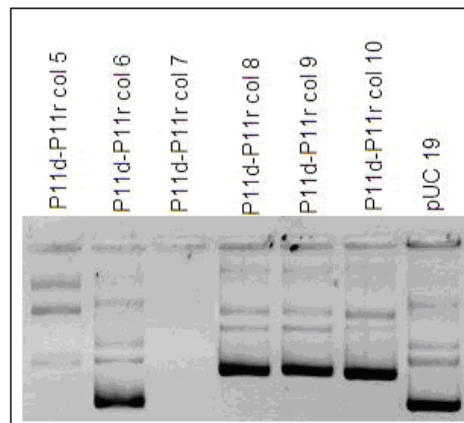


Figura 50. Minipreps P11d-P11rr.

Para confirmar o tamanho do inserto foram feitas digestões com *EcoRI*. Os clones P11d-P11r col. 5, 8 e 9 indicaram a presença de uma banda de ~ 1.8 Kb; a col 10 não apresentou inserto (Fig. 51).

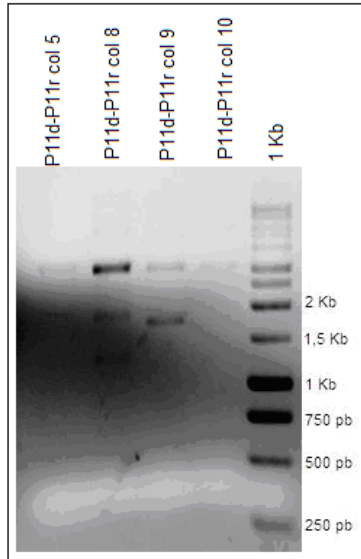


Figura 51. Digestão EcoRI P11d-P11r.

A partir dos clones P11d-P11rr foram feitos *Nested PCRs* com os primers P11dd-P11rr, obtendo sub-clones que foram analisados em conjuntos.

Os sequenciamentos foram feitos a partir dos fragmentos obtidos das minipreps dos clones Pbd–Pbr col 5, 8 e 9 e seus sub-clones, utilizando os *primers* SP6 e T7. Os clones 8 e 9 mostraram completa identidade de sequência, representados pela sequência superior (S). O clone 5 corresponde à sequência inferior (I). O Exon V tem 67 pb (seqüenciamento parcial) em ambas as bandas. O intron v na sequência S tem 1758 pb e na seqüência inferior 1694 pb. Foram identificados 103 pb divergentes entre as sequências (Fig. 52).

P11d → Exon V (parcial - 67 pb)

B	GCATTCATCA	TGACACAGAT	TTCTGTTCTT	GTTGGTGGTTA	CCCATGCATT	ATGGGTCCCG
J	GCATTCATCA	TGACACAGGT	TCCTGTTCTT	GTTGGTGGTTA	CCCATGCATT	ATGGGTCCCG
S	GCATTCATCC	TGACACAGAT	TTCTGTTCTT	GTTGGTGGTTA	CCCATGCATT	ATGGGTCCCG
I	GCATTCATCA	TGACACAGGT	TCCTGTTCTT	GTTGGTGGTTA	CCCATGCATT	ATGGGTCCCG
	*****	*****	*	*****	***	*****
B	GGATAAG					
J	GGATAAG	Intron v				
S	GGATAAG <u>gta</u>	aggattgagg	aaatcttctt	aatgccttc	caatcaagtt	atttttaaat
I	GGATAAG <u>gta</u>	aggattgagg	aaatctt-tt	aatgccttc	caatcaagtt	atttttaaat
	*****	*****	*****	**	*****	*****
S	gcttgcaatt	aattgttcaa	ttaaatatac	tgagcaactt	acaaaaatta	aatggtaggg
I	gcttcagtt	aattgttaaa	ttaaatatac	tgag-aactt	acaaaaatta	aatggtaggg
	****	***	*****	****	*****	*****
S	ggttacaaaa	aaagagggct	ttgaccattt	gtgtgtcagt	ttaccatgtg	tagttaaaat
I	agttacaaaa	aaagagggct	ttggtcattt	gtgtgtcagt	ttaccatgtg	tagttaaaat
	*****	*****	***	*****	*****	*****

S ggctcagtga gcatcccgcc cattgatcaa tttctggttt ctgcggctaa agcccgagga
I ggctcagtga gcatcccgcc tattgatcaa tttctgtttt ctggctaa agcctgaaga

S cttcattgcc tcccattca tgcaaggca aggaggccag gaagtatgga gaatgccacg
I cttcattgcc tcccattca tgcaaggca aggaggccag gaagtatgga gaatgccatg

S tagccttc gtccttcct gaa-ggattt -ccgggcatc atgattcctc ttataactt
I tagccttc gtccttcct aaatggattt gccgggcatc atgattcctc ttataactt

S ctagacactt tgtgggttt tgtacggaag actttgtta ggaaacaatt ttgctca-at
I ctagacactt tatgggttt tgtacagaag actttgcta ggaaacaatt ttgctcatat
***** ← P1lrr
S taaccccgcc aaagggtct ggtgtaactt tgaccttgga agaagaagac catcttgtct
I taaccccaaca aaagggtct ggccggatatt tgaccttgga agaagataac catcttgtct

S **atthaatggc caccag**caga ttctcttgg cgttcgttt tccacccat aacttgagag
I **atthaatggc caccag**caga ttctcttgg tggtcttgg tccatccctt aatttgaggg

S ccaatgatta tattccaat gatttgaatt aacatttagga aggtgcttc ctgggcttat
I ccaatgatta tattccaat gatttgaatt aacatttagga aggtgcttg ctgggcttat

S gatgtcacaa gatgcagctc acaactaata tcacatggag ttctcattgc aaatgtattt
I gatgtcacaa gatgcagctc acaactaata tcacatggag ttctcattgc aaatgtattt

S tgttaaaaaaa gaaaggaaag ttagtggaat taaaactgag ggagtataat ctgggactaa
I tgttagaaaaaa gaaaggaaag ttagtggaat taaaactgag ggagcataat ctgggaccaa

S gatcaagggt tacgaagggt tctcttatct attctgttag cttagagaa aaaaatcact
I gatcaagggt tacgaagggt tctcttatct attttgttag tttagagaa aaaaatcact

S gcatttcttc attagccaac ctttttttc ttatatgttt ttgcaatgaa ttctgttcct
I gcatttcttc attagccatc ctttttttc ttatatgttt ttgcaatgaa ttctgttcct

Exon X (178 pb)
B C AATAACCTT
J C AATAACCTT
S agtccaaata tgggtgatgt catggctta tttgggtca tctccacagC AATAACCTT
I agtccaaata tggatgatgt catggctta ttctgggtca tgtctacagC GATAACCTT

← P11r

B	CGAAATTTT	CAGCAATTGT AGTTATATCA
J	CGAAATTTT	CAGCAATTGT AGTTATATCA
S	CGAAATTTT	CAGCAATTGT AGTTATATCA
I	CGAAATTTT	CAGCAATTGT AGTTATATCA

Figura 52. Seqüenciamento completo P11d-P11r. As denominações S e I são provisórias, até a obtenção das sequências definitivas.

Os *primers* P9d-P9r localizados no exon X tiveram como produto da amplificação do PCR uma banda de ~150 pb (Fig. 53).

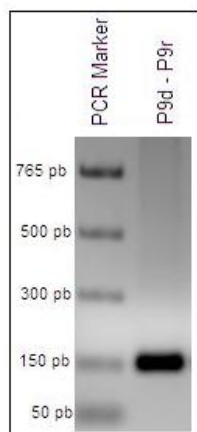


Figura 53. PCR P9d-P9r foi ~150 pb, próximo ao esperado, indicando não possuir intron.

A partir do produto de PCR foi feita a clonagem, tendo sido analisadas 7 colônias pela técnica de miniprep (Fig. 54).

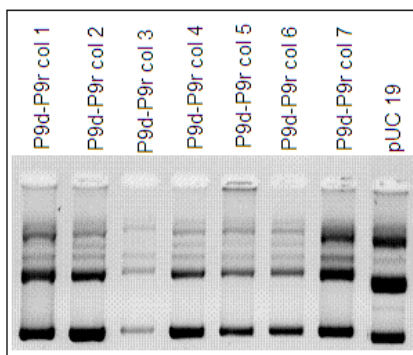


Figura 54. Minipreps P9d-P9r.

Devido à pouca diferença de migração entre o pUC controle e os clones foram feitos PCRs para confirmar a presença de introns. Todas as colônias apresentaram a banda com o tamanho esperado (Fig. 55).

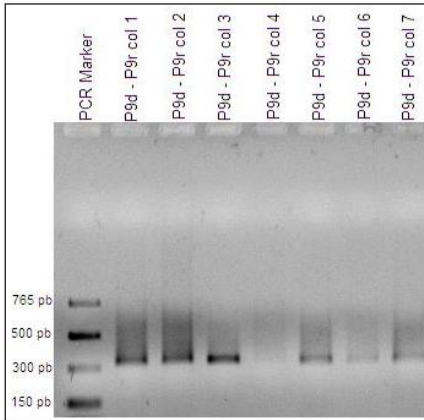


Figura 55. PCR das Minipreps P9d-P9r.

Foram sequenciadas as 7 colônias. A banda S é consenso das colônias 1 e 5; a banda I é o consenso das colônias 2, 3, 4, 6 e 7 (Fig. 56).

Figura 56. Sequenciamento P9d-P9r. As denominações S e I são provisórias, até a obtenção das sequências definitivas.

5.4 Domínio Desintegrina

O domínio desintegrina é mostrado no box azul, compreendendo do nucleotídeo 1308 ao 1586, usando como base o cDNA da bothropasina. Os asteriscos mostram identidade de sequências; a falta deles indica divergência entre os cDNAs da jararagina e bothropasina. As barras verticais indicam presença de introns identificados neste trabalho.

Jararagina Bothropasina	AACAGATATTATTCACCTCCAGTTGTGGAAATGAACCTTGGAGGTGGGAGAAGAATG	P6d →	1320
Jararagina Bothropasina	AACAGATATTGTTCACCTCCAGTTGTGGAAATGAACCTTGGAGGTGGGAGAAGAATG		
Jararagina Bothropasina	← P9r Exon X (178 pb) Intron x Exon W (90 pb)		1380
Jararagina Bothropasina	TGACTGTGGAACTCCTGAAAATTGTCAAAATGAGTGCTGCATGCTGCAACGTGTAACAT		
Jararagina Bothropasina	TGACTGTGGCACTCCTGAAAATTGTCAAAATGAGTGCTGCATGCTGCAACGTGTAACAT		
Jararagina Bothropasina	GAAATCAGGGTCACAGTGTGGACATGGAGACTGTTGTGAGCAATGCAAATTAGCAAATC	Intron w	1440
Jararagina Bothropasina	GAAATCAGGGTCACAGTGTGGACATGGAGACTGTTGTGAGCAATGCAAATTAGCAAATC		
Jararagina Bothropasina	Exon Y (206 pb)	← P7r P12d →	1500
Jararagina Bothropasina	AGGAACAGAACATGCCGGGCATCAATGAGTGAATGTGACCCGGCTGAACACACTGCACGGCCA		
Jararagina Bothropasina	AGGAACAGAACATGCCGGGCATCAATGAGTGAATGTGACCCGGCTGAACACACTGCACGGCCA		
Jararagina Bothropasina	ATCTTCTGAGTGTCTGCAGATGTCTTCCATAAGAACATGGACAACCAGCCTAGATAACTA	← P12r	1560
Jararagina Bothropasina	ATCCTCTGAGTGTCTGCAGATGTCTTCCATAAGAACATGGACAACCAGCCTAGATAACTA		
Jararagina Bothropasina	CGGTTACTGCTACAATGGGATTGCCCATCATGTATCACCAATGTTATGCTCTCTTGG	P10d →	1620
Jararagina Bothropasina	CGGTTACTGCTACAATGGGATTGCCCATCATGTATCACCAATGTTATGCTCTCTTGG		

Para amplificar o início desta região foram utilizados os *primers* P6d – P6r (Fig. 57), obtendo-se 2 bandas com mais de 1 Kb que foram nomeadas 1 e 2, indicando a presença de um intron, pois o produto esperado era de 106 pb.

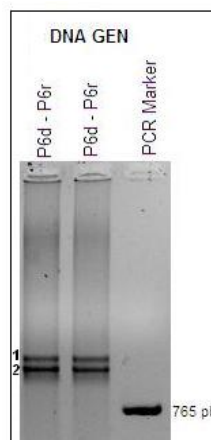


Figura 57. PCR P6d-P6r.

As bandas foram recortadas juntas, purificadas e clonadas. Os clones foram analisados após miniprep, e comparados com pUC 19 íntegro (Fig. 58).

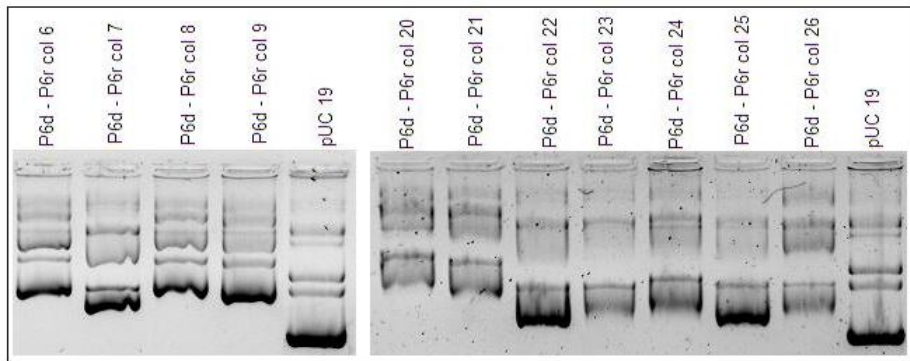


Figura 58. Minipreps P6d-P6r.

Foram feitos PCRs utilizando os *primers* SP6 e T7. Os clones P6d–P6r col 6, 8, 9, e 20 têm o inserto correspondente à banda 2. O clone P6d–P6r col 21 apresentou uma banda na altura de 1 Kb, correspondente à banda 1 (Fig. 59).

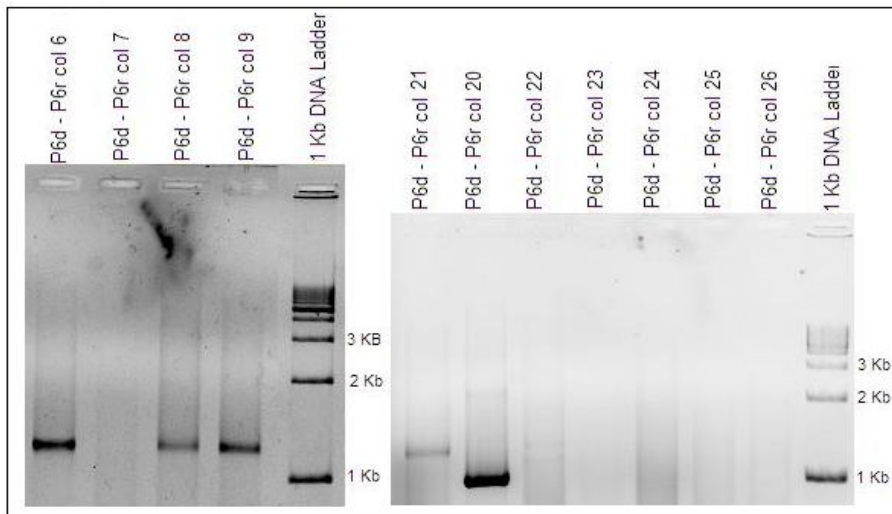


Figura 59. PCRs das Minipreps P6d-P6r.

A digestão com *Eco*RI (Fig. 60) confirmou o resultado do PCR. Os clones P6d–P6r col 6, 8, 9 e 20 mostraram ter o inserto correspondente à banda 2. Os clones P6d–P6r col 21, 24, 25 e 26 contêm a banda 1. Os demais clones não tinham inserto.

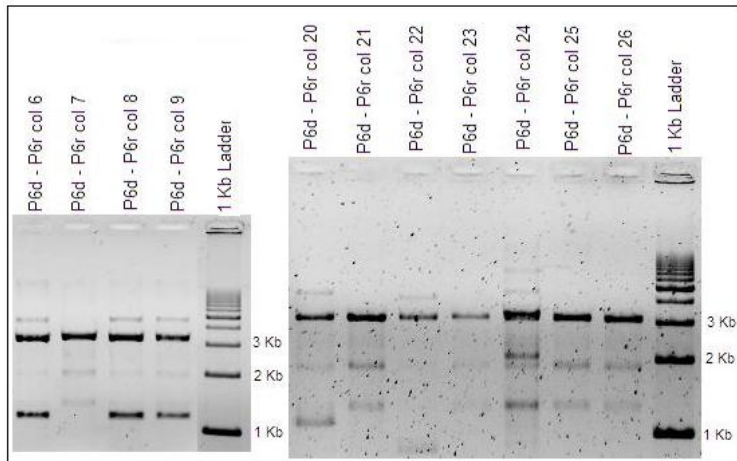


Figura 60. Digestão EcoRI P6d-P6r.

Foram sequenciados 2 clones de cada banda (Fig. 61). Os clones P6d – P6r col 6 e 8 continham inserto referente à banda superior (S) com 1055 pb. Os clones P6d – P6r col 21 e 24 correspondem à banda inferior (I) com 826 pb. Notar a sequência doadora universal *gt* em 5', e receptora *ag* em 3' do intron x (sublinhado).

	Exon X	P6d →
B	GAATGTGACT GTGGCACT CC	TGAA
J	GAATGTGACT GTGGAACT CC	TGAA intron x
S	GAATGCGACT GTGGCACT CC	TGA <u>A</u> gtaa <u>g</u> t <u>a</u> tttttaa aaaaat <u>c</u> aac aagaat <u>a</u> tgc
I	GAATGTGACT GTGGCACT CC	TGA <u>A</u> gtaa <u>g</u> t <u>a</u> tttttaa aaaaat <u>c</u> aac aagaat <u>a</u> tgc
	*****	*****
S	agaattttct caaaaatggg	aatccttgaa aaatcac <u>c</u> tg gctttgt <u>a</u> ag tggttg <u>g</u> agc
I	agaattttct caaaaatggg	aatccttgaa aaatcac <u>c</u> tg gctttgt <u>a</u> ag tggttg <u>g</u> agc
	*****	*****
S	catccaaaag gtcaatctgt	gaatggcata gattt <u>gt</u> gt <u>g</u> tc ct <u>tt</u> atgtac at <u>gc</u> atgt <u>t</u>
I	catccaaaag gtcaatctgt	gaatggcata gattt <u>gt</u> gt <u>g</u> tc ct <u>tt</u> atgtac at <u>gc</u> atgt <u>t</u>
	*****	*****
S	gaagggg ttt cttggatt <u>tt</u> g	gcta <u>at</u> c <u>ag</u> t t <u>gt</u> u <u>u</u> agg <u>aa</u> t <u>gg</u> aga <u>act</u> g g <u>t</u> at <u>c</u> t <u>c</u> t <u>c</u> t
I	gaagggg ttt cttggatt <u>tt</u> g	gcta <u>at</u> c <u>ag</u> t t <u>gt</u> u <u>u</u> agg <u>aa</u> t <u>gg</u> aga <u>act</u> g g <u>t</u> at <u>c</u> t <u>c</u> t <u>c</u> t
	*****	*****
S	accattt <u>gg</u> a ga <u>ag</u> acc <u>ac</u> a	t <u>at</u> tttt <u>tt</u> aa a <u>at</u> gg <u>gt</u> at tg <u>ac</u> ca <u>c</u> t <u>cc</u> a <u>ag</u> aaa <u>at</u> cc
I	accattt <u>gg</u> a ga <u>ag</u> acc <u>ac</u> a	t <u>at</u> tttt <u>tt</u> aa a <u>at</u> gg <u>gt</u> at tg <u>ac</u> ca <u>c</u> t <u>cc</u> a <u>ag</u> aaa <u>at</u> cc
	*****	*****
S	tt <u>c</u> tt <u>c</u> ct <u>g</u> aaa <u>act</u> ccc <u>a</u>	t <u>tt</u> tt <u>gt</u> gt <u>at</u> at <u>gg</u> cc <u>ac</u> at t <u>at</u> ct <u>gt</u> ccc <u>cc</u> act <u>at</u> tt <u>t</u> ct
I	tt <u>c</u> tt <u>c</u> ct <u>g</u> aaa <u>act</u> ccc <u>a</u>	t <u>tt</u> tt <u>gt</u> gt <u>at</u> at <u>gg</u> cc <u>ac</u> at t <u>at</u> ct <u>gt</u> ccc <u>cc</u> act <u>at</u> tt <u>t</u> ct
	*****	*****
S	tg <u>ag</u> cc <u>ac</u> tt t <u>c</u> tt <u>cc</u> ata <u>aa</u>	ct <u>g</u> att <u>at</u> ct t <u>t</u> aat <u>ct</u> at <u>g</u> ct <u>ct</u> gt <u>at</u> c <u>c</u> t a <u>at</u> aa <u>at</u> at <u>tt</u>
I	tg <u>ag</u> cc <u>ac</u> tt t <u>c</u> tt <u>cc</u> ata <u>aa</u>	ct <u>g</u> att <u>at</u> ct t <u>t</u> aat <u>ct</u> at <u>g</u> ct <u>ct</u> gt <u>at</u> c <u>c</u> t a <u>at</u> -----
	*****	*****
S	a <u>at</u> aa <u>ga</u> aca g <u>t</u> aa <u>tt</u> aca	t <u>tt</u> act <u>ca</u> at g <u>gt</u> cat <u>gt</u> aa g <u>at</u> gt <u>ag</u> aa <u>t</u> ag <u>cc</u> cc <u>gc</u> aga
I	-----	-----

```

S agcaatgggg catggcaaac atctcaagaa gaacacccctcc caccattct cttggcttat
I -----
S aaagatgagg tggtagaaat atactttcag tattgaaaga ttttctaca gtcacacctac
I -----
S aatcaggta atgttaatac tcattgggtgg tgcttcttct ctggactctc aaaggctggc
I ----- ----- ----- -tgattct- aaaggctggc
* * * * * ***** * * * * *
S atgattacga gaaaatttct catgaataag aaaggattgg ggctgtaagt tacgtggct
I atgattatga gaaaattttt catgaataag aaaggattgg ggctgtaagt tacgtggct
***** * * * * * * * * * * * * * * * * * * * * * * * * * * *
S tcacaattag gaaatgagga tattttgtt ttattcttgt cagagggaaa tatcaggtaa
I tcacaattag gaaatgagga tattttgtt ttattcttgt cagagggaaa tatcaggtaa
***** * * * * * * * * * * * * * * * * * * * * * * * * * * *
S ggctcttct cagagagatg tcattatctg tggcaataac aaacaatttg tgcatttgct
I ggctcttct cagagagatg tcattatctg cggcaataac aaacaatttg tgcatttgct
***** * * * * * * * * * * * * * * * * * * * * * * * * * * *
S agcatgaacc cataagaggg aacacattgc agaaatgtct tttccttga caattccct
I agcatgaacc cataagaggg aacacattgc agaaatgtct tttccttga cagttccct
***** * * * * * * * * * * * * * * * * * * * * * * * * * * * * *
S cttcaaaata caccaataaa aaaagaccag atagaaaatt ctctgtcatc atttgatatg
I cttcaaaata caccaataaa aaaagaccag gtagaaaatt ctctgacatc atttgatacg
***** * * * * * * * * * * * * * * * * * * * * * * * * * * * * *
Exon W (90 pb)
B AATTGTC AAAATGAGTG CTGCGATGCT GCAACGTGTA AACTGAAATC
J AATTGTC AAAATGAGTG CTGCGATGCT GCAACGTGTA AACTGAAATC
S ttttggtttt cagAATTGTC AAAATGAGTG CTGCGATGCT GCAACGTGTA AACTGAAATC
I ttttggtttt cagAATTGTC AAAATGAGTG CTGCGATGCT GCAACGTGTA AACTGAAATC
***** * * * * * * * * * * * * * * * * * * * * * * * * * * * * *
← P6r P7d →
B AGGGTCACAG TGTGGCATG GAGACTGTTG TGAGC
J AGGGTCACAG TGTGGCATG GAGACTGTTG TGAGC
S AGGGTCACAG TGTGGCATG GAGACTGTTG TGAGC
I AGGGTCACAG TGTGGCATG GAGACTGTTG TGAGC
***** * * * * * * * * * * * * * * * * * * * * * * *

```

Figura 61. Sequenciamento P6d-P6r. As denominações S e I são provisórias, até a obtenção das sequências definitivas.

Para amplificação foram utilizados os primers P7d – P7r, obtendo-se somente uma banda, com mais de 1 Kb, indicando a presença de um intron, pois o produto esperado era de 76 pb (Fig. 62).

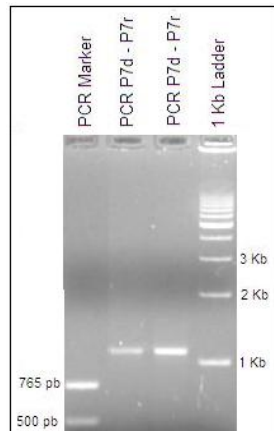


Figura 62. PCR P7d-P7r.

O produto de PCR foi ligado ao plasmídeo e usado para transformar as bactérias competentes. Os clones foram analisados por miniprep (Fig. 63). Os clones P7d – P7r col 4, 5 e 6 foram comparados com pUC 19 íntegro confirmando a presença do inserto.

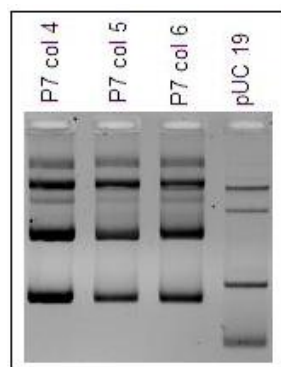


Figura 63. Minipreps P7d-P7r

O inserto foi identificado por PCR utilizando os *primers* SP6 e T7. Os clones P7d – P7r col 4, 5 e 6 apresentam a banda de tamanho esperado (Fig. 64).

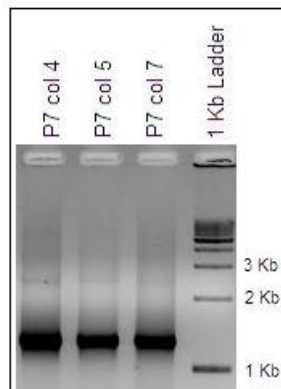


Figura 64. PCR das minipreps P7d-P7r.

Os sequenciamentos foram feitos a partir das minipreps. O Consenso (C) dos 3 clones P7d- P7 mostrou 100 % de identidade. Foi identificado um intron de 1022 pb, e o tamanho do Exon W foi definido, 90 pb. Notar a seqüência doadora universal *gt* em 5', e receptora *ag* em 3' do intron y (sublinhado) (Fig. 65).

P7d → **Exon W (90 pb)**

B CATGGAGACT GTTGTGAGCA ATGCAAA
J CATGGAGACT GTTGTGAGCA ATGCAAA **Intron w**
C CATGGAGACT GTTGTGAGCA ATGCAAgta agacttgttt atgttaaca ccaggagaga

C ttttattctg ctccatacta gccatacaga aatggctgtt tactaaccct cttcctctcc
C ctttcttcca gtttatttta cccttatgaa catatccata ggaaagataa tttaacaaaa
C tttcagcctt gtctcaatct caaatgcact cttcagcat gttaaaacgt atctgtgaaa
C ataatatatt tcttctttga ctgagattgc atggaaaccc agttaaaca aggataggca
C atatttgaga ttgggtgccct aactcagctt cctgactttc tggaaagcttc taagaggtcc
C ctggtaatgc tgtgacattt tcttctctga gccttttagg atggaaatag gtgcaggaga
C cttctggaag taaagttgct ttttccccca ccttaagttc tctacctgct ctctaaaagc
C tctaaattca ggtgtttga tggctgcagg accatgaaaa gagaggtgca agttactcat
C tgcttcttcc tatgtgggat cccagttgac tctgtaatga acttttgag cagagtggcc
C caaaacattt tgttatttcc atatttccat cacaaggcta gattcacaac aagagaaggg
C aaccacatgt tttcagcat gagacagaaa atgctatgaa tgcttcttcc catgtaaaga
C aataaaatac atcatgagat gttcagcaat tcacttttg ctgctttac atgacagccc
C acttgatttt cccttatgg tcagccaaca ggtagaactt gtcttcagg aattgaggct
C ttcattgcat tcatttcccc acagcaaata agacagagtg ggacttctag gccccacaca
C gagttgtgc agggaaaggga tgccttgctt ggtgatcctc aagacagatg aagaggaggt
C tttgaaatgt gttgtgaacc atggtttgac tcttgatct ctgctgctga agagtatag

Exon Y
B T TAGCAAATC AGGAACAGAA TGCCGGGCAT
J T TAGCAAATC AGGAACAGAA TGCCGGGCAT
C ctgggagtat tttgattct cacccacagT TTAGCAAATC AGGAACAGAA TGCCGGGCAT
* *****
← P7r
B CAATGAGTGA ATGTGACCCG GCTGAACACT GCAC~~TGG~~
J CAATGAGTGA ATGTGACCCG GCTGAACACT GCAC~~TGG~~
C CAATGAGTGA ATGTGACCCG GCTGAACACT GCAC~~TGG~~

Figura 65. Seqüenciamento P7d-P7r.

Para amplificação desta região foram utilizados os *primers* P12d – P12r, obtendo-se uma banda de tamanho esperado 170 pb, indicando não possuir intron (Fig. 66).



Figura 66. O produto do PCR P12d-P12r.

O produto da amplificação com os *primers* P12d – P12r foi recortado, ligado no plasmídeo e usado para transformar as bactérias competentes *E. coli* DH-5 α . Os 2 clones foram analisados por miniprep (Fig. 67).

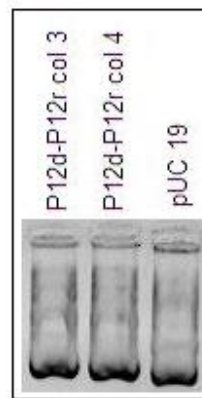


Figura 67. Minipreps P12d-P12r.

Para confirmar a presença do inserto foi feito PCR com os *primers* SP6 e T7 (Fig. 68).

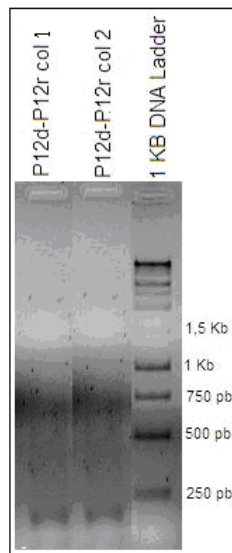


Figura 68. PCR das minipreps P12d-P12r. Confirmação da presença e tamanho do inserto.

As duas colônias P12d-P12r foram sequenciadas (Fig. 69). O consenso mostrou identidade com as seqüências da bothropasina (B), e jararagina (J), exceto por um C (cisteína) que está presente no cDNA da bothropasina.

P12d → Exon Y	↔	P12r
B <u>GGCTGAACAC TGCACTGGCC</u> AATCCTCTGA GTGTCCTGCA GATGTCTTCC ATAAGAATGG		
J <u>GGCTGAACAC TGCACTGGCC</u> AATCTTCTGA GTGTCCTGCA GATGTCTTCC ATAAGAATGG		
C <u>GGCTGAACAC TGCACTGGCC</u> AATCCTCTGA GTGTCCTGCA GATGTCTTCC ATAAGAATGG	*****	*****

B ACAACCATGC <u>CTAGATAACT ACGGTTAC</u>	↔	P12r
J ACAACCATGC <u>CTAGATAACT ACGGTTAC</u>		
C ACAACCATGC <u>CTAGATAACT ACGGTTAC</u>		

Figura 69. Sequenciamento P12d-P12r.

5.5 Domínio Rico em Cisteína

O domínio rico em cisteína é mostrado no box rosa, compreendendo do nucleotídeo 1587 ao 1899. A região sem cor está em processo de análise (base o cDNA da bothropasina). Os asteriscos mostram identidade de seqüências; a falta deles indica divergência entre os cDNAs.

		Exon Y (206 pb)	P10d →	
Jararagina Bothropasina		CGGTTACTGCTACAATGGGAATTGCCCATCATGTATACCAATGTTATGCTCTCTTTGG		1430
		CGGTTACTGCTACAATGGGAATTGCCCATCATGTATACCAATGTTATGCTCTCTTTGG		1620
	Intron y	Exon Z (238 pb)		
Jararagina Bothropasina		TGCAGATGTTATGAGGCTGAAGATTGCTCAAAGATAACCAGAAAGGCAATTATTA		1490
		TGCAGATGTTATGAGGCTGAAGATTGCTCAAAGATAACCAGAAAGGCAATTATTA		1680
Jararagina Bothropasina			P8d → ← P10r	1550
		TGGCTACTGCAGAAAGGAAAATGGTAAAAAGATTCATGTGCACCAGAAGATGTAAAATG		1740
		TGGCTACTGCAGAAAGGAAAATGGTAAAAAGATTCATGTGCACCAGAAGATGTAAAATG		
Jararagina Bothropasina			← P8idR P8id →	1610
		TGGCAGGTTATACTCCAAAGATAATTCCACCTGGACAAAATAATCCTTGCAAGATGTTCTA		1800
		TGGCAGGTTATACTCCAAAGATAATTCCACCTGGACAAAATAATCCTTGCAAGATGTTCTA		
Jararagina Bothropasina			← P8r P5d →	1670
		TTCCAACGATGATGAACATAAGGGATGGTTCTTCCTGGAACAAAATGTGCAGATGGAAA		1860
		TTCCAACGATGATGAACATAAGGGATGGTTCTTCCTGGAACAAAATGTGCAGATGGAAA		
	Intron z	Exon K (36 pb)		
Jararagina Bothropasina		GGTGTGCAGCAACGGGCATTGTGTTGATGTGGCTACAGCCTACTAGTCACACCTCTGGCTT		1730
		GGTGTGCAGCAACGGGCATTGTGTTGATGTGGCTACAGCCTACTAGTCACACCTCTGGCTT		1920

Os primers utilizados para amplificar o início do domínio rico em cisteína foram P12d, localizado no final do domínio desintegrina, e P10r. O fragmento esperado era de 251 pb, mas o produto de amplificação foi ~2 Kb, indicando a presença de um intron (Fig.70).



Figura 70. PCR P12d-P10r.

A banda foi recortada e clonada. Os clones foram analisados por miniprep e comparados com pUC 19 (Fig. 71).

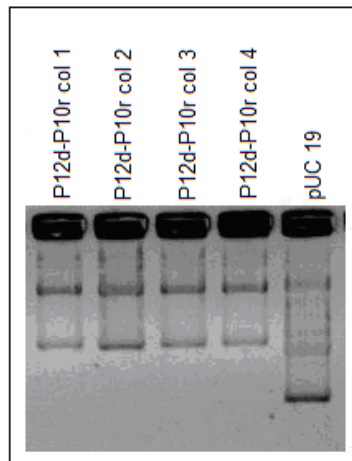


Figura 71. Minipreps P12d-P10r.

Os 4 clones foram encaminhados para seqüenciamento: P12d-P10d col 1, 2, 3 e 4 (Fig. 72). Foi delimitado o intron y com 1835 pb. Notar a seqüência doadora universal *gt* em 5', e receptora *ag* em 3' do intron y (sublinhado).

P12d → Exon Y (206 pb)

B	GGCTGAACAC TGCACTGGCC	AATCCTCTGA GTGTCCTGCA GATCTCTTCC ATAAGAATGG
J	GGCTGAACAC TGCACTGGCC	AATCTTCTGA GTGTCCTGCA GATCTCTTCC ATAAGAATGG
C	GGCTGAACAC TGCACTGGCC	AATCCTCTGA GTGTCCTGCA GATGTCTTCC ATAAGAATGG
	*****	*****

B	ACAACCATGC CTAGATAACT ACGGTTACTG CTACAATGGG AATTGCCCCA TCATGTATCA
J	ACAACCATGC CTAGATAACT ACGGTTACTG CTACAATGGG AATTGCCCCA TCATGTATCA
C	ACAACCATGC CTAGATAACT ACGGTTACTG CTACAATGGG AATTGCCCCA TCATGTATCA

B	CCAATGTTAT GCTCTCTTG GTGCAG
J	CCAATGTTAT GCTCTCTTG GTGCAG Intron y
C	CCAATGTTAT GCTCTCTTG GTGCAG <u>gtaa</u> gtcaacctta ggatttcaga atagtggtgt

C	tataaaaagat taagacagtc attgccattta atgaaagata ttttctcatt tgcattccata
C	ataaatcatc attagatttc ttttctataa ctgagttga aggaaccttg gaggtcttct
C	agtccacctc cctgctcaag caggaaggct tataccattt ccaatctctt cttaaaaaa
C	cctccagtgt tgAACACCCC agaacttctg aaggctttt ccagaaagaa tattttttt
C	taagattaaa gcctccattc tttgttaagct ttagagccca gagatggact ttgggggaag
C	gatgcttttgc tgagttattc atacgttccc aaattggaga aagatctgag ccactcttaa
C	tgaaagataa tgtaaattga acatggact atgcgctaag agtattcaaa cctgcaactg
C	aagttttcct tacatttggc cataataant gaagaacaga tggtgggggg ttgtcatt <u>ct</u>
	Pydd →
C	<u>tacattgaca ctcgtcat</u> tt aatgcagtct atacaaaatt tcagcatgca ttttaatgcc

C agtctattac aaattttcag catggttta tattgaaaaa gaaactgaaa tactgcacac
 C aatatttcca aagcattata aagtggact aacacttcat gtaatcttga ttttatccct
 C ctgttagtgt agcctaatta tagtgtaaaa cgattctgcc actattgcaa aagtgttagcc
 C tagattatgt gggattttt gcagttgcaa cacactgctg gctcttattt aagtgattgt
 C ccactagggc tccaagattc ctctcacagt tactaatatt gagccaggtt tcacctttc
 C tgtgtatttg tttttcttt cctgaatgta gattggttt gtttttact ttttcgctag
 C aaatttaatt ttcttagatt gggctcaatg ttcaaaagat ccttgtggat ccttaagcct
 C atcttctgga gagattgcta ttcctgccag tatgggtttc tctgcaaatt tattgagttc
 C cccttccacc ctcttgtcta aattgttat gaagggtcag gtatcatgtg atgaagattg
 C ggaatctgaa ttacaaatca gaacgttgct caacttgcatt gattaattga tcaattgtta
 C ttttgatcag gtaaatagca taaatgaggt aacattccaa agaatacgaa aagctcagta
 C ctttgcagt aatccaattt tattcaaaga ggtttgcctt caggaatttga caggtctcaa
 C actaagaatg acacatgatg gttatctca agctgaattt cttcttgattt cattcctata
 C gtcaaaatct tgccagataa ggactctact aattggcttt tacagttacc ctctgtaaac
 C tattaggag ggagaggtcg tcaccctttt tttctcacac tttatatcca ggcagagttg
 C cctctgactc ctctggattt cacccttccc ttctggaaat gcatttcttc acggcattcc
 C agcacaggaa tgtacccatg atagagctaa agttgaaaaa tgtggacaca gaaagaaatc
 C tggattcaga ttcccctaca gtcattgatt taccacatgg tcttctgcaa gttgcattgt
 C agtgacttca gctttgtgtc cataaaatag aataagcaag ttttagtgaa cactgtatgc
 C gatagtgaaa gttcataat gaggaatagt taaataagta agtcaatatt aactaaattt
 C tttagaacac ctctgaaatc acttttagcca ttcttttcc tgctggcatg ttacacattc

Exon H

B	ATGTT TATGAGGCTG AAGATTCATG
J	ATGTT TATGAGGCTG AAGATTCATG
C	atgtatttgcttgggttcct cactccctct tacag <u>ATGTT TATGAGGCTG AAGATTCATG</u> ***** ***** ***** *****
B	CTTCAAAGAT AACCGAGAAAG GCAATTATTA TGGCTACTGC AGAAAGGAAA ATGGTAAAAA
J	CTTCAAAGAT AACCGAGAAAG GCAATTATTA TGGCTACTGC AGAAAGGAAA ATGGTAAAAA
C	CTTCAAAGAT AACCGAGAAAG GCAATTATTA TGGCTACTGC AGAAAGGAAA ATGGTAAAAA ***** ***** ***** ***** ***** *****

← P10r

B	GATTCCATGT	GGACCAGAAG
J	GATTCCATGT	GCACCAGAAG
C	GATTCCATGT	GCACCAGAAG

Figura 72. Sequenciamento parcial do Exon H. Em negrito e grifado estão os *primers* utilizados para amplificação.

Foram utilizados para amplificação os *primers* P8id-P8r, resultando em um produto de PCR esperado de ~140 pb, indicando não possuir intron (Fig. 73).

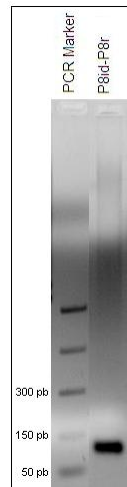


Figura 73. PCR P8id-P8r.

O produto de PCR foi ligado em um plasmídeo e inserido em bactérias competentes *E. coli* DH 5 α . Os clones foram analisados por miniprep (Fig. 74).

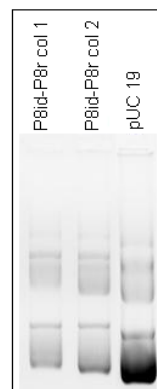


Figura 74. Minipreps P8id-P8r.

A presença do inserto nos clones P8id-P8r foi confirmada por PCR com os *primers* SP6 e T7 (Fig 75).

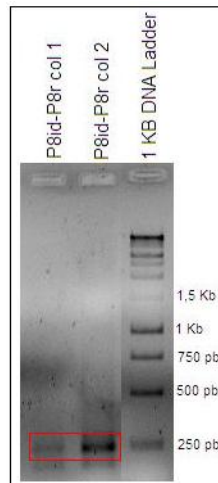


Figura 75. PCR das minipreps P8id-P8r.

O sequenciamento P8id-P8r referente aos 2 clones analisados mostrou 100 % de identidade entre eles. Alguns pontos de mutação foram observados em relação às sequências da bothropasina (B) e da jararagina (J) (Fig. 76).

P8id → Exon Z	
B GCAAAGATAA TTCACCTGGA	CAAAATAATC CTTGCAAGAT GTTCTATTCC AACGATGATG
J GCAAAGATAA TTCACCTGGA	CAAAATAATC CTTGCAAGAT GTTCTATTCC AACGATGATG
C GCAAAGATAA TTCACCTGGA	CAAAATGATC CTTGCAATTA CTACTATTCA TCCAGGCATG
*****	*****
← P8r	
B AACATAAGGG AATGGTT CTT CCTGGAACAA AATGTGC	
J AACATAAGGG AATGGTT CTT CCTGGAACAA AATGTGC	
C AAAATAAGGG AATGGTT CTT CCTGGAACAA AATGTGC	
***	*****

Figura 76. Seqüenciamento P8id-P8r.

Para amplificar o final desta região foram utilizados os primers P5d, presente no domínio rico em cisteína, e P5r, localizado no início da região 3'-não-traduzida. O produto do PCR esperado era de 161 pb, mas o PCR apresentou 3 bandas, nomeadas de 1 (~750 pb), 2 (~600) e 3 (570 pb) (Fig. 77).

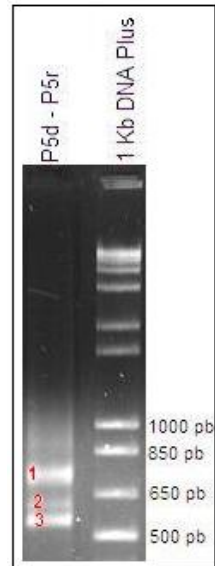


Figura 77. O PCR P5d-P5r

As bandas foram cortadas juntas (*pool* das três bandas), purificadas e clonadas. As colônias selecionadas foram analisadas por miniprep, e foram comparadas com pUC 19 íntegro (Fig. 78).

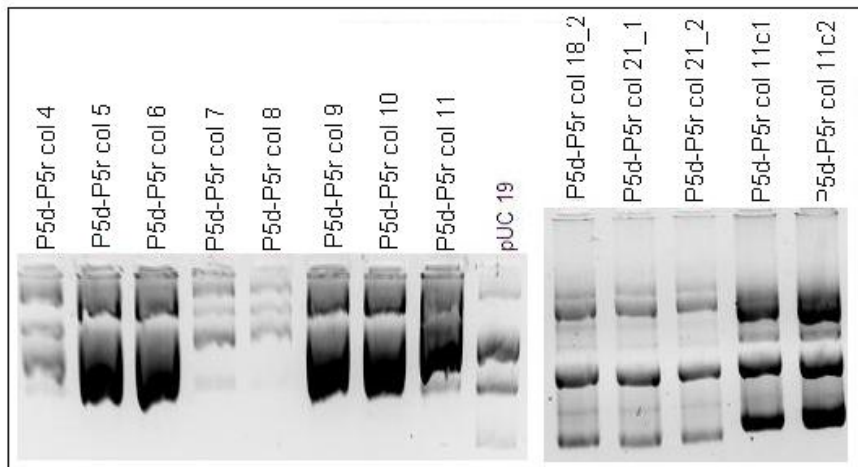


Figura 78. Minipreps P5d-P5r. Foram feitas 13 minipreps P5d-P5r para localizar as 3 bandas.

As minipreps mostraram uma variação de tamanho, sugerindo ter as três bandas. Para verificar o tamanho dos insertos foi feito PCR com os *primers* SP6 e T7. Os clones P5d-P5r col 10 e 11 não continham inserto. Os clones P5d-P5r col 11, 11c1 apresentaram o inserto de 750 pb (banda 1). Os clones P5d-P5r col 7, 8, 18_1 e 18_2 apresentaram o inserto de 600 pb (banda 2). Os clones P5d-P5r col 4, 5, 6, 21_1 e 21_2 apresentaram o inserto de 570 pb (banda 1) (Fig. 79).

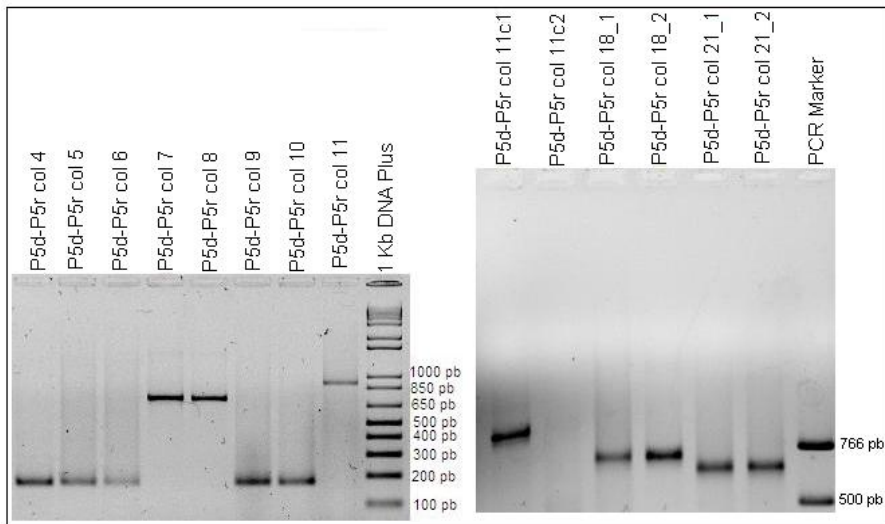


Figura 79. PCRs das Minipreps P5d-P5r

Foram feitos os sequenciamentos referentes às três bandas clonadas. O tamanho exato das três bandas pode ser definido pela sequência: 1 (753 pb) clones P5d-P5r col 11c2 e 11c1; 2 (479 pb) clones P5d-P5r col 21-1 e 21-2; 3 (550 pb) clones P5d-P5r col 8d e 18-2 (Fig. 80).

P5d → Exon Z

B	<u>TCCTGGAA CAAAATGTGC AGATGGAAAG</u>
J	<u>TCCTGGAA CAAAATGTGC AGATGGAAAG</u>
1	<u>TCCTGGAA CAAAATGTGC AGAGGGAAAG</u>
3	<u>TCCTGGAA CAAAATGTGC AGAGGGAAAG</u>
2	<u>TCCTGGAA CAAAATGTGC AGAGGGAAAG</u>
***** * ***** * ***** * *** * *****	

B GT
J GT **intron z**

1	GT <u>tgc</u> taaaa gattacctct catctttgtg ttctaaagtc tgattc---- -----t-aa
3	GT <u>tag</u> taaaa gattacctct aatctgtgtg ctctaaagtg tgattccatg gggtgatcaa
2	GT <u>tag</u> taaaa gattacctct aatctgtgtg ctctaaagtg tgattccatg gggtgatcaa
	*** * ***** * ***** * *** * *** * ***** * *** *

1 ggggtgatca ctaattcttt tttgcaatcg atcaatgctg aaagctggcc tagatttca

1 aagtacagag aatctgcata gaagaaaaag tatccatcca tctatccttc ttttggttgt

1 tgttatTTTg ctTTTcTTc aaagaacaac cccaacgaat gaggtggatg tccagggtcg

1 ttTctttctt ccaagaccaa aatgcctggc cttctcagag cttgtgctt ctctctcac-

1 ----- ----- ----- --agcatctt ctggacagac -----a-gag

2 taaaataatt ttgcaatcga tcaatgctgt aaagcatctt ctggacagac tgtcaa-gag

3 taaaataatt ttgcaatcga tcaatgctgt aaagcatctt ctggacggac tgtcaa-gag

***** * ***** * *** * ***

Figura 80. Sequenciamento P5d-P5r.

O resultado do sequenciamento indicou, como já observado anteriormente, a existência de pelo menos 2 genes diferentes. Nesse sequenciamento a sequência superior (S) foi denominada C1 e a inferior C3. Os clones col 21-1 e 21-2 (C2) mostraram em particular divergência na região 3' com relação aos demais consensos

5.6 Região 3'-não-traduzida

A região 3' não-traduzida é mostrada no box vermelho compreendendo do nucleotídeo 1900 ao 2333, com base no cDNA da bothropasina. Os asteriscos mostram identidade de sequências; a falta deles indica divergência entre os cDNAs.

Jararagina	GGTGTGCAGCAACGGGCATTGTTGATGTGGCTACAGCCTACTAGTCACACCTCTGGCTT		
Bothropasina	GGTGTGCAGCAACGGGCATTGTTGATGTGGCTACAGCCTACTAGTCACACCTCTGGCTT		1920
	*****	*****	
Jararagina	TGATTTGGAGATCCTCCCTCCAGAAGGTTGGCTCTCAAGTCAAAGAGATCCATC	← P5r	
Bothropasina	TGATTTGGAGATCCTCCCTCCAGAAGGTTGGCTCTCAAGTCAAAGAGATCCATC		1980
	*****	*****	
P3d →			
Jararagina	TGCCCTGCATCTTACTAGTAAATCACTCTTAGCTTCCAGATGGCATCTAAATTCTGCAATA		
Bothropasina	TGCCCTGCATCTTACTAGTAAATCACTCTTAGCTTCCAGATGGCATCTAAATTCTGCAATA		2040
	*****	*****	
Jararagina	TTTCTTCACCATAATTIAC-----CCTTTGCTGTAATCAAACCTTTCCCCACCACA		
Bothropasina	TTTCTTCACCATAATTIATCTGTTACCTTGCTGTAATCAAACCTTTCCCCACCACA		2100
	*****	*****	
Jararagina	A-GCTCCATGGGCATGTACAACACCAAAGGCTTATTTGCTGTCAGAAGAAAAAAATGGCCA		
Bothropasina	AAGCTCCATGGGCATGTACAACACCAAAGGCTTATTTGCTGTCAGAAGAAAAAAATGGCCA		2160
	*	*****	
Jararagina	TTTTATACCGTTGCCAATTGCAAGGACATTTAACATAAGAAGTTCTGCCCTTTGAGC		
Bothropasina	TTTTATACCGTTGCCAATTGCAAGGACATTTAACATAAGAAGTTCTGCCCTTT-GAGC		2219
	*****	*****	
Jararagina	TGGTGTGTTCGAAGTCATTGCTTCTCTCCCCAAAATTGTATGGCTGGCTTCCAACGAT		
Bothropasina	TGGTGTATTGCAAGTCATTGCTTCTCTCCCCAAAATT-TGTG-CTGGCTTCCA-GAT		2276
	*****	*****	
← P3r			
Jararagina	GTAGCTGCTTCCATCAATAAAACTATTTCATCTGCA		
Bothropasina	GTAGCTGCTTCCATCAATAAAACTATTTCATCTGCA		2333
	*****	*****	

Para amplificar esta região foram utilizados os primers P3d–P3r, obtendo-se duas bandas como produto do PCR: a banda de ~300 pb foi nomeada inferior (I), e a banda de ~350 pb, superior (S) (Fig. 81).



Figura 81. PCR P3d-P3r.

As bandas foram cortadas juntas, purificadas e clonadas, e os clones submetidos à miniprep. Foram analisados 11 clones, comparados com pUC 19 íntegro ou marcador (Fig. 82).

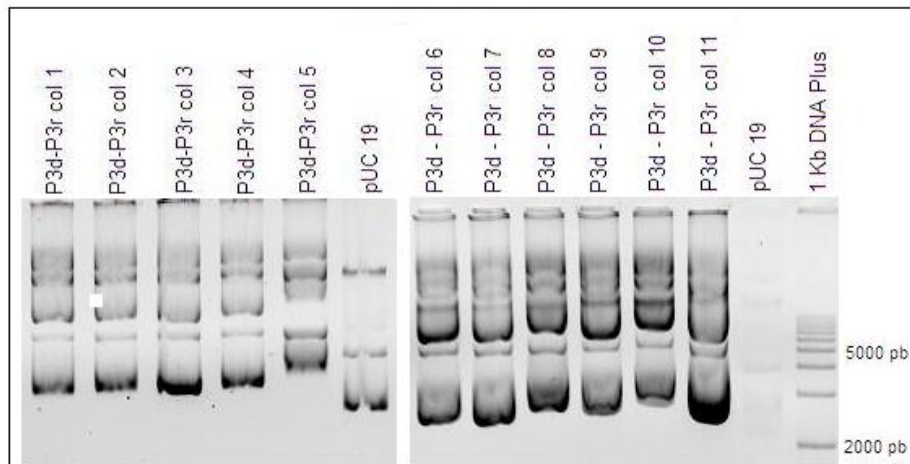


Figura 82. Minipreps P3d-P3r.

Para identificar os tamanhos dos insertos foram feitos PCRs com os *primers* SP6 e T7. Os clones P3d–P3r col 2, 5, 4, 8 e 11 apresentaram a banda inferior. Os clones P3d–P3r col 3, 6, 7 e 10 apresentaram a banda superior. O clone P3d–P3r col 9 apresentou uma banda muito fraca, não sendo possível definir o seu tamanho (Fig. 83).

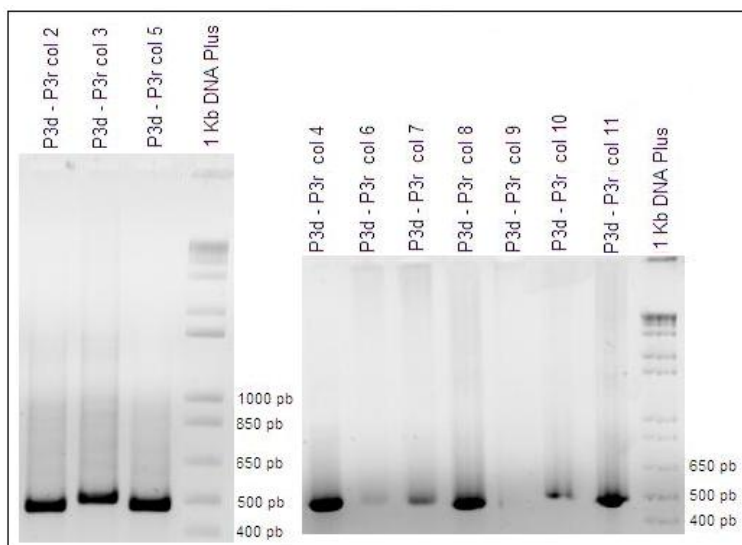


Figura 83. PCRs das Minipreps P3d-P3r.

Os 5 clones referentes à banda I e os 4 clones da banda S, foram sequenciados obtendo-se os consensos da banda inferior e da superior. A banda inferior (I) apresentou um tamanho de 297 pb e a superior (S) 320 pb (Fig. 84).

P3d →

```

B CCATCTGCCT GCATCTTACT AGTAAATCAC TCTTAGCTTC CAGATGGCAT CTAAATTCTG
J CCATCTGCCT GCATCTTACT AGTAAATCAC TCTTAGCTTC CAGATGGCAT CTAAATTCTG
S CCATCTGCCT GCATCTTACT AGTAGATCAC TCTTAGCTTC CAGATGGCAT CCAAATTCCG
I CCATCTGCCT GCATCTTACT AGTAAATCAC TCTTAGCTTC CATATGGAAT CTAAATTACG
***** * ***** * ***** * ***** * ***** * * * * * * * * * * * * * * * * *

```

```

B CAATATTTCT TCACCATATT TAATCTGTT ACCTTTGCT GTAATCAAAC CTTTCCCCA
J CAATATTTCT TCACCATATT TAC----- -CCTTTGCT GTAATCAAAC CTTTCCCCA
S CAATGTTTCT TCTCCATATT TAATCTGTT ACCTTTGCT GTAATCAAAC CTTTCCCCG
I CAATATTTAT TCTCCATATT TAATCTGTT ACCTTTGCT GTAATCAAAC CTTTCCCCA
***** * ***** * * * * * * * * * * * * * * * * * * * * * * * * * * * *

```

```

B CCACAAAGCT CCATGGGCAT GTACAACACC AAAGGCTTAT TTGCTGCCAA GAAAAAAAAT
J CCACAA-GCT CCATGGGCAT GTACAACACC AAAGGCTTAT TTGCTGTCAA GAAAAAAAAT
S CCACAAAGCT CCATGGACAT GTACAACACC AAGAGCTTAT TTGCTGTCAA -AAAAAATAT
I CCATAAAGCT CCATAGGCAT GTACAACACC AAAGGCTT-- ----- -----
***** * ***** * * * * * * * * * * * * * * * * * * * * * * * * *

```

```

B GGCCATTTA TACCGTTGC CAATTGCAGA GCACATTTAA TACAAGAAGT TCTGCCTTT
J GGCCATTTA TACCGTTGC CAATTGCAGA GCACATTTAA TACAAGAAGT TCTGCCTTT
S GGCCATTTA --CCGTTGC CAATTGT-AA GCACATTTAA TGCAACAAAT TCTGGCTTT
I ---TATTTTA --CCGTTGC CAATTGCCAA GCACATTTAA TGCAACAAAGT TCTGCCTTT
***** * ***** * * * * * * * * * * * * * * * * * * * * * * * * * * *

```

```

B -GAGCTGGTG TATTGGAAGT CAATGCTTCC TCTCCAAAAA TTT-TGTG-C TGGCTTCCA
J TGAGCTGGTG TGTTGGAAGT CAATGCTTCC TCTCCAAAAA TTTGTATGGC TGGCTTCCA
S -GGGTTGGTG TATTGGAAGT CGATGCTTCC TCTCCAAAAA TTC-CATG-C TGCCTTCCA
I -GAGCTGGTG TATTCAAAGT CAATGCTTCC TCTCCAAAAA TTT-CACG-C TGGCTTCCA
* * * * * * * * * * * * * * * * * * * * * * * * * * * * * * * * * *
← P3r

```

```

B A-GATGTAGC TGCTTCCATC AATAAACT
J ACGATGTAGC TGCTTCCATC AATAAACT
S A-CATGTAGC TGCTTCCATC AATAAACT
I A-CATGTAGC TGCTTCCATC AATAAACT
* * * * * * * * * * * * * * * * * * * * *

```

Figura 84. Sequenciamento P3d-P3r. As denominações S e I são provisórias, até a obtenção das sequências definitivas.

Para a visualização de todas as sequências obtidas, correspondentes aos domínios pré-definidos, foi elaborado um esquema com os introns e exons definidos até o momento. O esquema montado é provisório, pois só será possível definir os introns de cada toxina quando a sequência completa do genoma de *Bothrops jararaca* for publicada (Fig. 85).

A sequência superior (S) foi denominada de TOX1 e a sequência inferior (I) de TOX2. Partes das sequências já foram depositadas no Genbank e podem ser acessadas conforme os números indicados no ANEXO E.

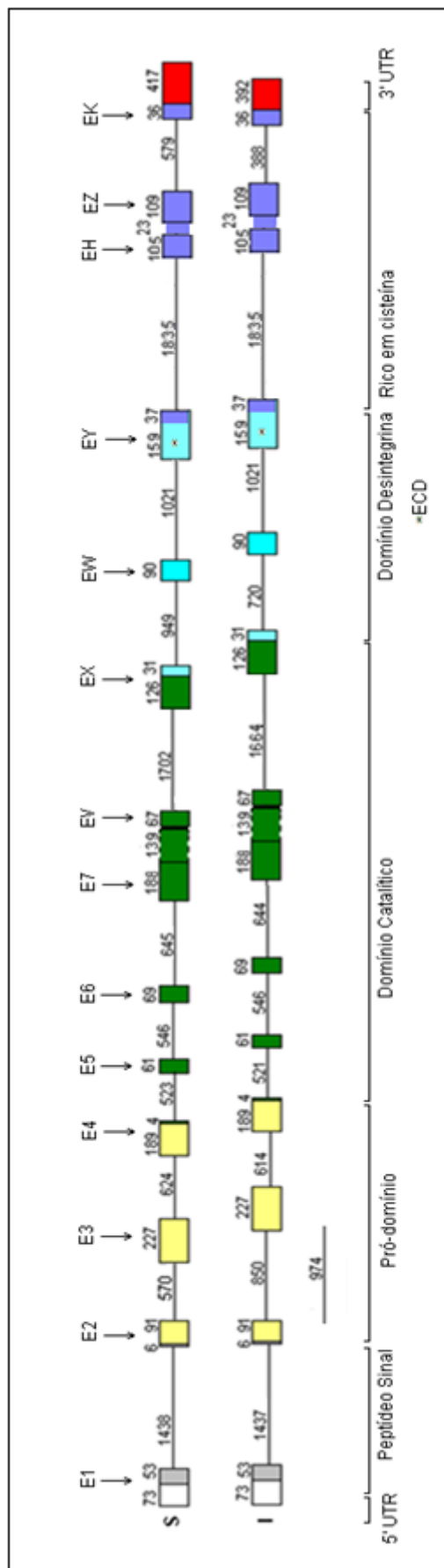


Figura 85. Esquema de exons e introns definida até o momento (suposição da ordem dos introns).

6 DISCUSSÃO

O estudo do DNA genômico da *Bothrops jararaca* é de suma importância para a Pesquisa Fundamental, fornecendo subsídios inéditos na literatura para o entendimento da evolução gênica das metaloproteinases ofídicas. Do ponto de vista médico, o conhecimento da atividade biológica de cada toxina presente no veneno, e seus domínios protéicos, permite pressupor o desenvolvimento de estratégias mais eficientes para o tratamento de casos de envenenamento, ou ainda viabilizá-las como agente terapêutico, como por exemplo, inibidor de metástases.

Algumas diferenças entre a jararagina e bothropasina estão distribuídas ao longo de seus cDNAs, sugerindo que essas proteínas não são isoformas, i.e., não resultam de *splicing* alternativo de um mesmo mRNA precursor, pois os cDNAs de ambas pareiam, não havendo perda de exons.

Até o presente momento foram identificados 14 exons (4 exons parciais) e 13 introns, com um total de 12535 pb no caso da TOX1 e 12268 pb para TOX2. Analisando a parte consenso entre as toxinas, no total encontram-se 322 posições diferentes entre elas, sendo 272 nos íntrons, e 41 na região 3' UTR. Na parte codificante da TOX 1 e TOX2 encontram-se 55 posições diferentes, levando a 9 mutações sinônimas e 22 não sinônimas. Foram encontrados ainda 10 aa iguais à sequência da bothropasina e 10 aa iguais à jararagina (ANEXO B). Esses resultados não indicam ter havido um processo de evolução acelerada. A diversificação das metaloproteinases com domínios desintegrina e rico em cisteínas (MDC) de mamíferos e de venenos de serpentes é decorrente de duplicações gênicas, seguidas pela divergência das cópias (Moura-da Silva et al., 1996). O mesmo processo muito provavelmente contribuiu para a evolução da jararagina e bothropasina, pertencentes à família das Reprolisininas (Fig. 1).

Este trabalho é o primeiro a identificar exons e introns de metaloproteinases, portanto não há como comparar a seqüência das toxinas estudadas com a de outras toxinas.

6.1 Análise dos domínios proteicos / exons

6.1.1 Peptídeo Sinal

O peptídeo sinal é codificado pelo exon 1 e pela região 5' do exon 2, sendo conservado nas quatro sequências de toxinas comparadas, bothropasina, jararagina, TOX1 e TOX2.

6.1.2 Pró-domínio

O pró-domínio é codificado pelos exons 2, 3 e 4. O exon 2 da TOX1 e TOX2 tem a sequência igual à da bothropasina. O alinhamento de TOX1, TOX2, bothropasina, bothrostatina e HF3, também presentes no veneno de *Bothrops jararaca*, mostra total identidade de sequências, indicando que essas metaloproteinases têm módulos conservados, como previamente sugerido na Fig. 5 (ANEXO C).

A posição 315, no início do exon 3, tem G em TOX1, TOX2 e jararagina, e T na bothropasina. Há diferenças entre TOX1 e TOX2 em apenas duas posições (482, 501). Outras cinco posições diferem tanto da jararagina como da bothropasina, e outras ainda são iguais à jararagina ou bothropasina. Em consequência, os aminoácidos (aa) mudam, tendo sido identificadas 4 mutações sinônimas (aa 61, 97, 103 e 501) e 5 não-sinônimas (79, 90, 96, 98 e 108) (Quadro 3).

Quadro 3 - Alterações no exon 3. j (jararagina), b (bothropasina), TOX1 (sequência superior), TOX1 (sequência inferior). Em itálico estão os aa (ANEXO D).

*Posição de nucleotídeos referente à sequência da bothropasina.

Posição nt*	Exon 3 (227 pb)									
	j	b	TOX1	TOX2	Posição aa*	b	j	TOX1	TOX2	Mutação
315	G	T	G	G	61	V	V	V	V	Sinônica
367	A	A	G	G	79	K	K	E	E	Não-sinônica
383	T	C	T	T	84	T	I	I	I	aa = J
401	G	G	A	A	90	G	G	D	D	Não-sinônica
418	T	T	A	A	96	Y	Y	N	N	Não-sinônica
423	C	T	T	T	97	P	P	P	P	Sinônica
424-5	CC	GC	CT	CT	98	A	P	L	L	Não-sinônica
441	T	C	C	C	103	C	C	C	C	Sinônica
455	G	G	A	A	108	R	R	H	H	Não-sinônica
482	C	C	C	T	117	A	A	A	V	TOX2: não-sinônica
501	C	C	C	T	123	N	N	N	N	Sinônica

Nesta região foi identificado o motivo *cysteine switch*, conservado na TOX1, TOX2, jararagina e bothropasina (ANEXOS B e C).

Quanto ao exon 4, tanto na TOX1 como TOX2, foram identificadas uma mutação sinônima (aa 135), duas mutações iguais à jararagina (aa 144 e 145), e duas mutações iguais à bothropasina (aa 128 e 187). Nas posições 187 e 189 a TOX2 têm uma mutação não-sinônima, e a TOX1 é igual à jararagina (Quadro 4).

6.1.3 Domínio Catalítico

Quadro 4 - Alterações no exon 4. j (jararagina), b (bothropasina), TOX1 (sequência superior), TOX2 (sequência inferior). Em itálico estão os aa (ANEXO D).
 *Posição referente à seqüência da bothropasina.

Posição nt*	Exon 4 (203 pb)									
	j	b	TOX1	TOX2	Posição aa*	b	J	TOX1	TOX2	Mutação
514	T	C	C	C	128	H	Y	H	H	aa = b
547	G	A	G	G	135	T	T	T	T	Sinônima
562	C	T	C	C	144	S	P	P	P	aa = j
565	G	A	G	G	145	N	D	D	D	aa = j
689	C	T	T	T	186	V	A	V	V	aa = b
691	T	G	G	C	187	V	F	F	L	TOX2: não-sinônima
697	G	G	G	C	189	A	A	A	P	TOX2: não-sinônima

O domínio catalítico é codificado pelos exons 4 (4 últimas bases), 5, 6, 7 e X. Faltam 227 pb para sequenciar, tendo como referência o cDNA. Devido a este *gap* ainda não foi possível numerar os exons e introns do segmento. Por isso os exons estão nomeados com letras maiúsculas.

O exon 5 apresenta 9 posições iguais à jararagina ou bothropasina, com alterações nos aminoácidos correspondentes. As posições 193, 197, 198 e 202 conferem com a jararagina; e 195, 200, 204 e 210, com a bothropasina (Quadro 5).

Quadro 5 - Alterações no exon 5. j (jararagina), b (bothropasina), TOX1 (sequência superior), TOX2 (sequência inferior). Em itálico estão os aa (ANEXO D).
 *Posição referente à sequência da bothropasina.

Posição nt*	Exon 5 (61 pb)									
	j	b	TOX1	TOX2	Posição aa*	b	j	TOX1	TOX2	Mutação
650	G	A	G	G	193	K	R	R	R	aa = j
655	G	A	A	A	195	N	D	N	N	aa = b
722	A	T	A	A	197	F	Y	Y	Y	aa = j
725	A	G	A	A	198	R	K	K	K	aa = j
730	A	G	G	G	200	V	I	V	V	aa = b
736	T	C	T	T	202	L	F	F	F	aa = j
742	A	G	A	A	204	I	V	I	I	aa = b
761-2	CC	TG	TG	TG	210	M	T	M	M	aa = b

O exon 6, constituído por 69 pb, é totalmente conservado em relação à jararagina e bothropasina.

O exon 7 foi sequenciado parcialmente. O aa da posição 236 na TOX1 e TOX2 são iguais à bothropasina (Quadro 6).

Quadro 6 - Alterações no exon 7. j (jararagina), b (bothropasina), TOX1 (sequência superior), TOX2 (sequência inferior). Em itálico estão os aa (ANEXO D).
 *Posição referente à sequência da bothropasina.

Posição nt*	Exon 7 (182 pb)									
	j	b	TOX1	TOX2	Posição aa*	b	j	TOX1	TOX2	Mutação
840	A	C	A	A	236	L	F	L	L	aa = b

A sequência parcial do exon V (67 pb) não apresentou nenhuma alteração em relação à jararagina e bothropasina.

O exon X codifica o final do domínio catalítico, mostrando 10 posições de nucleotídeos diferentes entre as sequências. Os aa 383, 396 e 412 da TOX2 são iguais à jararagina e bothropasina, mas na TOX1 as mutações são não-sinônimas. Os aa 384 e 385 são iguais à jararagina, e os aa 389 e 401 iguais à bothropasina, tanto na TOX1 como na TOX2. O aa 391 da TOX1 é igual à bothropasina e a TOX2 da jararagina, e o aa 419 é uma mutação sinônica, (este último aa já faz parte do domínio desintegrina) (Quadro 7).

Quadro 7 - Alterações no exon 7. j (jararagina), b (bothropasina), TOX1 (sequência superior), TOX2 (sequência inferior). Em itálico estão os aa (ANEXO D). *Posição referente à sequência bothropasina. O sinal (.) representa o nucleotídeo conservado na posição 1286.

Posição nt*	Exon X (156 pb)									
	j	b	TOX1	TOX2	Posição aa*	b	j	TOX1	TOX2	Mutação
1280	T	T	C	T	383	<i>M</i>	<i>M</i>	<i>T</i>	<i>M</i>	TOX1: não-sinônima
1284	T	G	T	T	384	<i>K</i>	<i>N</i>	<i>N</i>	<i>N</i>	aa = j
1285_7	<i>C_G</i>	<i>G_C</i>	<i>C_C</i>	<i>C_C</i>	385	<i>E</i>	<i>H</i>	<i>H</i>	<i>H</i>	aa = j
1294	C	G	C	C	388	<i>Q</i>	<i>E</i>	<i>Q</i>	<i>Q</i>	aa = b
1303	A	C	C	A	391	<i>L</i>	<i>I</i>	<i>L</i>	<i>I</i>	TOX1= b; TOX2 = j
1318	G	G	A	G	396	<i>G</i>	<i>G</i>	<i>R</i>	<i>G</i>	TOX1: não-sinônima
1330	A	G	G	G	400	<i>V</i>	<i>I</i>	<i>V</i>	<i>V</i>	aa = b
1306	G	G	A	G	412	<i>V</i>	<i>V</i>	<i>M</i>	<i>V</i>	TOX1: não-sinônima
1389	A	C	C	C	419	<i>G</i>	<i>G</i>	<i>G</i>	<i>G</i>	Sinônima

6.1.4 Domínio Desintegrina

O domínio desintegrina é codificado pela parte 3' do exon X (últimas 31 bases) e o exon W, de 90 pb, encontra-se conservado. O exon Y, onde se encontra o motivo ECD encontra-se conservado. No exon Y foi encontrada somente uma alteração de base, que não leva a alteração do aa (posição 477) (Quadro 8).

Quadro 8 - Alterações no exon Y. j (jararagina), b (bothropasina), TOX1 (sequência superior), TOX2 (sequência inferior). Em itálico estão os aa (ANEXO D). *Posições referentes às sequências da bothropasina.

Posição nt*	Exon Y (138 pb)									
	j	b	TOX1	TOX2	Posição aa*	b	j	TOX1	TOX2	Mutação
1563	<i>T</i>	<i>C</i>	<i>C</i>	<i>C</i>	477	<i>S</i>	<i>S</i>	<i>S</i>	<i>S</i>	Sinônima

6.1.5 Domínio Rico em Cisteína

A análise parcial do exon H (105 pb) mostra que o mesmo se encontra conservado em relação à jararagina e bothropasina.

O domínio rico em cisteína é codificado pelos exons Z e K. No exon Z foram identificadas 13 posições diferentes entre a TOX1 e TOX2 em relação à jararagina e bothropasina. Estas alterações levam a 8 mutações não-sinônicas (573, 474, 575, 578, 579, 580, 581 e 494), e uma sinônica (577) (Quadro 9).

Quadro 9 - Alterações no exon Y. j (jararagina), b (bothropasina), TOX1 (sequência superior), TOX2 (sequência inferior). Em itálico estão os aa (ANEXO D).

*Posição referente à sequência da bothropasina.

Exon Z (109 pb)										
Posição nt*	j	b	TOX1	TOX2	Posição aa*	b	j	TOX1	TOX2	Mutação
1791	G	G	T	T	573	<i>K</i>	<i>K</i>	<i>N</i>	<i>N</i>	Não-sinônima
1792-4	ATG	ATG	TAC	TAC	574	<i>M</i>	<i>M</i>	<i>Y</i>	<i>Y</i>	Não-sinônima
1796	T	T	A	A	575	<i>F</i>	<i>F</i>	<i>Y</i>	<i>Y</i>	Não-sinônima
1864	C	C	A	A	577	<i>S</i>	<i>S</i>	<i>S</i>	<i>S</i>	Sinônima
1865-6	AA	AA	TC	TC	578	<i>N</i>	<i>N</i>	<i>S</i>	<i>S</i>	Não-sinônima
1869-70	AT	AT	GG	GG	579	<i>D</i>	<i>D</i>	<i>R</i>	<i>R</i>	Não-sinônima
1871	G	G	C	C	580	<i>D</i>	<i>D</i>	<i>H</i>	<i>H</i>	Não-sinônima
1877	C	C	A	A	581	<i>H</i>	<i>H</i>	<i>N</i>	<i>N</i>	Não-sinônima
1914	T	T	G	G	594	<i>D</i>	<i>D</i>	<i>E</i>	<i>E</i>	Não-sinônima

Há uma região hiper-conservada (HCR) de 22 aa (Muniz et al. 2008) no exon Z, que no caso da TOX1 e TOX 2 apresenta 6 aa diferentes.

No exon K foram identificadas 4 posições alteradas levando a mutação-não-sinônima (aa 601, 602 e 607) e uma mutação sinônica (aa 597) (Quadro 10).

Quadro 10 - Alterações no exon K. j (jararagina), b (bothropasina), TOX1 (sequência superior), TOX 2 (sequência inferior). Em itálico estão os aa (ANEXO D).

*Posição referente à sequência da bothropasina.

Exon K (138 pb)										
Posição nt*	j	b	TOX1	TOX2	Posição aa*	b	j	TOX1	TOX2	Mutação
1923	G	G	C	C	597	<i>V</i>	<i>V</i>	<i>V</i>	<i>V</i>	Sinônica
1933	G	G	A	A	601	<i>G</i>	<i>G</i>	<i>R</i>	<i>R</i>	Não-sinônima
1938	T	T	G	G	602	<i>H</i>	<i>H</i>	<i>Q</i>	<i>Q</i>	Não-sinônima
1951	G	G	A	A	607	<i>A</i>	<i>A</i>	<i>T</i>	<i>T</i>	Não-sinônima

6.1.6 Região 3' UTR

A região 3' UTR da TOX1 tem 417 pb e na TOX2, 392 pb. Em comparação com a jararagina que têm 350 pb, e a bothropasina com 354 pb, esta região encontra-se bastante alterada, tanto em relação ao número como à sequência de bases (Quadro 11). Esta região não codifica aminoácidos.

Diversos genes de serino proteases de *Trimeresurus flavoviridis* apresentam os introns e as regiões UTRs altamente conservadas. Já as regiões que codificam a proteína madura têm alta taxa de alterações, sugerindo que estas toxinas sofreram evolução acelerada (Deshimaru et al., 1996). Diferentemente, neste trabalho as regiões que têm maior taxa de alteração são os introns e as regiões UTR.

Quadro 11 - Alterações 3'UTR. Foram identificadas 41 alterações entre as sequências e uma inserção de 10 pb, comparada com a jararagina e a bothropasina. *Posição referente à sequência da bothropasina.

3' UTR					
Posição nt*	j	b	TOX1	TOX2	Mudança
1965	G	G	A	A	Alterações nas TOX1 e TOX2
Entre 77-78	-	-	TTCTCTCAGA	TTCTCTCAGA	Inserção de 10 pb
2006	G	G	T	T	Alterações nas TOX1 e TOX2
2017	T	T	C	C	Alterações nas TOX1 e TOX2
2020-1	CA	CA	GT	GT	Alterações nas TOX1 e TOX2
2059	A	A	G	A	Alteração na TOX1
2077	G	G	G	T	Alteração na TOX2
2082	C	C	C	A	Alteração na TOX2
2086	T	T	C	T	Alteração na TOX1
2092	C	C	C	A	Alteração na TOX2
2093	T	T	G	G	Alterações nas TOX1 E TOX2
2099	A	A	G	A	Alteração na TOX1
2103	C	C	C	A	Alteração na TOX2
2107	A	A	T	T	Alterações nas TOX1 e TOX2
2118 – 25	-	TCTGTTA	TCTGTTA	TCTGTTA	TOX1 e TOX2 = b
2154	A	A	G	A	Alteração na TOX1
2159	C	C	C	T	Alteração na TOX2
2162	-	A	A	A	Alteração na TOX2
2169	G	G	G	A	Alteração na TOX2
2171	G	G	A	G	Alteração na TOX1
2187	A	A	G	A	Alteração na TOX1

2200	T	C	T	-	TOX1 =j
2217	C	C	C	T	Alteração na TOX2
2224-5	TA	TA	-	-	Alterações nas TOX1 e TOX2
2240	C	C	T	C	Alteração na TOX1
2242	G	G	-	-	Alterações nas TOX1 e TOX2
2255	A	A	G	G	Alterações nas TOX1 e TOX2
2259	G	G	C	C	Alterações nas TOX1 e TOX2
2262	G	G	A	G	Alteração na TOX1
2268	C	C	G	C	Alteração na TOX1
2271	T	-	-	-	TOX1 = b
2273	A	A	G	A	Alteração na TOX1
2275	C	C	T	C	Alteração na TOX1
2282	G	A	A	A	TOX1 =j
2286	G	G	G	A	Alteração na TOX2
2292	A	A	G	A	Alteração na TOX1
2304	C	C	T	C	Alteração na TOX1
2310	T	T	C	T	Alteração na TOX1
2311	G	-	-	-	TOX1 =b
2115	T	T	C	C	Alterações nas TOX1 e TOX2
2316	G	-	-	-	TOX1 =b
2120	G	G	C	G	Alteração na TOX1

A análise dos aa pelo programa *ExPASy Proteomics Server* (<http://expasy.org>) mostrou que a jararagina, bothropasina, TOX1 e TOX2, são hidrofóbicas, mas há uma pequena variação: jararagina -0,570, bothropasina -0,451, TOX1 -0,493 e a TOX2 -0,477. Esta pequena variação no grau de hidrofobicidade pode alterar as características físico-químicas das proteínas. No caso dos dois gaps que ainda não foram sequenciados, foi utilizada a sequência de aa da bothropasina. A 1º região não seqüenciada, tem uma diferença de 4 aa entre a jararagina e a bothropasina. A 2º região não seqüenciada não tem diferenças.

Todas as cisteínas foram mantidas, o que favorece a manutenção da estrutura secundária.

6.2 Análise dos introns

O intron 1 da TOX1 tem 1438 pb e TOX2 1437 pb, encontrando-se 21 posições diferentes ao se estabelecer a sequência consenso.

Quanto ao intron 2, foram identificadas 3 sequências distintas após a determinação dos consensos. As bandas 1, 2 e 3 apresentaram 570 pb, 850 pb e

974 pb, respectivamente. Há três seqüências de introns disponíveis, não sendo ainda possível afirmar se pertencem à TOX1, TOX2 ou ainda a outra metaloproteinase. Entretanto há alta identidade de seqüência na região consenso (ANEXO B).

O intron 3 de TOX1 e TOX2 tem 624 pb e 614 pb, respectivamente. Além da diferença de tamanho entre as seqüências, há 20 posições diferentes entre elas.

O intron 4 de TOX1 e TOX2 tem 523 pb e 521 pb, respectivamente. Além disso, são encontradas 24 posições diferentes entre elas.

O intron 5 de TOX1 e TOX2 tem 546 pb, ambos com a mesma sequência de bases.

O intron 6 de TOX1 e TOX2 tem 645 pb e 644 pb, respectivamente. Foram encontradas 7 posições alteradas, inclusive um microsatélite com a repetição (TTA)₁₇ e um sítio EcoRI (GAATTC).

O intron v da TOX1 e TOX2 tem 1718 e 1702 pb, respectivamente. Foram encontradas 105 posições alteradas entre elas.

O Intron x de TOX1 e TOX2 tem 949 pb e 720 pb, respectivamente. Neste intron encontra-se a maior diferença em relação ao tamanho das seqüências, e 6 posições diferentes na sequência consenso.

O intron w tem 1021 pb e intron y tem 1835 pb em ambas as toxinas.

O intron z de TOX1 e TOX2 tem 579 pb, com 5 posições diferentes na seqüência consenso (Quadro 12).

Quadro 12 - Alterações encontradas nos introns. Foram identificadas um total de 251 posições alteradas na comparação entre TOX1 e TOX2.

Intron	1	2	3	4	5	6	v	x	w	y	z
TOX1	1438	974	624	523	546	645	1718	949	1021	1835	579
TOX2	1438	850	614	521	546	644	1702	720	1021	1835	388
TOX1/TOX2	21	63	20	24	-	7	105	6	-	-	5

7 CONCLUSÃO

Os dados deste trabalho são indicativos da existência de no mínimo dois genes diferentes oriundos de duplicação gênica que codificam as toxinas jararagina e bothropasina. Ainda não foi possível relacionar diretamente qual deles codifica qual toxina devido à presença de mutações não-sinônimas. Devido a isto, foram nomeadas provisoriamente como TOX1 e TOX2, até a obtenção das sequências definitivas.

Devido ao fato dos cDNAs de jararagina e bothropasina terem sido obtidos a partir de *pool* de espécimens, não está descartada a hipótese de polimorfismo populacional, não identificado nas sequências dos clones de cDNA previamente publicados. O sequenciamento do genoma de *Bothrops jararaca* deverá esclarecer devidamente o número real de genes codificadores de metaloproteinases nessa espécie de Ofídio. A semelhança de sequência entre diferentes metaloproteinases já sugere que elas são formadas por módulos relativamente conservados.

Referências

- Akiyama SK, Olden K, Yamada KM. Fibronectina and integrins in invasion and metastasis. *Cancer Metast Rev.* 1995;14(3):173-89.
- Assakura MT. Clonagem molecular, análise da seqüência e expressão da bothropasina, uma metaloendopeptidase isolada do veneno da *Bothrops jararaca*. [tese (Doutorado)]. São Paulo: Escola Paulista de Medicina Universidade Federal de São Paulo; 2000.
- Assakura MT, Silva CA, Mentele R, Camargo AC, Serrano SM. Molecular cloning and expression of structural domains of bothropasin, a P III metalloproteinase from the venom of *Bothrops jararaca*. *Toxicon.* 2003;41(2):217-27.
- Baramova EN, Shannon JD, Bjarnason JB, Fox JW. Identification of the cleavage sites by hemorrhagic metalloproteinases in type IV collagen. *Matrix.* 1990;10(2):91-7.
- Barczyk M, Carracedo S, Gulberg D. Integrins. *Cel Tissue Res.* 2010;339(1):269-80.
- Barlaviera B. Venenos animais uma visão integrada. Rio de Janeiro: EPUB; 1994. Capítulo 63, p. 97-105.
- Bjarnason JB, Fox JW. Snake venom metalloendopeptidases: reprolysin. *Methods Enzymol.* 1995;248:345-68.
- Blobel CP. ADAMs: key components in EGFR signalling and development. *Nat Rev Mol Cell Biol.* 2005;6(1):32-43.
- Botos I, Scapozza JD, Fox JW, Meyer EF. Structure based analysis of inhibitor binding to HT-d. *Acta Crys.* 1995;D51:597-604.
- Calvete JJ, Marcinkiewicz C, Monleón D, Esteves V, Celda B, Juárez P. Snake venom desintegrin: evolution of structure and function. *Toxicon.* 2005;45(8):1063-74.
- Calvete JJ, Juárez P, Sanz L. Snake venomics. Strategy and applications. *J Mass Spectrom.* 2007;42(11):1405-14.

Chang L-S, Chung C, Liou J-C, Chang C-W, Yang C-C. Novel neurotoxins from Taiwan banded krait (*Bungarus multicinctus*) venom: purification, characterization and gene organization. *Toxicon*. 2003;42(3):323-30.

Chiang HS, Swaim MW, Huang TF. Characterization of platelet aggregation induced by human colon adenocarcinoma cells and its inhibition by snake venom peptides, trigramin and rhodostomin. *Br. J. Haematol.* 1994;87(2):325-31.

Cidade DAP, Simão TA, Dávila AMR, Wagner G, Junqueira-de-Azevedo ILM, Ho PL, Bom C, Zingali RB, Albano RM. *Bothrops jararaca* venom gland transcriptome: Analyse of the gene expression pattern. *Toxicon*. 2006;48:437-61.

Cominetti MR, Terruggi CH, Ramos OH, Fox JW, Mariano-Oliveira A, De Freitas MS, Figueiredo CC, Morandi V, Seliestre-de-Araujo HS. Alternagin-C, a disintegrin-like protein, induces vascular endothelial cell growth factor (VEGF) expression and endothelial cell proliferation *in vitro*. *J Biol Chem*. 2004;279(18):18247-55.

Coppolino MG, Dedhar S. Bi-directional signal transduction by integrina receptors. *Int. J Biochem. Cell Biol.* 2000;32(2):171-88.

Corrêa MC Jr, Maria DA, Moura-da-Silva AM, Pizzocaro KF e Ruiz IR. Inhibition of melanoma cells tumorigenicity by the snake venom toxin jararhagin. *Toxicon*. 2002;40(6):739-48.

Dai L, Zimmerty S. ORF-less reverse-transcriptase-encoding group II introns in archaeabacteria, with a pattern of homing into related group II intron ORF. *RNA*. 2003;9(1):14-9.

Daltry JC, Wüster W, Thorpe RS. Diet and snake venom evolution. *Nature*. 1996;379 (6565):537-40.

Danen EH, Marcinkiewicz C, Cornelissen IM, van Kraats AA, Pachter JA, Ruiter DJ, Niewiarowskl S, van Muijen GN. The desintegrina eristostatin interferes with integrina $\alpha 4\beta 1$ function and experimental metastasis of human melanoma cells. *Exp Cell Res.* 1998;238(1):188-96.

Deshimaru M, Ogawa T, Nakashima K, Nobuhisa I, Chijiwa T, Shimohigashi Y, Fukumaki Y, Niwa M, Yamashina I, Hattori S, Ohno M. Acelerated evolution of crotalinae snake venom gland serine proteases. *FEBS Lett.* 1996;397(1):83-8.

Jia Y, Perez JC. Molecular cloning and characterization of cDNAs encoding metalloproteinase from snake venom gland. *Toxicon*. 2010;5(2-3):462-9.

Fox JW, Serrano SM. Structural considerations of the snake venom metalloproteinases, key members of the M12 reprotoxin family of metalloproteinases. *Toxicon*. 2005;45(8):969-85.

Fox JW, Serrano SM. Insights into and speculation about snake venom metalloproteinases (SVMP) synthesis, folding and disulfide bond formation and their contribution to venom complexity. *FEBS J*. 2008;275:3016-30.

Fox JJ, Serrano SMT. Timeline of key events in snake venom metalloproteinase research. *Journal of Proteomics*. 2009;72(2):200-9.

Fry BG, Lumsden NG, Wuster W, Wickramaratna JC, Hodgson WC, Kini RM. Isolation of neurotoxin (alpha-colubritoxin) from a nonvenomous colubrid: evidence for early origin of venomous snakes. *J Mol Evol*. 2003 Oct;57(4):446-52.

Fry BG, Wuster W. Assembling an arsenal: origin and evolution of the snake venom proteome inferred from phylogenetic analysis of toxin sequences. *Mol Biol Evol*. 2004 May;21(5):870-83.

Fujimi TJ, Nakajyo T, Nishimura E, Ogura E, Tsuchiya T, Tamiya T. Molecular evolution and diversification of snake toxin genes, revealed by analysis of intron sequences. *Gene*. 2003;313:111-8.

Fukagawa T, Nose T, Shimohigashi Y, Ogawa T, Oda N, Nakashima K, Chang CC, Ohno M. Purification, sequencing and characterization of single amino acid-substituted phospholipase A2 isozymes from *Trimeresurus graminus* (green habu snake) venom. *Toxican*. 1993;31(8):957-67.

Georgaka E, Nastopoulos V, Eleftheriou S, Zarkadis IK. A toxin-like gene in rainbow trout: cloning, expression, and gene organization. *Toxicon*. 2007;49(7):1002-9.

Hannon GJ. RNA interference. *Nature*. 2002;418(6894):244-21.

Haugen P, Simon DM, Bhattacharya D. The natural history of group I introns. *Trends in Genet*. 2005;21(2):111-9.

Hite LA, Jia LG, Bjarnason JB, Fox JW. cDNA sequences for four snake venom metalloproteinases: structure, classification, and their relationship to mammalian reproductive proteins. *Arch Biochem Biophys.* 1994;308(1):182-91.

Hooper NM. Families of zinc metaloproteases. *FEBS Lett.* 1994;354(1):1-6.

Jia LG, Wang XM, Shannon JD, Bjarnason JB, Fox JW. Inhibition of platelet aggregation by the recombinant cysteine-rich domain of the hemorrhagic snake venom metalloproteinase, atrolysin A. *Arch Biochem Biophys.* 2000;373(1):281-326.

Jia Y, Perez JC. Molecular cloning and characterization of cDNAs encoding metalloproteinase from snake venom gland. *Toxicon.* 2010;5(2-3):462-9.

Juárez P, Comas I, González-Candelas F, Calvete JJ. Evolution of snake venom disintegrins by positive Darwinian selection. *Mol Biol Evol.* 2008;25(11): 2391-407.

Junqueira-de-Azevedo ICM, Ching ATC, Carvalho E, Faria F, Nishiyama JR, Yataku M, Ho, PL, Diniz MRV. *Lachesis muta* (Viperidae) cDNA reveal diverging pitviper molecules and scaffolds typical of snake (Elapidae) venom: implication in snake toxin repertoire evolution. *Genetic (Austin), EUA.* 2006;173(2):877-89.

Kamiguti AS, Sano Martins IS. South American snake venoms affecting homeostasis. *J Toxicol Toxin Rev.* 1995;14:359-74.

Kamiguti AS, Zuzel M, Theakston RD. Snake venom metalloproteinases and disintegrins: interactions with cells. *Braz J Med Biol Res.* 1998;31(7): 853-62.

Kang IC, Kim DS, Jang Y, Chung KH. Suppressive mechanism of salmosin, a novel desintegrin in B16 melanoma cell metastasis. *Biochem Biophys Res Commun.* 2000;275(1):169-73.

Kini RM, Evans HJ. Structural domains in venom proteins: evidence that metalloproteinases and nonenzymatic platelet aggregation inhibitors (disintegrins) from snake venoms are derived by proteolysis from a common precursor. *Toxicon.* 1992;30(3):265-93.

Koonin EV. Orthologs, paralogs, and evolutionary genomic. *Annu Rev Genet.* 2005;39:309-38.

Kordis D, Gubensek F. Bov-B long interspersed repeated DNA (LINE) sequences are present in *Vipera ammodytes* phospholipase A2 gene and in genomes of Viperidae snake. *Eur J Biochem.* 1997 Jun 15;246(3):772-9.

Kuphal S, Bauer R, Bosserhoff AK. Integrin signaling malignant melanoma. *Cancer Metastasis Rev.* 2005;24(2):195-222.

Lewin B. Genes VII. New York: Oxford University Press; 2000. *Nuclear splicing*; p. 685-718.

Lin SL, Ying SY. Gene silencing *in vitro* and *in vivo* using intronic microRNAs. *Methods Mol Biol.* 2006;342:295-312.

Mandelbaum FR, Reichel AP, Assakura MT. Isolation and characterization of a proteolytic enzyme from the venom of the snake *Bothrops jararaca* (Jararaca). *Toxicon.* 1982;20(6):955-72.

Marcinkiewicz C, Weinreb PH, Calvete JJ, Kisiel DG, Mousa SA, Tuszyński GP, Lobb RR. Obtustatin: a potent selective inhibitor of alpha1beta1 integrin *in vitro* and angiogenesis *in vivo*. *Cancer Res.* 2003;63(9):2020-3.

Markland FS. Snake venoms and the hemostatic system. *Toxicon.* 1998;36(12): 1749-1800.

Marques-Porto R, Lebrum I, Pimenta DC,. Self-proteolysis regulation in *Bothrops jararaca* venom: the metallopeptidases and their intrinsic peptidic inhibitor. *Comp Biochem Physiol C Toxicol Pharmacol.* 2008;147:424-33.

Maria DA, Vassão RC, Ruiz IR. Haematopoietic effects induced in mice by the snake venom toxin jararhagin. *Toxicon.* 2003;42(6): 579-85.

Mattick JS. Introns: evolution and function. *Curr Opin Genet Dev.* 1994;4(6):823-31.

Moura-da-Silva AM, Desmond H, Laing GD, Theakston RD. Isolation and comparison of myotoxins isolated from venoms of different species of *Bothrops* snake. *Toxican.* 1991;29:713-23.

Moura-da-Silva AM, Theakston RD, Crampton JM. Evolution of disintegrin cysteine-rich and mammalian matrix-degrading metalloproteinases: gene duplication and

divergence of a common ancestor rather than convergent evolution. *J Mol Evol.* 1996;43(3):263-9.

Moura-da-Silva AM, Línica A, Della-Casa MS, Kamiguti AS, Ho PL, Crampton JM, Theakston RDG. Jararhagin ECD-containing disintegrin domain: expression in *Escherichia coli* and inhibition of the platelet-collagen interaction. *Archives of Biochemistry and Biophysics.* 1999;369:295-301.

Moura-da-Silva AM, Marcinkiewicz C, Marcinkiewicz M, Niewiarowski S. Selective recognition of a integrin $\alpha_2\beta_1$ by jararhagin, a metalloproteinase/disintegrin from *Bothrops jararaca* venom. *Thromb Res.* 2001;102(2):153-9.

Moura-da-Silva AM, Della-Casa MS, David AS, Assakura MT, Butera D, Lebrum I, Shannon JD, Serrano SMT, Fox JW. Evidence for heterogeneus form of the snake venom metalloproteinase jararhagin: a factor contributing to snake venom variability. *Archives of Biochemistry and Biophysics.* 2003;409:395-401.

Muniz JR. Estrutura Tridimensional da Bothropasina uma metaloproteinase/Desintegrina do veneno de *Bothrops jararaca*. [tese (Doutorado)]. São Paulo: Instituto de Física de São Carlos, Universidade de São Paulo, 2007.

Muniz JR, Ambrosio AL, Selistre-de-Araújo HS, Cominetti MR, Moura-da-Silva AM, Oliva G, Garrett RC, Souza DH. The three-dimensional structure of bothropasin, the main hemorrhagic factor from *Bothrops jararaca* venom: insights for a new classification of snake venom metaloprotease subgroups. *Toxicon.* 2008;52(7):807-16.

Nott A, Meislin SH, Moore MJ. A quantitative analyse of intron effects on mammalian gene expression. *RNA.* 2003;9(5):607-17.

Ogawa T, Chijiwa T, Oda-Ueda N, Ohno M. Molecular diversity and accelerated evolution of C-type lectin-like proteins from snake venom. *Toxicon Review.* 2005;45(1):1-14.

Ohno M, Chijiwa T, Oda-Ueda N, Ogawa T, Hattori S. Molecular evolution of myotoxic phospholipases A2 from snake venom. *Toxicon.* 2003;42(8):841-54.

Orning L, Krivi G, Bild G, Gierse J, Aykent S, Fitzpatrick FA. Inhibition of leukotriene A4 hydrolase/aminopeptidase by captopril. *J Biol Chem.* 1991;266(25):16507-11.

Paine MJ, Desmond HP, Theakston RD, Crampton JM. Purification, cloning, and molecular characterization of a hight molecular weight hemorrhagic metalloproteinase, jararhagin, from *Bothrops jararaca* venom. Insights into the disintegrin gene family. *J Biol Chem.* 1992;267(32):22869-76.

Queiroz LS, Petta CA. Histopathological changes caused by venom of urutu snake (*Bothrops alternatus*) in mouse skeletal muscle. *Rev Inst Med Trop São Paulo.* 1984;26:247-53.

Rádis-Baptista G, Kubo T, Oguiura N, Svartman M, Almeida TM, Batistic RF, Oliveira EB, Vianna-Morgante AM, Yamane T. Structure and chromosomal localization of the gene for crotamine, a toxin from the South American rattlesnake *Crotalus durissus terrificus*. *Toxicon.* 2003;42(7):747-52.

Reza MA, Swaruo S, Kine RM. Structure of two genes encoding parallel prothrombin activators in *Tropidodechis carinatus* snake: gene duplication and recruitment of factor X gene to the venom gland. *J Thromb Haemost.* 2007;5(1):117-26.

Richman A. Evolution of balanced genetic polymorphism. *Mol Ecol.* 2000;9(12):1953-63.

Ribeiro GRH. Instabilidade do genoma, mutação/expressão gênica e tumorigênica de linhagens de carcinoma de cólon humano antes e após tratamento com toxina ofídica. [dissertação (Mestrado)]. São Paulo: Universidade Estadual Paulista “Julio de Mesquita Filho”; 2003.

Rogers JH. How were introns inserted into nuclear genes? *Trends Genet.* 1989;5:213-16.

Russel FE, Snyder CCMD. Snake Venom Poisoning. Plastic and Reconstructive Surgery. 1981;68(6):974.

Serrano SM, Wang D, Shannon JD, Pinto AF, Polanowska-Grabowska RK, Fox JW. Interaction of the cysteine-rich domain of snake venom metalloproteinase with the A1 domain of Von Willebrand factor promoter site-specific proteolysis of Von Willebrand factor and inhibition of Von Willebrand factor mediated platelet aggregation. *FEBS J.* 2007;274:3611-21.

Sheu JR, Yen MH, Kan YC, Hung WC, Chang PT, Luk HN. Inhibition of angiogenesis *in vitro* and *in vivo*: comparison of the relative activities of triflavin, an Arg-Gly-Asp

containing peptide and anti-alpha (v) beta 3 integrin monoclonal antibody. *Biochim Biophys Acta.* 1997;1336(3):445-54.

Sheth N Roca X, Hastings ML, Roeder T, Krainer AR. Comprehensive splice-site analysis using comparative genomics. *Nuclei Acid Res.* 2006;34(4):3955-67.

Souza DH, Iemma MR, Ferreira LL, Faria JP, Oliva ML, Zingali RB, Niewiarowski S, Selistre-de-Araujo HS. The disintegrin-like domain of the snake venom metalloprotease alternagin inhibits alpha2beta1 integrin-mediated cell adhesion. *Arch Biochem Biophys.* 2000;384(2):341-50.

Stone AL, Kroeger M, Sang QX. Structure-function analysis of the ADAM family of desintegrin-like and metalloproteinase-containing proteins. *J Protein Chem.* 1999;18(4):447-64.

Tanizaki MM, Zingali RB, Kawazaki H, Imajoh S, Yamazaki S, Suzuki K. Purification and some characteristics of a zinc metalloproteinases from the venom of *Bothrops jararaca* (jararaca). *Toxicon.* 1989;27(7):747-55.

Tani A, Ogawa T, Nose T, Nikandrov NN, Deshimaru M, Chijiwa T, Chang CC, Fukumaki Y, Ohno M. Characterization, primary structure and molecular evolution of anticoagulant protein from *Agkistrodon actus* venom. *Toxicon.* 2002;40(6):803–13.

Terada S, Hori J, Fujimura S, Kimoto E. Purification and amino acid sequence of brivilysin L6, a non-hemorrhagic metalloprotease from *Agkistrodon halys brevicaudus* venom. *J Biochem.* 1999;125(1):64-9.

Trikha M, De Clerck YA, Markland FS. Contortrostatin, a snake venom disintegrin, inhibits beta 1 integrin-mediated human metastatic melanoma cell adhesion and block experiment metastatic. *Cancer Res.* 1994;54(18):4993-8.

Tu AT. Venoms: Chemistry and Molecular Biology. New York: John Willyand Sons. *Snake venoms: general background and composition.* 1988; p.1-9.

Weis WI, Taylor ME, Drickamer K. The C-type lectin superfamily in the immune system. *Immunol Rev.* 1998;163:19–34.

Wolfsberg TG, Primakoff P, Myles DG, White JM. ADAM, a novel family of membrane proteins containing A Desintegrin And Metalloprotease domain:

multipotential functions in cell-cell and cell matrix interaction. *J Cell Biol.* 1995;131(2):275-8.

Yamamoto S, Higuchi Y, Yoshiyama K, Shimizu E, Kataoka M, Hijiya N, Matsuura K. ADAM family proteins in the immune system. *Immunol Today.* 1999;20(6):278-84.

Yeh RH, Yan X, Cammer M, Bresnick AR, Lawrence DS. Real time visualization of protein kinase activity in living cells. *J Biol Chem.* 2002;277(13):11527-32.

APÊNDICE - Reagentes

Ampicilina

estoque: 50 μ g/ μ l

uso: 50 μ g/ml

Azul de Bromofenol

Xilenocianol 0,25 % - 0,0125 g (azul claro)

Azul de Bromofenol 0,25 % - 0,0250 g (azul escuro)

Glicerol 50 % - 2,5 ml

EDTA 10 mM - 100 μ l do EDTA 0,5 M

Completar com 5,0 ml de água bidestilada. Armazenar na geladeira.

Brometo de Etídeo

1 g de brometo de etídeo para 100 ml de água.

Dissolver com peixinho. Usar luvas, máscara e forrar a balança. Armazenar em frasco âmbar, na geladeira 4° C. (MANIATIS, pag B11).

CaCl₂ 50 mM

PM: 7,351

Pesar 0,7351 g e dissolver em 100 ml de água Milli-Q. Armazenar na geladeira.

EDTA 2 M

pH 8,0

EDTA – 14,88 g

Dissolver em 150 ml de água bidestilada, acertar o pH com NaOH e completar o volume para 200 ml com água bidestilada. Armazenar a 4° C.

EDTA 50 mM

pH 8,0

EDTA – 3,72 g Na₂H₂(C₁₀H₁₂N₂O₈)H₂O (PM 372,24 g/L)

Dissolver em 150 ml de água bidestilada, acertar o pH com NaOH e completar o volume para 200 ml de água bidestilada. Armazenar a 4° C.

LB

Bacto triptona – 10 g

Extrato de levedura (bacto yeast extract) – 5 g

NaCl – 5 g

NaOH – 1 pastilha

Volume final: 1 litro de água bidestilada. Autoclavar 20 minutos, pH 7,5.

Lisozima

Solução estoque: 50 mg/ml

Solução utilizada na miniprep: 10 mg/ml

20 µl (solução 50 mg/ml) + 80 µl de água milli-Q = 100 µl (10 mg/ml).

Placas de Agar

15 g de Agar para 1 litro de LB

Autoclavar 20 minutos. Esperar esfriar para colocar a ampicilina (somente nas placas onde serão semeados os plasmídeos recombinantes). Colocar em cada placa 25 ml.

Ampicilina 50 µg / ml.

Save Money

Tris 200 mM pH 9

MgCl₂ 5 mM

STAB

Difco nutrient broth* – 10 g

NaCl – 5 g

Difco agar – 6 g

O Difco nutrient broth pode ser substituído por:

Bacto beef (yeast) extract – 3 g

Bacto peptona – 5 g

Volume final: 1 litro de água bidestilada. Autoclavar 20 minutos. Colocar 5 ml em cada tubo (estes também são autoclavados).

TE

Tris HCl – 10 mM (250 µL de Tris HCl 2M)

EDTA – 1 mM (100 µL de EDTA 0,5 M)

Volume final – 50 ml (utilizar água Milli-Q)

TEB 1x

Tris 0,9 M – 109 g

EDTA 0,02M – 40 ml a 0,5 M

Ac. Bórico – 55 g

Pesar separadamente, colocar em um Becker grande 800 ml de água bidestilada, deixar agitando com um peixinho. Completar para 1 litro.

TEST (miniprep)

Triton x 2,5 % (25 mL)

Sucrose 4 % (4 g)

Tris HCl 25 mM, pH 8,0 (1,25 mL de Tris HCl 2M)

EDTA 25 mM (5,0 mL de EDTA 0,5 M)

Completar com 100 ml de água Milli-Q.

ANEXO A – Alinhamento dos cDNAs da Jararagina e Bothropasina

Alinhamento dos cDNAs da jararagina e bothropasina usando o programa Clustal W

Seqüência 1: Jararagina (J) 2118 pb (X68251)

Seqüência 2: Bothropasina (B) 2333 pb (AFO56025)

As linhas verticais indicam a localização dos íntrons já identificados. Os domínios estão representados por diferentes cores: cinza (peptídeo sinal), amarelo (pró-domínio), verde (domínio catalítico), azul (domínio desintegrina), rosa (domínio rico em cisteína) e vermelho (região 3' UTR). Os *primers* utilizados (negrito) estão indicados por setas (direto e reverso). As regiões sem cor na região do domínio catalítico e rico em cisteína estão em fase de sequenciamento

	Pbd →			
J	-----			
B	G <u>CACGAGAGAAACTCAGATTGG</u> CTTGAAGGAAGGAAGAGATTGCCTGACTTCCAGCCAAA	60		
	Exon 1			
J	-----			
B	TCCAGCCTCCAAAATGATTGAAGTTCTCTGGTGACTATATGCTTAGCAGCTTTCTTA	120		
		← Pbr	PbirD →	
J	-----			
B	TCAAGGGAGCTCTATAATCC TGGAATCTGGAACGTGAATG ATTATGAAGTAGTAGTGTATCC	180		
		Pad →	Exon 3	
J	-----GCAACGAGGCCAAAG GAGCAGTTCAGCAAAGTA TGAAGACGCCATGCA	50		
B	ACGAAAAGTCACTGCATTGCCAAAG GAGCAGTTCAGCAAAGTA TGAAGACGCCATGCA	240		
	*	*	*****	*****
		← Pair		
J	ATATGAATTAAAGTGAATGGAGA GCCAGTGGTCCTCACCT GGAAAAAAATAAAGGACT	110		
B	ATATGAATTAAAGTTAATGGAGAG GCCAGTGGTCCTCACCT GGAAAAAAATAAAGGACT	300		
	*****	*****	*****	*****
		Paid →		
J	TTTTCAAAAGATTACAGCGAGATTCAATTATTCCCCTGATGGCAGAGAAATTACAACATA	170		
B	TTTTCAAAAGATTACAGCGAGACTCATTATTCCCCTGATGGCAGAGAAATTACAACATA	360		
	*****	*****	*****	*****
		P1d →	← Par	
J	CCCCCGGTTGAGGATCACTGTTATTAT CATGGACGCATCGAGAATGA TGCTGACTCAAC	230		
B	CCCTGCGGTTGAGGATCACTGCTATTATCATGGACGC CATCGAGAATGATGCTGA CTCAAC	420		
	***	*****	*****	*****
		Exon 4		
J	TGCAAGCATCAGTGCATGCAACGGTTGAA AGGATATTCAAGCTTCAAAGGGAGACGTA	290		
B	TGCAAGCATCAGTGCATGCAACGGTTGAA AGGACATTCAAGCTTCAAAGGGAGACATA	480		
	*****	*****	*****	**
		J CTTTATTGAACCCTTGAAGCTTCCGACAGTGAAGGCCATGCAGTCTTCAAATATGAAAA	350	
B	CTTTATTGAACCCTTGAAGCTTCCAACAGTGAAGGCCATGCAGTCTTCAAATATGAAAA	540		
	*****	*****	*****	*****

	P0d →		
J	TGTAGAAAAGGAGGATGAGGC CCCCAAAATGTGTGGGTAACCCAGAATTGGAAATCATA	410	
B	TGTAGAAAAGGAGGATGAGG CCCCAAAATGTGTGGGTAACCCAGAATTGGAAATCATA	600	
	*****	*****	*****
	← P1r	EXON 5	
J	TGAACCCATCAAAAGGCCTCTCAGTTAGCTTACTGCTGAA ACAACAAAGATATGACCC	470	
B	TGAACCCATCAAAAGGCCTCTCAGTTAGTTACTGCTGAA ACAACAAACAAAATATAACCC	660	
	*****	*****	*****
		EXON 6	
J	CTACAAATACATTGAGTTTCGTTAGTGACCAAGGAACCGTC CACAAAAAACATGG	530	
B	CTTCAGATACGTTGAGCTTCTAGTTGACCAAGGAATGGTC CACAAAAAACATGG	720	
	***	*****	*****
	← P0r P0dr →	EXON 7	
J	CGATTAGATAAGATAAAAGCAAGAATGTATGAACTTGCCAAC ATTGTGAATGAGATT	590	
B	CGATTAGATAAGATAAAAGCAAGAATGTATGAACTTGCCAAC ATTGTGAATGAGATT	780	
	*****	*****	*****
	← P2r		
J	CAGATACCTGTATATGCATGTAGCACTGGTGGCCTAGAAATTGTC GGAGATAA	650	
B	AAGATACCTGTATATGCATGCAGCACTGGTGGCCTAGAAATTGTC GGAGATAA	840	
	*****	*****	*****
	P4d →		
J	GATTACCGTGAAGCCGGACGTGGATTATACTTGAATTCAATTGCA GAATGGAGAAAAAC	710	
B	GATTACCGTGAAGCCGGACGTGGATTATACTTGAATTCAATTGCA GAATGGAGAAAAAC	900	
	*****	*****	*****
	← P4irD P4ir →		
J	AGATTGCTGACTCGAAAAACATGATAATGCTCAGTTACTCACAGCAATTG CTTC	770	
B	AGATTGCTGACTCGAAAAACATGATAATGCTCAGTTACTCACAGCAATTG CTTC	960	
	*****	*****	*****
J	TGGACCAACTATAGGATATGCTTACATAGGCAGCATGTGCCACCCGAAGCGTTCTGTAGG	830	
B	TGGACCAACTATAGGATATGCTTACATAGGCAGCATGTGCCACCCGAAGCGTTCTGTAGC	1020	
	*****	*****	*****
	← P4r		
J	AATTGTTCAAGGATTATAGCC CAATAAATCTTGTGGTTGC TGTATAATGGCCATGAGAT	890	
B	AATTGTTCAAGGATTATAGCC CAATAAATCTTGTGGTTGC TGTATAATGGCCATGAGAT	1080	
	*****	*****	*****
	Exon V P11d →		
J	GGGTCTATAATTGG SCATTTCATCATGACACAG GGTCTGTTCTGTGGATTACCCATG	950	
B	GGGTCTATAATTGG SCATTTCATCATGACACAG ATTCTGTTCTGTGGATTACCCATG	1140	
	*****	*****	*****
	Exon X P11r P9d →		
J	CATTATGGGTCCCACGATAAGCAATGAA ACCTTCGAAATTTC CAGCAATTGTAGTTAT	1010	
B	CATTATGGGTCCCACGATAAGCAATGAA ACCTTCGAAATTTC CAGCAATTGTAGTTAT	1200	
	*****	*****	*****
J	CCAATGTTGGACTTTATTATGAATCACAACCCAGAATGCATTATCAATGAACCC TTGGG	1070	
B	CCAATGTTGGACTTTATTATGAAGGAGAACCCACAATGCATTCTCAATGAACCC TTGGG	1260	
	*****	*****	*****
	P6d →		
J	AACAGATATTATTCACCTCCAGTTGTGGAAATGAAC TTTGGAGGTGGGAGAA GAATG	1130	
B	AACAGATATTGTTCACCTCCAGTTGTGGAAATGAAC TTTGGAGGTGGGAGAA GAATG	1320	
	*****	*****	*****

		Exon W	
J	TGACTGTGGAACT CCTGAAAATTGTCAAAATGAGTGCTGCGATGCTGCAACGTGTAAACT		1190
B	TGACTGTGGCACT CCTGAAAATTGTCAAAATGAGTGCTGCGATGCTGCAACGTGTAAACT		1380
	*****	*****	*****
		← P6r P7d →	
J	GAAATCAGGGTCACAGTGTGGA CATGGAGACTGTTGTGAGC AATGCAAATTAGCAAATC	Exon Y	1250
B	GAAATCAGGGTCACAGTGTGGA CATGGAGACTGTTGTGAGC AATGCAAATTAGCAAATC		1440
	*****	*****	*****
		← P7r P12d →	
J	AGGAACAGAATGCCGGGCATCAATGAGTGAAATGTGACCC GGCTGAACACTGCACTGG CCA		1310
B	AGGAACAGAATGCCGGGCATCAATGAGTGAAATGTGACCC GGCTGAACACTGCACTGG CCA		1500
	*****	*****	*****
		← P12r	
J	ATCTCTGAGTGTCTGCAGATGTCTTCCATAAGAACGACAACCATG CCTAGATAACTA		1370
B	ATCCCTGAGTGTCTGCAGATGTCTTCCATAAGAACGACAACCATG CCTAGATAACTA		1560
	***	*****	*****
		P10d →	
J	CGGTTACT TGCTACAATGGGAATTGCCCATCATGTATCACCAATGTTATGCT CTCTTTGG		1430
B	CGGTTACT TGCTACAATGGGAATTGCCCATCATGTATCACCAATGTTATGCT CTCTTTGG		1620
	*****	*****	*****
		Exon H	
J	TGCAGATGTT TATGAGGCTGAAGATTGATGCTTCAAAGATAACCAGAAAGGCAATTATTA		1490
B	TGCAGATGTT TATGAGGCTGAAGATTGATGCTTCAAAGATAACCAGAAAGGCAATTATTA		1680
	*****	*****	*****
		P8d → ← P10r	
J	TGGCTACTGCAGAAAGGAAATGGTAAAAA GATTCCATGTGCACCGAGAAG ATGTAAAATG		1550
B	TGGCTACTGCAGAAAGGAAATGGTAAAAA GATTCCATGTGCACCGAGAAG ATGTAAAATG		1740
	*****	*****	*****
		Exon Z P8id →	
J	TGGCAGGTTATACT GCAAAGATAATTCACCTGGACAAAATAATCCTTGCAAGATGTTCTA		1610
B	TGGCAGGTTATACT GCAAAGATAATTCACCTGGACAAAATAATCCTTGCAAGATGTTCTA		1800
	*****	*****	*****
		P5d → ← P8r	
J	TTCCAACGATGATGAACATAAGGGAATGGTTCT TCCTGGAACAAAATGTGCAGATGGAAA		1670
B	TTCCAACGATGATGAACATAAGGGAATGGTT TCCTGGAACAAAATGTGCAGATGGAAA		1860
	*****	*****	*****
		Exon K	
J	GGTGTGCAGCAACGGGCATTGTGTTGATGTGGCTACAGC CTACTAGTCAACCTCTGGCTT		1730
B	GGTGTGCAGCAACGGGCATTGTGTTGATGTGGCTACAGC CTACTAGTCAACCTCTGGCTT		1920
	*****	*****	*****
		← P5r	
J	TGATTTGGAGATCCTCCTCCAGAAGGTTGGCTTCTCTCAAG TCCAAGAGATCCCATC		1790
B	TGATTTGGAGATCCTCCTCCAGAAGGTTGGCTTCTCTCAAG TCCAAGAGATCCCATC		1980
	*****	*****	*****
		P3d →	
J	TGCCTGCATCTTAC TAGTAAATCACTCTTAGCTCCAGATGGCATCTAAATTCTGCAATA		1850
B	TGCCTGCATCTTAC TAGTAAATCACTCTTAGCTCCAGATGGCATCTAAATTCTGCAATA		2040
	*****	*****	*****
J	TTTCTCACCATATTTAC-----CCTTTGCTGTAATCAAACCTTCCCCACCACCA		1902
B	TTTCTCACCATATTTAATCTGTTACCTTTGCTGTAATCAAACCTTCCCCACCACCA		2100
	*****	*****	*****
J	A-GCTCCATGGGCATGTACAACACCAAAGGCTTATTGCTGTCAGAAAAAAATGGCCA		1961
B	AAGCTCCATGGGCATGTACAACACCAAAGGCTTATTGCTGCCAGAAAAAAATGGCCA		2160
	*	*****	*****

J	TTTTATACCGTTGCCAATTGCAGAGCACATTAATACAAGAACGTTCTGCCTTTGAGC	2021
B	TTTTATACCGTTGCCAATTGCAGAGCACATTAATACAAGAACGTTCTGCCTTT-GAGC	2219

J	TGGTGTGTTCGAAGTCAATGCTTCCTCTCCAAAATTGTATGGCTGGCTTCCAACGAT	2081
B	TGGTGTATTGCAAGTCAATGCTTCCTCTCCAAAATT-TGTG-CTGGCTTCCA-GAT	2276

J	GTA <u>GCTGCTTCCATCAATAAACT</u> ATTTCATTCATTCTGCA	2218
B	GTAG <u>GCTGCTTCCATCAATAAACT</u> ATTTCATTCATTCTGCA	2333

← P3r

ANEXO B – Alinhamento TOX1 e TOX2

Alinhamento da TOX1 (S) e TOX2 (I) com as sequências de nucleotídeos (cDNA) da jararagina e bothropasina. Todos os *primers* utilizados estão indicados (negrito). Os exons e íntrons delimitados estão representados em letras maiúsculas e minúsculas, respectivamente. As posições de nucleotídeos de identidade entre as sequências são indicadas por asteriscos. Os trechos da sequência em verde e rosa indicam as regiões ainda em fase de sequenciamento. A sequência de aminoácidos (maiúsculo e itálico) refere-se à bothropasina e jararagina. Os motivo *cysteine switch* e ECD estão indicados em cinza e vermelho, respectivamente. Os diferentes domínios protéicos estão separados por uma linha vertical.

5' UTR Pbd →

B	GCACGAGAGA ACTCAGATTG	GCTTGAAGGA AGGAAGAGAT	TGCCTGTCTT CCAGCCAAAT
S	GCACGAGAGA ACTCAGATTG	GCTTGAAGGA AGGAAGAGAT	TGCCTGTCTT CCAGCCAAAT
I	GCACGAGAGA ACTCAGATTG	GCTTGAAGGA AGGAAGAGAT	TGCCTGTCTT CCAGCCAAAT

Peptídeo Sinal Exon 1

B	CCAGCCTCCA AAATGATTGA AGTTCTCTTG GTGACTATAT	GCTTAGCAGC TTTTCCTTAT
b	M I E V L L V T I C L A A F P Y	
S	CCAGCCTCCA AAATGATTGA AGTTCTCTTG GTGACTATAT	GCTTAGCAGC TTTTCCTTAT
I	CCAGCCTCCA AAATGATTGA AGTTCTCTTG GTGACTATAT	GCTTAGCAGC TTTTCCTTAT

B CAAGG
B Q G **Intron 1**
S CAAGGtaaga tggctatgtt gatgggttgt gtttgggat ttatgttga caatggacca
I CAAGGtaaga tggctatgtt gatgggttgt gtttgggat ttatgttga caatggacca

S acccaacaga ttgctatgtt gatgggttgt gtttgggat ttatgttga caatggacca
I acccaacaga ttgctatgtt gatgggttgt gtttgggat ttatgttga caatggacca

S aaatttgctc catttcagtt tctacagatt tagcaataga atggctcaa gggtcacatt
I aaatttgctc catttcagtt tctacagatt tagcaataga atggctcaa gggtcacatt

S tgttctaaat tgacataaat gtttcttg tatgttctta aatgttgc agccatgagc
I tgttctaaat tgacataaat gtttcttg tatgttctta aatgttgc agccatgagc

Pbd →
S agatcctaag aaaaaaagtc ctaagatctt cagaagaaaa **gcatgttaaa gtggagaga**
I agatcctaag aaaaaaagtc ctaagatctt cagaagaaaa **gcatgttaaa gtggagaga**

S acatgttca gtgatgttagt tttaaaaaaa gtttagagg actgaagagg acagagagac
I acatgttca gtgatgttagt tttaaaaaaa gtttagagg actgaagagg acagagagac

S agagttgtg gcaagaaaat ttcagaaagc aaacaaaatg ttaaagaaaa ataaagtgtt
I agagttgtg gcaagaaaat ttcagaaagc aaacaaaatg ttaaagaaaa ataaagtgtt

S tttgggttta atttcttgc aataggtaa tttagccatcc tgtaattaaa cttacataat
I tttgggttta atttcttgc aataggtaa tttagccatcc tgtaattaaa cttacataat

S attcagccaa acaaaagcta ttgctattgc tacagagaat cttcaaacta cagtcaagat
I attcagccaa acaaaagcta ttgctattgc tacagagaat cttcaaacta cagtcaagat

S aatatgacat taactttct caatgcaaga tttgaatta tcttaaattt tttcttccct
I aatatgacat taactttct caatgcaaga cttgaatta tcttaaattt tttcttccct

S tggttgattc aattgattca gaagttgcc aacacaacta agggtagag acttata
I tggttgattc aattgattca gaagttgcc aacacaacta agggtagag acttata

S aacttgcttg cttagtagtg gagttgaacc cctccatga ttctgggagc atcaggt
I aacttgcttg cttagtagtg gagttgaacc cctccatga ttctgggagc atcaggt

S aatggtagg tacataaata gatgtgagga agatgtattc ttctgtctcg gggtgctcat
I aatggtagg tacataaata gatgtgagga agatgtattc ttctgtctcg gggtgctcat

S cagtcgtgaa aaacacattt ccagggccca acgttagttt ctctttct cagtcgtct
I cagtcgtgaa aaacacattt ccagggccca acgttagttt ctctttct cagtcgtct

S ctctgtctca attcctatag gtgttggct agcagtttct ttccgtacc ctgtggtat
I ctctgtctca attcctatag gtgttggct agcagtttct ttccgtacc ctgtggtat

S tgataacttga gtttatttctt tggttccac ttgcaactat aagcacaacc ttacccctcc
I tgataacttga gtttatttctt tggttccac ttgcaactat aagcacaacc ttacccctcc
***** ← Pbr
S cttccattaa tctgctaaca aatcttggtc tcagttgtga ttgtacgtcc aagagaacgt
I cttccattaa tctgctaaca aatcttggtc tcagttgtga ttgtacgtcc aagagaactt

S gcagtgtcag gctgccattt tcacaaaata agttaaggaa caaatatcag gtgaccatcc
I gcagtgtcag actgccattt tcacaaaata agttaaggaa caaatatcag gtgaccatcc

S aatgtccata tggggaccag ctccaaattt ttcagctatt agtcaaattc tgaaatcact
I aatgtccata tggggaccag ctccaaattt ttcagctatt agtcaaattc tgaaatcact

S acattattta catgttctta ggtgttccgg tgataattat gatgttgtgg gttgtccata
I atattattta catgttctta gatgtccag tgataattat gatgttccgg gttgtccata

S	tgtcagttag	tgttaagaag	gaattaaaa	acacaggaa	tgttacttg	gttagttaaa
I	tgtcagttag	tgttaagaag	ggattgaaaa	acacaggaa	tgttgacttg	gttagttaaa
	*****	*****	*	*****	*****	*****

← P1rr

S	ctgacctaac	aatattctct	tctgttgctt	ctccatctct	gatctaccct	tttccactat
I	ctgacctaac	aatattctct	tctgttgctt	ctccatctct	gatc-accct	tttccac-at
*	*****	*****	*****	*****	***	*****

Exon 4

P0d →

B	TTTCCAACAG	TGAAGCCCAT	GCAGTCTTCA	AATATGAAAA	T<u>GTAGAAAAG GAGGATGAGG</u>
b	S N S E A H	A V F K Y E N	V E K E D E A		
J	TTCCCGACAG	TGAAGCCCAT	GCAGTCTTCA	AATATGAAAA	T<u>GTAGAAAAG GAGGATGAGG</u>
j	P D				
S	TT <u>CCCGACAG</u>	TGAAGCCCAT	GCAGTCTTCA	AATATGAAAA	T<u>GTAGAAAAG GAGGATGAGG</u>
s	P D				
I	TTCCCGACAG	TGAAGCCCAT	GCAGTCTTCA	AATATGAAAA	T<u>GTAGAAAAG GAGGATGAGG</u>
i	P D				

Cysteine switch

P1

Cysteine switch ← 11

B	C CCCCAAAAT	GTGTGGGTA	ACCCAGAATT	GGAAATCATA	TGA	ACCCATC	AAAAAGGCCT
b	P K M	C G V	T Q	N W	K S Y	E P I	K K A S
J	C CCCCAAAAT	GTGTGGGTA	ACCCAGAATT	GGAAATCATA	TGA	ACCCATC	AAAAAGGCCT
S	C CCCCAAAAT	GTGTGGGTA	ACCCAGAATT	GGAAATCATA	TGA	ACCCATC	AAAAAGGCCT
I	C CCCCAAAAT	GTGTGGGTA	ACCCAGAATT	GGAAATCATA	TGA	ACCCATC	AAAAAGGCCT

Catalítico

B **CTC**AGTTA GTTGT_TACTG CTGAA
b Q L V V T A E

J CTCAGTTA GCTTTACTG CTGAA

Intron 4

5' CTGACTTA GTTCTTACTC 3' GTCAGatccgg ctatctatattt aaaaatgtttt tggggggggg

CAGTTA GTTGTACTTG
C U E A

T **C**TCAAGTTA GTTCTTACTC

1 V L H

* * * * * * * * * * * * * * * *

I tagatagaat tcaaaaggga ggacccccc ttcttat tttatttctag ctatgggata
***** ***** *** ***** * ***** * ***** * ***** * * ***** ***

S agtgaagaat gcttatctca cacatctctg aacatggaaa tatagcatcc aatttaggaa
 I agtgaagaat gcttatctca cacatctctg aacatggaaa tatagcatcc aatttaggaa

S agcatttcag tagtttgacc aaattttct cccaccagga aaaaagccca tgaatgctgc
 I agcatttcag tagtttgacc aaattttct cccaccagga aaaaagccca tgaatgctgc

S tgaaaagtta aaaaccttaa tatattaatg gtacaaatat agattaaaaa atcagcacaa
 I tgaaaagtta aaaaccttaa tatattaatg gtacaaatat agattaaaaa atcagcacaa

S aatcagcttc gataaaaatt attattatat caacaaattc aatgatcctt tcactgatat
 I aatcagcttc gataaaaatt attattatat caacaaattc aatgatcctt tcactgatat

S cttctttctc tccctccttc tttcccttcg tcctataatt agtcatctca tcttagacat
 I cttctttctc tccctccttc tttcccttcg tcctataatt agtcatctat acttagacat

Exon 6

← P0r

B TC ACAAAAAACA ATGGCGATT AGATAAGATA AAAGCAA **GAA**
 b T K N N G D L D K I K A R M
 J TC ACAAAAAACA ATGGCGATT AGATAAGATA AAAGCAA **GAA**
 S ttatcttt tctgtaggTC ACAAAAAACA ATGGCGATT AGATAAGATA AAAGCAA **GAA**
 I ttatcttt tctgtaggTC ACAAAAAACA ATGGCGATT AGATAAGATA AAAGCAA **GAA**

P0dr →

B **TGTATGA**ACT **TGCCAAC**ATT GTGAATG
 b Y E L A N I V N E
 J **TGTATGA**ACT **TGCCAAC**ATT GTGAATG **Intron 6**
 S **TGTATGA**ACT **TGCCAAC**ATT GTGAATGagg taagaggaca tggtaaatat atttcagttg
 I **TGTATGA**ACT **TGCCAAC**ATT GTGAATGagg taagaggaca tggtaaatat atttcagttg

S tggatttaa acatctctca gcccccagccc agattctcac gtgttcacac aacacacttg
 I ttgatTTaa acatctctca gcccccagccc agattttcac gtgttcacac aacacacttg
 * *****

S ttttcctgcc tgagcaaggg gttggactag atgactccaa ggtccctct aacttattat
 I ttttcctgcc tgagcaaggg gttggactag atgactccaa ggtccctct aacttattat

Microsatélite

S tattattatt attattatta ttattattat tattattatt attaagatgg atttctacaa
 I tattattatt attattatta ttattattat tattattatt attaagatgg atttctacaa

S gaatgcaatc tttgctggct ttgagtgagg caaaactaga tctttggtaa gctggtgatc
 I gaatgcaatc tttgctggct ttgagtgagg caaaactaga tctttggtaa gctggtgatc

S cagcatgtga ggccatcccc gaaaatggtt tattcagtaa cttaggttaat aagcctctta
 I cagcatgtga ggccatcccc gaaaatggtt tattcagtaa cttaggttaat aagcctctta

Eco RI

S tggaaatgca gccactgtgt tgggagaacg cagatccaaa agtcatgcaa gaattcaatc
 I tggaaatgca gccactgtgt tgggagaacg cagatccaaa agtcatgcaa gaattcaatc

S gaactatac tgttagctgga ttcttcagg tcatgggtga tggttccat cttggagatt
 I gaactatac tgttagctgga ttcttcagg tcatgggtga tggttctgat cttggagatt

S agaaaagaggt ggacagagtc agcctattcc aagctcagta gattatgaaa ctgatctctg
 I agaaaagagat ggacagagtc agcctattcc aagctcagta gattatgaaa ctgatctctg

S agaagaagcc tgcttataga agccaatgtc agttgcttt taatctgaa atgtttctca
 I agaagaagcc tgcttataga agccaatgtc agttgcttt taatctgaa atgtttctca

Exon 7

B AGATTTA
 b I L
 J AGATTTTC
 j F

S aagtttactt gagtttactt tgagtttctg attgatgccaa tttccacctg acAGATTTA
 I a-gtttactt gagtttactt tgagtttctg attgatgccaa tttccacctg acAGATTTA
 * *****

P4d → ← P2r

B AGATACTGT ATATGCATGC AGCACTGGTT GGCCTAGAAA TTTGGTCCAA TG**GAGATAAG**
 b R Y L Y M H A A L V G L E I W S N G D K
 J AGATACTGT ATATGCATGT AGCACTGGTT GGCCTAGAAA TTTGGTCCAA TG**GAGATAAG**
 S AGATACTGT ATATGCATGC AGCACTGGTT GGCCTAGAAA TTTGGTCCAA TG**GAGATAAG**
 I AGATACTGT ATATGCATGC AGCACTGGTT GGCCTAGAAA TTTGGTCCAA TG**GAGATAAG**

B **ATTACCGTGA** **AGCCGGACGT** GGATTATACT TTGAATTCAT TTGCAGAATG GAGAAAAACA
 b I T V K P D V D Y T L N S F A E W R K T
 J **ATTACCGTGA** **AGCCGGACGT** GGATTATACT TTGAATTCAT TTGCAGAATG GAGAAAAACA
 S **ATTACCGTGA** **AGCCGGACGT** GGATTATACT TTGAATTCAT TTGCAGAATG GAGAAAAACA

← P4ir P4irD →

B GATTGCTGA CTCGCAAAAA ACATGATAAT GCT**CAGTTAC** **TCACAGCAAT** TGAC
 b D L L T R K K H D N A Q L L T A I D
 J GATTGCTGA CTCGCAAAAA ACATGATAAT GCT**CAGTTAC** **TCACAGCAAT** TGAC
 C GATTGCTGA CTCGCAAAAA ACATGATAAT GCT**CAGTTAC** **TCACAGCAAT** TGAC

P13d →

B **TTCAATGGACCAACTATAGGATATGCTTACATAGGCAGCAGTGCCACCCGAAGCGTTCTGTAG**
 J **TTCAATGGACCAACTATAGGATATGCTTACATAGGCAGCAGTGCCACCCGAAGCGTTCTGTAG**
 ← P4r
 B **CAATTGTTGAGGATTATAGCC****CAATAAATCTTGTGGTTGCTGTTATAATGGCCCATGAGATGGG**
 J **GAATTGTTCAAGGATTATAGCC****CAATAAATCTTGTGGTTGCTGTTATAATGGCCCATGAGATGGG**
 B **TCATAATCTGG**
 J **TCATAATTGG**

S tgacgcttgc agcatcctgc attcatggga ttctcattgg ggactttccc agctgtcttc
I tgacgcttgc agcatcctgc attcatggga tcctcattgg ggactttccc agctgtcttc

S ccatatgcaa agccaatggaa gcaagctggg ccccttaatg attgtgtggt tcacttaaca
I ccatatgcaa agccaatggaa gcaagctggg ccccttaatg actgtgtgat tcacttaaca

S aagtggcaaa gccgggttgta aaacggagca cgactcactt aacaactggc ttgctggca
I aagcgcaac actgggttgta aaactgagca cgactcactt aacaactggc tagctggca

S gtggaaattc tgccccagtt gtgacag--a agtcaaggac taccaatgtt ttcttcggg
I atggaaattc tgccccatt gtgacagcca agtcaaggac tacccatatt ttcttcggg

S tggaagttt a ccccttactt catcaagaag gaaaaagaaaa aagaaaaaaag gaagcaaaat
I tggaagttt a ccccttactt catcaagaag gaaaaagaaaa aagaaaaaaag gaagcaaaat

S cttctcagca attgtctgtt gcaaaaactcc ccacaacttt tttgtatga gttttgtgt
I cttctcagca attgtctgtt gcaagactcc ccataatttta ttggtaatgt gttttgtgt

S ggctcagtga gcatccggc cattgatcaa ttctgggctt ctccggctaa agcccgagga
I ggctcagtga gcatccggc tattgatcaa ttctgggctt ctccggctaa agcctgaaga

S cttcattgcc tcccatattca tgcaaggca aggaggccag gaagtatgga gaatgccacg
I cttcattgcc tcccatattca tgcaaggca aggaggccag gaagtatgga gaatgccatg

S tagccttcc tgccttcct gaa-ggattt -ccgggcattc atgattcctc tttaataactt
I tagccttcc tgccttcct aatggattt gcccggcattc atgattcctc tttaataactt

S ctagacactt tgtgggttt tgtacggaag actttgttta ggaaacaatt ttgctca-at
I ctagacactt tatgggttt tgtacagaag actttgttta ggaaacaatt ttgctcatat

← P11rr
S taacccggcc aaagggggtct ggtgttaactt tgaccttgg agaagaagac **catctt****gtct****
I taacccacaa aaagggggtct ggcggatatt tgaccttgg agaagataac **catctt****gtct****

S attaatggc caccagcaga ttctcttgg cgttcgtgtt tccacccat aacttgagag
I attaatggc caccagcaga ttctcttgg ttttcttgg tccatccctt aatttgaggg

S ccaatgatta tattccaaat gatttgaatt aacatttagga aggtgcttcc ctgggcttat
I ccaatgatta tattccaaat gatttgaatt aacatttagga aggtgcttgc ctgggcttat

S gatgtcacaa gatgcagctc acaactaata tcacatggag ttctcattgc aaatgtattt
I gatgtcacaa gatgcagctc acaactaata tcacatggag ttctcattgc aaatgtattt

S tgttaaaaaa gaaaggaaag ttagtggaat taaaactgag ggagtataat ctgggactaa
 I tgttagaaaa gaaaggaaag ttagtggaat taaaactgag ggagcataat ctgggaccaa
 ***** * *** * ***** * ***** * ***** * **** * ***** * *****

S gatcaagggt tacgaagggt tctcttatct attctgttag cttagagaa aaaaatcact
 I gatcaagggt tacgaagggt tctcttatct atttgttag tttagagaa aaaaatcact
 ***** * ***** * ***** * *** * ***** * ***** * *****

S gcatttcctc attagccaac ctttttttc ttatatgtt ttgcaatgaa ttctgttcct
 I gcatttcctc attagccatc ctttttttc ttatatgtt ttgcaatgaa ttctgttcct
 ***** * ***** * ***** * ***** * ***** * ***** * *****

Exon X (178 pb)

B	C AATGAACCTT
b	N E P S
J	C AATGAACCTT
S	agtccaaata tgggtgatgt catggctta tttgggtca tctccacagC AATGAACCTT
I	agtccaaata tggatgatgt catggctta ttctgggtca tgtctacagC GATGAACCTT
*****	***** * ***** * ***** * ** * ***** * *** * ***** * *****
P9d → ← P11r	
B CGAAATTTC	CAGCAATTGT AGTTATATCC AATGTTGGGA CTTTATTATG AAGGAGAAC
b K F F	S N C S Y I Q C W D F I M K E N P
J CGAAATTTC	CAGCAATTGT AGTTATATCC AATGTTGGGA CTTTATTATG AATCACAAACC
j	M N H
S CGAAATTTC	CAGCAATTGT AGTTATATCC AATGTCGGGA CTTTATTACG AATCACAAACC
s	T N H
I CGAAATTTC	CAGCAATTGT AGTTATATCC AATGTCGGGA CTTTATTATG AATCACAAACC
i	M N H
*****	***** * ***** * ***** * ***** * ***** * * * *****

B CACAATGCAT	TCTCAATGAA CCCTTGGGAA CAGATATTGT TTCACCTCCA GTTTGTGGAA
b Q C I	L N E P L G T D I V S P P V C G N
J CACAATGCAT	TATCAATGAA CCCTTGGGAA CAGATATTAT TTCACCTCCA GTTTGTGGAA
j E	I G I
S CACAATGCAT	TCTCAATGAA CCCTTGAGAA CAGATATTGT TTCACCTCCA GTTTGTGGAA
s Q	L R V
I CACAATGCAT	TATCAATGAA CCCTTGGGAA CAGATATTGT TTCACCTCCA GTTTGTGGAA
i Q	I G I
*****	***** * ***** * ***** * ***** * ***** * *****

Desintegrina

P6d → ← P9r

B ATGAACTTT	GGAGGT GGG A GAA GAATGTG ACTGTGGCAC TCCTGAA
b E L L	E V G E E C D C G T P E
J ATGAACTTT	GGAGGT GGG A GAA GAATGTG ACTGTGGAAC TCCTGAA
j V	G I
S ATGAACTTT	GGAGAT GGG A GAA GAATGTG ACTGTGGCAC TCCTGA Agt agtcttttt
s V	G
I ATGAACTTT	GGAGGT GGG A GAA GAATGTG ACTGTGGCAC TCCTGA Agt agtcttttt
i V	G
*****	***** * ***** * ***** * ***** * * ***** * *****

Intron x

S taaaaaatc aacaagaata tgcagaattt tctcaaaaat gggatcctt gaaaaatcac
 I taaaaaatc aacaagaata tgcagaattt tctcaaaaat gggatcctt gaaaaatcac
 ***** * ***** * ***** * ***** * ***** * *****

S ctggctttgt aagtggtttgcgccatccaa aaggtcaatc tgtgaatggc atagatttg
 I ctggctttgt aagtggtttgcgccatccaa aaggtcaatc tgtgaatggc atagatttg

 S gtcctttatg tacatgcattg tatgaagggg tttcttggat ttggctaatac agttgttagag
 I gtcctttatg tacatgcattg tatgaagggg tttcttggat ttggctaatac agttgttagag

 S gaatggagaa ctggtatctc tctaccattt ggagaagacc acatatttt taaaatgggt
 I gaatggagaa ctggtatctc tctaccattt ggagaagacc acatatttt taaaatgggt

 S gattgaccac tccaagaaaa tccttccttc ctgaaaactc ccattttgtt gatatggcca
 I gattgaccac tccaagaaaa tccttccttc ctgaaaactc ccattttgtt gatatggcca

 S cattatctgt cccactattt tcttgagcca ctttctccc taactgatta tcttaatct
 I cattatctgt cccactattt tcttgagcca ctttctccc taactgatga tcttaatct

 S atgctctgat cctaataata ttataataaga acagtaattt acatttactc aatggcatg
 I atgctctgat cctaata---- ----- ----- -----

 S taagatgttag aatagccccgc agaagcaatg gggcatggca aacatctcaa gaagaacacc
 I -----

 S tcccacccat tctcttggtc tataaagatg aggtggtaga aatatactt cagtattgaa
 I -----

 S agattttct acagtcacct tacaatcagg gtaatgttaa tactcatggt tggtgcttct
 I -----

 S tctctggact ctcaaaggct ggcattgatta cgagaaaatt tctcatgaat aagaaaggat
 I tggatt---- ct-aaaggct ggcattgatta tgagaaaatt tttcatgaat aagaaaggat

 ** *****

 S tggggctgt aagtacgtgg gcttcacaat taggaaatga ggatatttt gtttattct
 I tggggctgt aagtacgtgg gcttcacaat taggaaatga ggatatttt gtttattct

 S tgtcagaggg aaatatcagg taaggctt tctcagagag atgtcattat ctgtggcaat
 I tgtcagaggg aaatatcagg taaggctt tctcagagag atgtcattat ctgcggcaat

 S aacaaacaat ttgtgcattt gctagcatga acccataaga gggAACACAT tgcagaaatg
 I aacaaacaat ttgtgcattt gctagcatga acccataaga gggAACACAT tgcagaaatg

 S tcttttcct tgacaatttc cctcttcaaa atacaccaat aaaaaaagac cagatagaaa
 I tcttttcct tgacagtttc cctcttcaaa atacaccaat aaaaaaagac cagatagaaa

 **** *

Exon W (90 pb)

B AATT GTCAAAATGA GTGCTGCGAT
 b N C Q N E C C D
 J AATT GTCAAAATGA GTGCTGCGAT
 S attctctgtc atcatttgat atgtttttgtt tttcagAATT GTCAAAATGA GTGCTGCGAT
 I attctctgac atcatttgat acgttttgtt tttcagAATT GTCAAAATGA GTGCTGCGAT
 ***** * ***** * ***** * ***** * ***** * ***** * ***** * *****
 ← P6r P7d →
 B GCTGCAACGT GTAAACTGAA ATCAGGGTCA CAGTGTGGAC **ATGGAGACTG TTGTGAGCAA**
 b A A T C K L K S G S Q C G H G D C C E Q
 J GCTGCAACGT GTAAACTGAA ATCAGGGTCA CAGTGTGGAC **ATGGAGACTG TTGTGAGCAA**
 S GCTGCAACGT GTAAACTGAA ATCAGGGTCA CAGTGTGGAC **ATGGAGACTG TTGTGAGCAA**
 I GCTGCAACGT GTAAACTGAA ATCAGGGTCA CAGTGTGGAC **ATGGAGACTG TTGTGAGCAA**
 ***** * ***** * ***** * ***** * ***** * ***** * *****

B TGAAA
 b C K
 J TGAAA **Intron w**
 C TGCAAAgtaa gacttgttta tgtttaacac caggagagat tttattctgc tccatactag
 C ccatacagaa atggctgttt actaacccctc ttccctctccc ctcttccag tttattttac
 C ccttatgaac atatccatag ggaagataat ttaacaaaat ttcaagccttg tctcaatctc
 C aaatgcactc ttccagcatg ttaaaacgta tctgtaaaaa taatataattt ctctttgac
 C tgggcccta actcagcttc ctgactttct ggaagcttct aagaggtccc tggtaatgct
 C tgagattgca tggaaaccca gtttaaacaa ggataggcaa tatttgagat gtgacatttt
 C ctctctgag ctttttagga tggaaatagg tgcaggagac ttctggaagt aaagttgctt
 C tttccccac cttaagtttc tacctgctct ctaaaagctc taaattcagg tgtttgatg
 C gctgcaggac catgaaaaga gaggtgcaag ttactcattt cttcttcta tgtggatcc
 C cagttgactc tgtaatgaac ttttgagca gagtggccca aaacattttg ttatttccat
 C atttccatca caagcctaga ttcacaacaa gagaaggaa ccacatgtt ttcaagcatga
 C gacagaaaat gctatgaatg cttcttcca tgtaaagaaa taaaatacat catgagatgt
 C tcagcaattc acttttgct gctttacat gacagccac ttgattttcc ctatggtc
 C agccaacagg tagaacttgt ctccaggaa ttgagcctt cattgcattc atttccccac
 C agcaaataag acagagtggg acttctaggc cccacacaga gttgttagcag ggaagggatg
 C cttgcttgg tgatcctcaa gacagatgaa gaggaggtt tgaaatgtgt tgtgaaccat
 C ggtttgactc tttgatctct gctgctgaag agtgatagct gggagtattt ttgattctca

Exon Y (196 pb)

B TTT AGCAAATCAG GAACAGAATG CCGGGCATCA ATGAGTGAAT GTGACCC **GTC**
 b F S K S G T E C R A S N S **E C D** P A
 J TTT AGCAAATCAG GAACAGAATG CCGGGCATCA ATGAGTGAAT GTGACCC **GTC**
 C cccacag TTT AGCAAATCAG GAACAGAATG CCGGGCATCA ATGAGTGAAT GTGACCC **GTC**
 ***** * ***** * ***** * ***** * ***** * ***** * ***** * *****

← P7r P12d →

B **TGAACACTGC ACTGG**CCAAT CCTCTGAGTG TCCTGCAGAT GTCTTCATA AGAATGGACA
 b E H C T G Q S S E C P A D V F H K N G Q
 J **TGAACACTGC ACTGG**CCAAT CTTCTGAGTG TCCTGCAGAT GTCTTCATA AGAATGGACA
 C **TGAACACTGC ACTGG**CCAAT CCTCTGAGTG TCCTGCAGAT GTCTTCATA AGAATGGACA
 ***** * ***** * ***** * ***** * ***** * ***** * *****

← P12r

Rico em Cisteina

B ACCATG **CCTA GATAACTACG GTTACT** TGCTA CAATGGAAAT TGCCCCATCA TGTATCACCA
 b P C L D N Y G Y C Y N G N C P I M Y H Q
 J ACCATG **CCTA GATAACTACG GTTACT** TGCTA CAATGGAAAT TGCCCCATCA TGTATCACCA
 C ACCATG **CCTA GATAACTACG GTTACT** TGCTA CAATGGAAAT TGCCCCATCA TGTATCACCA

B ATGTTATGCT CTCTTGGTG CAG

b C Y A L F G A D

J ATGTTATGCT CTCTTGGTG CAG **Intron y**C ATGTTATGCT CTCTTGGTG **CAGgt** aactttagga ttccagaata gtgggttat
 ***** * ***** ***

C aaaagattaa gacagtcat gccattaatg aaagatattt ttcctttgt atccataata

C aatcatcatt agatttcttt tctataactg agtttgaagg aaccttggag gtcttctagt

C ccacccct gctcaagcag gaagccttat accattcca atctcttctt taaaaaacct

C ccagtgtgg aacaccaga acttctgaag gtctttcca gaaagaatat tttttttaa

C gattaaagcc tccattcttt gtaagctta gagcccagag atggacttg ggggaaggat

C gctttgtga gttattcata cgccccaaa ttggagaaag atctgagcca ctcttaatga

C aagataatgt aaattgaaca tgggactatg cgctaagagt attcaaacct gcaactgaag
 Pyd →C ttttccttac atttggccat aataantgaa gaacagatgt tgggggttg tcatt **ttac**C **attgacactc gtc**attaat gcagtctata caaaattca gcatg cattt taatgccag

C tctattacaa atttcagca tggtttata ttgaaaaaga aactgaaata ctgcacacaa

C tatttccaaa gcattataaa gtggactaa cactcatgt aatcttgatt ttatccctct

C gttagtgtag cctaattata gtgtaaaacg attctgccac tattgcaaaa gtgtagccct

C gattatgtgg gatttttgc agttgcaaca cactgctggc tcttatttaa gtgattgtcc

C actagggctc caagattcct ctcacagttta ctaatattga gccaggtatc acctcttctg

C tgtatttgg ttttcttcc tgaatgtaga ttgggttgtt ttttacttt ttgcgttagaa

C atttaatttt ctttagattgg gctcaatgtt caaaagatcc ttgtggatcc ttaagcctat

C cttctggaga gattgctatt cctgccagta tgggtttctc tgcaaattta ttgagttccc
 C cttccaccct cttgtctaaa ttgtttatga agggtcaggt atcatgtgat gaagattggg
 C aatctgaatt acaaattcaga acgttgctca acttgcata ttaattgatc aattgttatt
 C ttgatcaggt aaatagcata aatgaggtaa ctccaaaga atagaaaag ctcagtagt
 C tgcaagtaat ccaattgtat tcaaagaggt ttgtgccag gaattgacag gtctcaaact
 C agaatgacac atgatggta tttcaagctg aattcttct tgttcattc ctatagtcaa
 C aatcttgcca gataaggact ctactaattt cattacaat taccctctgt aaactattag
 C ggaggagatg tcgtcaccct cttttctca cactttat ccaggcagag ttgcctctta
 C ctcctctgga tttcaccctt cccttctggg aatccatttc ttcacggcat tccagcacag
 C gaatgtatcc atgatagagc taaagttgaa aaatgtggac acagaaagaa atctggattc
 C agattcccct acagtcattt atttaccaca tggtcttctg caagggacat tggact
 ← P10rr
 C ttcctttgt gtcaagaaaa tagaataagc aagtttagtg taacactgta tgc**gatagt**

C **aagcttcat aat** gaggaat agttaataa gtaagtcaat attaactaaa ttattnagaa

C cacctctgaa atcactttag ccattcttt tcctgctggc atgttacaca ttcatgtatt
Exon H

B	AT	GTTTATGAGG	CTGAAGATTC	ATGCTTCAAA						
b	V	Y	E	A	E	D	S	C	F	K
J	AT	GTTTATGAGG	CTGAAGATTC	ATGCTTCAAA						
C	tgtcttggtt	cctcactccc	tcttacag	AT	GTTTATGAGG	CTGAAGATTC	ATGCTTCAAA			
	*****	*****	*****	*****	*****	*****	*****	*****	*****	*****

← P10r

B	GATAACCAGA	AAGGCAATTAA	TTATGGCTAC	TGCAGAAAGG	AAAATGGTAA	AAA	<u>GATTCCA</u>													
b	D	N	Q	K	G	N	Y	Y	G	Y	C	R	K	E	N	G	K	K	I	P
J	GATAACCAGA	AAGGCAATTAA	TTATGGCTAC	TGCAGAAAGG	AAAATGGTAA	AAA	<u>GATTCCA</u>													
C	GATAACCAGA	AAGGCAATTAA	TTATGGCTAC	TGCAGAAAGG	AAAATGGTAA	AAA	<u>GATTCCA</u>													
	*****	*****	*****	*****	*****	*****	*****	*****	*****	*****	*****	*****	*****	*****	*****	*****	*****	*****	*****	

P8d →

B	<u>TGTGGACCAAG AAG</u>	ATGTAAAAATGTGGCAGGTTATACT																		
b	C	A	P	E	D															
J	<u>TGTGCACCAAG AAG</u>	ATGTAAAAATGTGGCAGGTTATACT																		
C	<u>TGTGCACCAAG AAG</u>	*****																		

P8id →

Exon Z

B	<u>GCAAAGATAA TTCACCTGGA</u>	CAAAATAATC	CTTGCAAGAT	GTTCTATTCC	AACGATGATG															
b	K	D	N	S	P	G	Q	N	N	P	C	K	M	F	Y	S	N	D	D	E
J	<u>GCAAAGATAA TTCACCTGGA</u>	CAAAATAATC	CTTGCAAGAT	GTTCTATTCC	AACGATGATG															
j																				
C	<u>GCAAAGATAA TTCACCTGGA</u>	CAAAATGATC	CTTGCAATTAA	CTACTATTCA	TCCAGGCATG															
c																				
	*****	*****	*****	*****	*****	*****	*****	*****	*****	*****	*****	*****	*****	*****	*****	*	*****	*	***	

← P8r P5d →

B AACATAAGGG AATGGTT **CTT CCTGGAACAA AATGTGCAGA** TGGAAAGGT
 b H K G M V L P G T K C A D G K V
 J AACATAAGGG AATGGTT **CTT CCTGGAACAA AATGTGCAGA** TGGAAAGGT
 j H **Intron z**
 S AAAATAAGGG AATGGTT **CTT CCTGGAACAA AATGTGCAGA** GGGAAAGGTt agtaaaagat
 s N E
 I AAAATAAGGG AATGGTT **CTT CCTGGAACAA AATGTGCAGA** GGGAAAGGTt agtaaaagat
 ***** * ***** * ***** * ***** * ***** * ***** * ***** * ***** * *****

S tacctctcat ctttgtgttc taaagtctga ttc----- ---t-aagggt gtgatcacta
 I tacctctaatt ctgtgtgctc taaagtgtga ttccatgggg tgatcaa
 ***** * ***** * ***** * *** * *** * *

S attctttttt gcaatcgatc aatgctgaaa gctggcctag attttcaaag tacagagaat
 S ctgcataaaaaaa gaaaaagtat ccatccatct atccttcttt tggttgtgt tattttgctt
 S ttccctcaaa gaacaacccc aacgaatgag gtggatgtcc agggctgttt ctttcttcca
 S agacaaaaat gcctggcctt ctcagagcct tgtgcttctc tctcac---- -----
 S ----- ----- ----- --agcatctt ctggacagac -----agaga
 I taaaataatt ttgcaatcga tcaatgctgt aaagcatctt ctggacagac tgtcaagaga
 ***** * ***** * ***** * ****

S cagtccttcc tctgaacttg taggcatctc catagggaaag gtggaaagaga gaaatgagaa
 I cagtccttcc tctgaacttg taggcatctc catagggaaag gtggaaagaga gaaatgagaa
 ***** * ***** * ***** * ***** * ***** * ***** * ***** * *****

S aatcagggca gagctggttg tgacctaaca atgaagccac ttagaaatgc tgaagcaaac
 I aatcagggca gagctggttg tgacctaaca atgaagccac ttagaaatgc tgaagcaaac
 ***** * ***** * ***** * ***** * ***** * ***** * ***** * *****

S ccaaaaactta cctgaaagga tcaggaatca cttccccttg attttagaa cctgaaagaa
 I ccaaaaactta cctgaaagga tcaggaatca cttccccttg attttagaa cctgaaagaa
 ***** * ***** * ***** * ***** * ***** * ***** * ***** * *****

S gtttgggtta gttataagga atgacagagt ttgggtgtgt agaaaaagtgc tgccttactc
 I gtttgggtta gttataagga atgacagagt ttgggtgtgt agaaaaagtgc tgccttactc
 ***** * ***** * ***** * ***** * ***** * ***** * ***** * *****

Exon K

B GTGCAGCAA CGGGCATTGT GTTGATGTGG
 b C S N G H C V D V A
 J GTGCAGCAA CGGGCATTGT GTTGATGTGG
 S cattgataat ctcttgcttt gactttcagg tCTGCAGCAA CAGGCAGTGT GTTGATGTGA
 S T
 I cattgataat ctcttgcttt gactttcagg tCTGCAGCAA CAGGCAGTGT GTTGATGTGA
 ***** * ***** * ***** * ***** * ***** * ***** * *****

3' UTR

B CTACAGCCTA CTAGTCAACC TCTGGC---- -----TTTG ATTTTGGAGA TCCTCCTTCC
 b T A Y
 J CTACAGCCTA CTAGTCAACC TCTGGC---- -----TTTG ATTTTGGAGA TCCTCCTTCC
 S CTACAGCCTA CTAATCAACC TCTGGCTTCT CTCAGATTG ATTTTGGAGA TCCTCCTTCC
 I CTACAGCCTA CTAATCAACC TCTGGCTTCT CTCAGATTG ATTTTGGAGA TCCTCCTTCC
 ***** * ***** * ***** * ***** * ***** * ***** * *****

← P5r P3r →

B AGAAGGTTTG GCTTCTCTCA AGTCCAAAGA GATCCATCTG CCTGCATCTT **ACTAGTAAAT**
J AGAAGGTTTG GCTTCTCTCA AGTCCAAAGA GATCCATCTG CCTGCATCTT **ACTAGTAAAT**
S AGAATGTTTG GCTTCCTGT AGTCCAAAGA GATCCATCTG CCTGCATCTT **ACTAGTAAAT**
I AGAATGTTTG GCTTCCTGT AGTCCAAAGA GATCCATCTG CCTGCATCTT **ACTAGTAGAT**

B CACTCTTAGC TTCCAGATGG CATCTAAATT CTGCAATATT TCTTCACCCT ATTAAATCTG
J CACTCTTAGC TTCCAGATGG CATCTAAATT CTGCAATATT TCTTCACCCT ATTTAC---
S CACTCTTAGC TTCCAGATGG CATCCAAATT CCGCAATGTT TCTTCTCCAT ATTAAATCTG
I CACTCTTAGC TTCCATATGG AATCTAAATT ACGCAATATT TATTCTCCAT ATTAAATCTG

B TTTACCTTT GCTGTAATCA AACCTTTCC CCACCAACAA GCTCCATGGG CATGTACAAC
J ----CCTTT GCTGTAATCA AACCTTTCC CCACCAACAA GCTCCATGGG CATGTACAAC
S TTTACCTTT GCTGTAATCA AACCTTTCC CCGCCACAA GCTCCATGGA CATGTACAAC
I TTTACCTTT GCTGTAATCA AACCTTTCC CCACCATAAA GCTCCATAGG CATGTACAAC

B ACCAAAGGCT TATTTGCTGC CAAGAAAAAA AATGCCATT TTATACCGTT TGCCAATTGC
J ACCAAAGGCT TATTTGCTGT CAAGAAAAAA AATGCCATT TTATACCGTT TGCCAATTGC
S ACCAAGAGCT TATTTGCTGT CAA-AAAAAA TATGCCATT TTA--CCGTT TGCCAATTGT
I ACCAAAGGCT T----- -----TATT TTA--CCGTT TGCCAATTGC

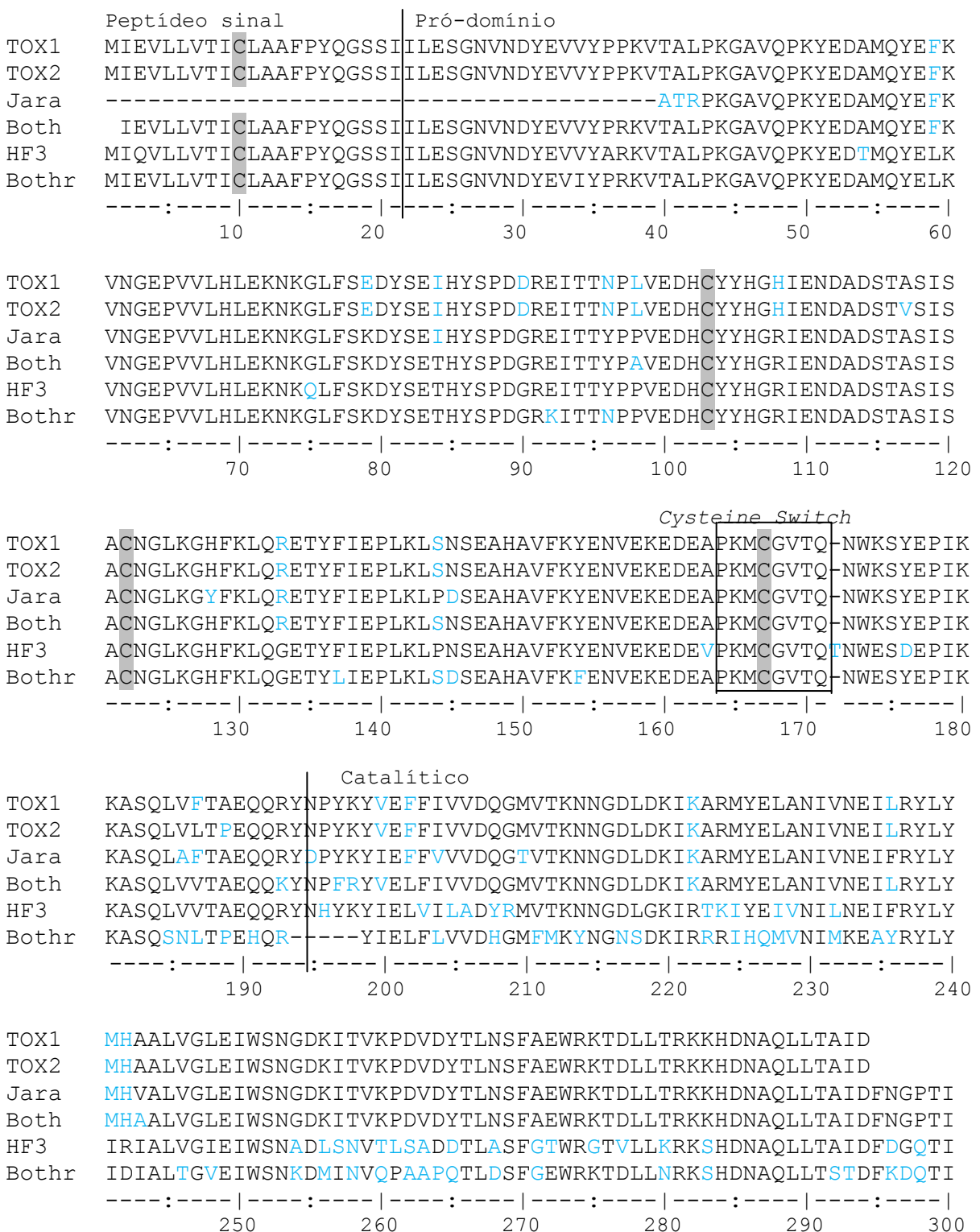
B AGAGCACATT TAATACAAGA AGTTCTGCCT TTT-GAGCTG GTGTATTCGA AGTCAATGCT
J AGAGCACATT TAATACAAGA AGTTCTGCCT TTTT-GAGCTG GTGTATTCGA AGTCAATGCT
S A-AGCACATT TAATGCAACA AATTCTGGCT TTT-GGGTTG GTGTATTCGA AGTCGATGCT
I A-AGCACATT TAATGCAACA AGTTCTGCCT TTT-GAGCTG GTGTATTCAA AGTCAATGCT

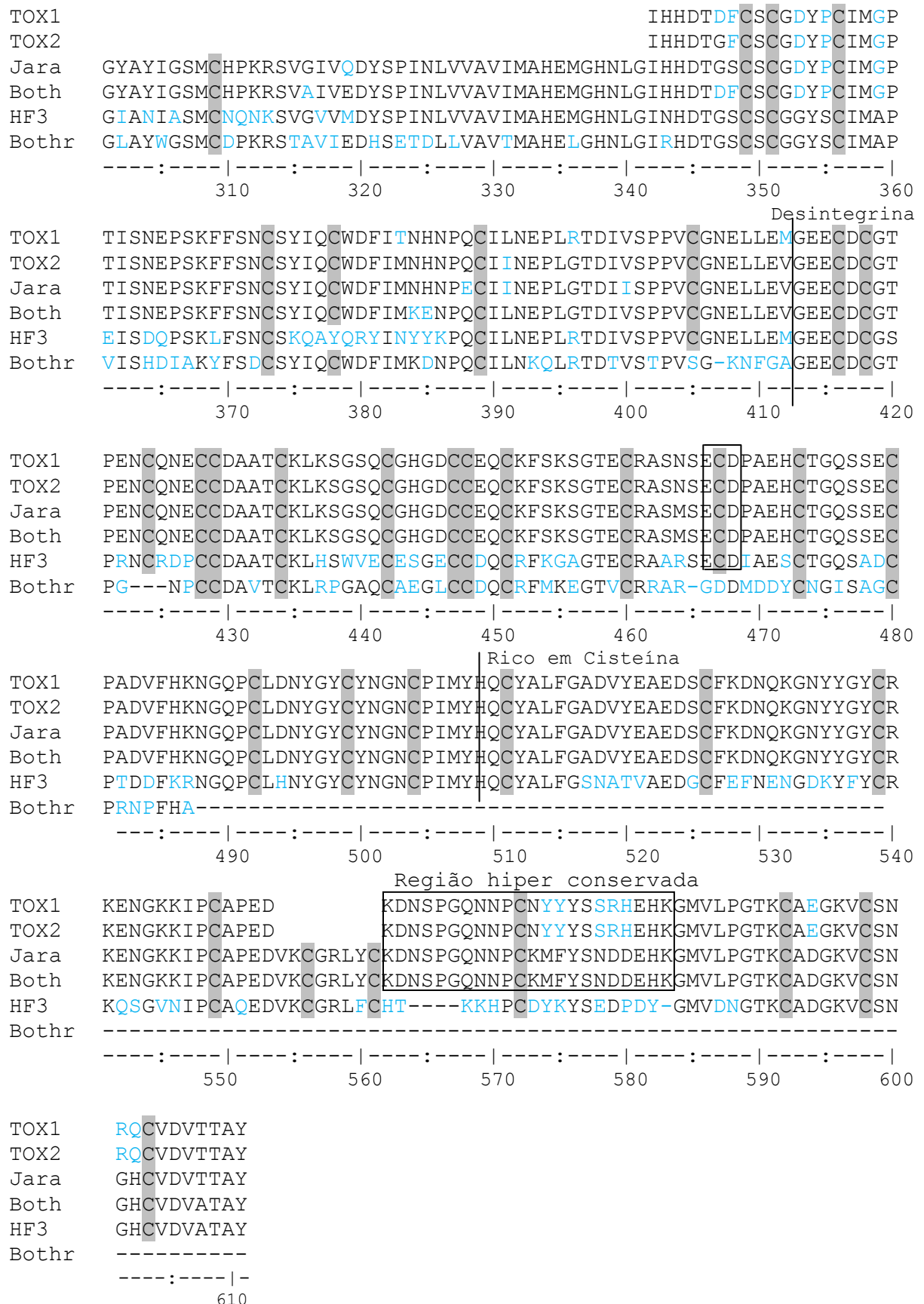
B TCCTCTCCC AAATTT-TGT G-CTGGCTTT CCAA-GATGT AGCTGCTTCC **ATCAATAAAC**
J TCCTCTCCC AAATTTGTAT GGCTGGCTTT CCAACGATGT AGCTGCTTCC **ATCAATAAAC**
S TCCTCTTCCA AAATTC-CAT G-CTGCCTT CCAA-CATGT AGCTGCTTCC **ATCAATAAAC**
I TCCTCTCCC AAATTT-CAC G-CTGGCTTT CCAA-CATGT AGCTGCTTCC **ATCAATAAAC**

B TATTTTCATT CTGCA
J TATTTTCATT CTGCA
S TATTTTCATT CTGCA
I TATTTTCATT CTGCA

ANEXO C – Alinhamento de aminoácidos de metaloproteínases

Alinhamento dos aminoácidos de metaloproteínases do veneno de *Bothrops jararaca* comparadas à TOX1 e TOX2 deste estudo. As posições de nucleotídeos divergentes estão em azul. Os diferentes domínios estão separados por uma linha vertical. As regiões *Cysteine switch*, ECD e Região hiper conservada estão indicadas por boxes. Em cinza as cisteínas conservadas. Jararagina (Jara), Bothropasina (Both), Bothrostatina (Bothr).





ANEXO D - Aminoácidos

Tabela de aminoácidos.

		2 ^a base			
		U	C	A	G
1 ^a base	U	UUU (Phe/F) Fenilalanina UUC (Phe/F) Fenilalanina UUA (Leu/L) Leucina UUG (Leu/L) Leucina	UCU (Ser/S) Serina UCC (Ser/S) Serina UCA (Ser/S) Serina UCG (Ser/S) Serina	UAU (Tyr/Y) Tirosina UAC (Tyr/Y) Tirosina UAA "Ocre" (Stop) UAG "Âmbar" (Stop)	UGU (Cys/C) Cisteína UGC (Cys/C) Cisteína UGA "Opala" (Stop) UGG (Trp/W) Triptofano
	C	CUU (Leu/L) Leucina CUC (Leu/L) Leucina CUA (Leu/L) Leucina CUG (Leu/L) Leucina	CCU (Pro/P) Prolina CCC (Pro/P) Prolina CCA (Pro/P) Prolina CCG (Pro/P) Prolina	CAU (His/H) Histidina CAC (His/H) Histidina CAA (Gln/Q) Glutamina CAG (Gln/Q) Glutamina	CGU (Arg/R) Arginina CGC (Arg/R) Arginina CGA (Arg/R) Arginina CGG (Arg/R) Arginina
	A	AUU (Ile/I) Isoleucina AUC (Ile/I) Isoleucina AUA (Ile/I) Isoleucina AUG (Met/M) Metionina, Start	ACU (Thr/T) Treonina ACC (Thr/T) Treonina ACA (Thr/T) Treonina ACG (Thr/T) Treonina	AAU (Asn/N) Asparagina AAC (Asn/N) Asparagina AAA (Lys/K) Lisina AAG (Lys/K) Lisina	AGU (Ser/S) Serina AGC (Ser/S) Serina AGA (Arg/R) Arginina AGG (Arg/R) Arginina
	G	GUU (Val/V) Valina GUC (Val/V) Valina GUA (Val/V) Valina GUG (Val/V) Valina	GCU (Ala/A) Alanina GCC (Ala/A) Alanina GCA (Ala/A) Alanina GCG (Ala/A) Alanina	GAU (Asp/D) Ácido aspártico GAC (Asp/D) Ácido aspártico GAA (Glu/E) Ácido glutâmico GAG (Glu/E) Ácido glutâmico	GGU (Gly/G) Glicina GGC (Gly/G) Glicina GGA (Gly/G) Glicina GGG (Gly/G) Glicina

ANEXO E – Sequências no GenBank

Sequências depositadas no GenBank, referentes aos diferentes domínios e números de acesso.

Bothrops jararaca 5' UTR TOX1 – FJ90435

Bothrops jararaca 5' UTR TOX2 – FJ90436

Bothrops jararaca Pró-domínio TOX1 – FJ90437

Bothrops jararaca Pró-domínio TOX2 – FJ90438

Bothrops jararaca Domínio catalítico TOX1 – FJ90439

Bothrops jararaca Domínio catalítico TOX2 – FJ90440

Bothrops jararaca Domínio desintegrina TOX1 – FJ90441

Bothrops jararaca Domínio desintegrina TOX2 – FJ90442

Bothrops jararaca Domínio rico em cisteína TOX1 – FJ90443

Bothrops jararaca Domínio rico em cisteína TOX2 – FJ90444

Bothrops jararaca 3' UTR TOX1 – FJ90445

Bothrops jararaca 3' UTR TOX2 – FJ90446